

KARADENİZ TEKNİK ÜNİVERSİTESİ  
FEN BİLİMLERİ ENSTİTÜSÜ

78179

FİZİK ANABİLİM DALI

DEMİR VE KOBALT DİFUZYONUNUN  $YBa_2Cu_3O_7$  SÜPERİLETKENİNİN  
YAPISAL VE SÜPERİLETKEN ÖZELLİKLERİ ÜZERİNE ETKİSİ

Uğur ÇEVİK

Karadeniz Teknik Üniversitesi Fen Bilimleri Enstitüsünce

“Fizik Doktora”

Ünvanı Verilmesi İçin Kabul Edilen Tezdir.

Tezin Enstitüye Verildiği Tarih: 24.3.1998

Tezin Savunma Tarihi : 30.4.1998

Tez Danışmanı : Prof. Dr. Ali İhsan KOPYA

*Ali İhsan  
Kopya*

Jüri Üyesi : Prof. Dr. Tayyar CAFEROV

Jüri Üyesi : Prof. Dr. Mustafa ALTUNBAŞ

*Mustafa  
Altunbaş*

Enstitü Müdürü : Prof. Dr. Fazlı ARSLAN

*F. Arslan*

Trabzon 1998

## ÖNSÖZ

Bu çalışma, Karadeniz Teknik Üniversitesi Fen-Edebiyat Fakültesi Fizik Bölümü Katıhal Fiziği Araştırma Laboratuvarı ve X-Işınları Floresans Laboratuarında gerçekleştirilmiş olup Karadeniz Teknik Üniversitesi Araştırma Fonunun 96.111.001.4 numaralı projesi ile desteklenmiştir.

Doktora tezi danışmanlığını üstlenerek gerek konu seçimi, gerekse çalışmaların yürütülmesi esnasında ilgisini esirgemeyen sayın hocam Prof. Dr. Ali İhsan Kopya'ya, cana yakın ve yardımsever kişiliğiyle bana her türlü yardım gösteren sayın hocam Prof. Dr. Tayyar Caferov'a, tezimdeki konuları tartışmamda yardımını gördüğüm Prof. Dr. Mustafa Altunbaş'a teşekkürü bir borç bilirim. Ayrıca bu çalışmada yönlendirici uyarılarda bulunan Merhum Uzman Atilla Han Akay, Doç. Dr. Ekrem Yanmaz, Doç. Dr. Mehmet Sadigov ve deneysel çalışmalarında yardımcılarını gördüğüm Arş. Gör. Dr. Ahmet Varilci, Arş. Gör. Dr. Saffet Nezir, Arş. Gör. Tayfur Küçükömeroğlu, Arş. Gör. Emin Bacaksız ve bölümdeki tüm hocalarına ve araştırma görevlisi arkadaşlara teşekkür ederim.

Uğur ÇEVİK

## İÇİNDEKİLER

	<u>Sayfa No</u>
ÖNSÖZ.....	II
İÇİNDEKİLER.....	III
ÖZET.....	V
SUMMARY.....	VI
ŞEKİLLER DİZİNİ.....	VII
ÇİZELGELER DİZİNİ.....	XI
SEMBOLLER VE KISALTMALAR DİZİNİ.....	XII
1. GENEL BİLGİLER .....	1
1.1. Giriş .....	1
1.2. Yüksek-Sıcaklık Oksit Süperiletkenleri .....	3
1.3. $\text{YBa}_2\text{Cu}_3\text{O}_7$ Süperiletkeninin Yapısal Özellikleri.....	6
1.4. Yüksek Sıcaklık Oksit Süperiletkenlerinde Difüzyon Mekanizmaları .....	12
1.5. Demir ve Kobalt Katkılarının $\text{YBa}_2\text{Cu}_3\text{O}_7$ Süperiletkeninin Özelliklerine Etkisi.....	17
1.6. $\text{YBa}_2\text{Cu}_3\text{O}_7$ Süperiletkenlerde Demir ve Kobalt Difüzyonu .....	20
2. DENEYSEL ÇALIŞMALAR.....	22
2.1. $\text{YBa}_2\text{Cu}_3\text{O}_7$ Süperiletkeninin Hazırlanma Metotları .....	22
2.2. $\text{YBa}_2\text{Cu}_3\text{O}_7$ Süperiletkeninin Hazırlanması .....	23
2.3. Demir ve Kobalt'ın $\text{YBa}_2\text{Cu}_3\text{O}_7$ Süperiletkenine Difüzyonu .....	25
2.4. X-Işınları Kırınımı Ölçümleri.....	29
2.5. X-Işınları Floresans Ölçümleri .....	30
2.6. Elektriksel Özdirenç Ölçümleri .....	33
2.7. Kritik Akım Yoğunluğu Ölçümleri.....	35
2.8. Taramalı Elektron Mikroskopu Ölçümleri .....	36
3. BULGULAR ve TARTIŞMALAR .....	37
3.1. Demir Difüzyonunun $\text{YBa}_2\text{Cu}_3\text{O}_7$ Süperiletkeninin Yapısal ve Elektriksel Özelliklerine Etkisi .....	37
3.1.1. Temiz Numunelerin Yapısal ve Elektriksel Özellikleri .....	37

3.1.2. Demirin $\text{YBa}_2\text{Cu}_3\text{O}_7$ Süperiletkeninde Difüzyonu .....	39
3.1.3. Soğutma Hızlarının Demir Katkılanmış $\text{YBa}_2\text{Cu}_3\text{O}_7$ Süperiletken Numunesinin Yapısal Özelliklerine Etkisi .....	42
3.1.4. Demir ile katkılanmış $\text{YBa}_2\text{Cu}_3\text{O}_7$ Süperiletken Numunesinin Taramalı Elektron Mikroskopu (SEM) Yöntemiyle İncelenmesi .....	46
3.1.5. Demir Difüzyonunun $\text{YBa}_2\text{Cu}_3\text{O}_7$ Süperiletken Numunesinin Kritik Sıcaklığına ve Kritik Akım Yoğunluğuna Etkisi .....	48
<b>3.2. Kobalt Difüzyonunun <math>\text{YBa}_2\text{Cu}_3\text{O}_7</math> Süperiletkeninin Yapısal ve Elektriksel Özelliklerine Etkisi .....</b>	<b>50</b>
3.2.1. Katkılanmamış Numunenin Yapısal ve Elektriksel Karakteristikleri .....	50
3.2.2. $\text{YBa}_2\text{Cu}_3\text{O}_7$ Süperiletkeninde Kobalt Atomlarının Difüzyon Dağılımı.....	54
3.2.3. Kobalt Difüzyonunun $\text{YBa}_2\text{Cu}_3\text{O}_7$ Süperiletkeninin Yapısal Özelliklerine Etkisi (XRD, SEM).....	55
3.2.4. Kobalt Difüzyonunun $\text{YBa}_2\text{Cu}_3\text{O}_7$ Süperiletkenin Kritik Sıcaklığına ve Kritik Akım Yoğunluğuna Etkisi.....	66
3.2.5. $\text{YBa}_2\text{Cu}_3\text{O}_7$ Süperiletkeninde Kobaltın Elektrodifüzyonu .....	67
<b>4. SONUÇLAR .....</b>	<b>70</b>
<b>5. ÖNERİLER .....</b>	<b>72</b>
<b>6. KAYNAKLAR .....</b>	<b>73</b>
<b>ÖZGEÇMİŞ .....</b>	<b>78</b>

## ÖZET

Bu çalışmada, demir ve kobalt katkılarının  $\text{YBa}_2\text{Cu}_3\text{O}_7$  seramik süperiletken numunelere difüzyonu ve bu katkılardan difüzyonun süperiletkenin örgü yapısına, yüzey morfolojisine, kritik sıcaklığına ve kritik akım yoğunluğuna etkisi araştırıldı. Bundan başka, kobaltın dış elektrik alan altında elektriksel yük durumu incelendi.

Polikristal yapılı  $\text{YBa}_2\text{Cu}_3\text{O}_7$  oksit süperiletkenleri katıhal tepkime reaksiyonu yöntemiyle hazırlandı. Demirin 615-880°C sıcaklık aralığında difüzyonu, tane içine yavaş difüzyon katsayısı  $D_1$  ve tane arası yüzeylerle hızlı difüzyon katsayısı  $D_2$  ( $D_1 < D_2$ ) olan, iki farklı difüzyon katsayıyla karakterize olunur. X-ışını kırınımı, taramalı elektron mikroskopu, elektriksel özdirenç ölçümleriyle demirle katkılanmış  $\text{YBa}_2\text{Cu}_3\text{O}_7$  süperiletken numunelerinin özellikleri incelenmiştir. Demir difüzyonu,  $\text{YBa}_2\text{Cu}_3\text{O}_7$  süperiletkeninde demir oksit fazlarının oluşmasına neden olur. Demir difüzyonu yapılmış numunelerin soğutma hızının, kristal yapıya, yüzey morfolojisine ve kritik sıcaklığa etkisi bulunmuştur.

$\text{YBa}_2\text{Cu}_3\text{O}_7$  süperiletkeninde demirin difüzyonuna benzer mekanizma, kobaltın difüzyonunda da gözlenmiştir. Demir ve kobaltın  $\text{YBa}_2\text{Cu}_3\text{O}_7$  süperiletken numunesinde aynı elektrik yükü (+3) ve yakın iyon yarıçaplarına (0,62 Å, 0,63 Å) sahip olmaları bu katkıların difüzyon katsayılarının yakın olmasının sebebidir. Kobaltın  $\text{YBa}_2\text{Cu}_3\text{O}_7$  süperiletkenine difüzyonu ortorombik kristal yapıyı değiştirmemektedir. Fakat kritik sıcaklığı ve kritik akım yoğunluğunu düşürmemektedir. Difüzyon esnasında taneler arasında yeni fazların oluşması, süperiletkenin bu parametrelerinin küçülmesinin sebebidir.

Son olarak kobaltın,  $\text{YBa}_2\text{Cu}_3\text{O}_7$  süperiletkeninde oda sıcaklığında dış elektrik alan altında pozitif yüklü parçacıklar gibi hareket ettiği gösterilmiştir.

**Anahtar Kelimeler:**  $\text{YBa}_2\text{Cu}_3\text{O}_7$  Süperiletkeni, Demir, Kobalt, Difüzyon.

## SUMMARY

### The Effect of Iron and Cobalt Diffusion on Structural and Superconducting Properties of $\text{YBa}_2\text{Cu}_3\text{O}_7$ Superconductors

In this study, diffusion mechanism of iron and cobalt impurities in  $\text{YBa}_2\text{Cu}_3\text{O}_7$  superconductor samples and the diffusion effect of these dopants on lattice structure, surface morphology, critical temperature and critical current density have been investigated. Furthermore, electrical charge state of cobalt in superconductor have been studied by electrodiffusion technique.

Polycrystal  $\text{YBa}_2\text{Cu}_3\text{O}_7$  superconductor samples have been prepared by solid state reaction method. Diffusion of iron over the temperature range 615-880°C is characterized by two different diffusion coefficient one of which is caused by slow diffusion (with diffusion coefficient  $D_1$ ) into grain and other is caused by fast diffusion (with diffusion coefficient  $D_2$ ) over the grain boundary surfaces ( $D_1 < D_2$ ). Properties of iron-doped  $\text{YBa}_2\text{Cu}_3\text{O}_7$  superconductor samples have been investigated by X-ray diffraction, scanning electron microscopy and electrical resistivity measurements. Iron doping of the  $\text{YBa}_2\text{Cu}_3\text{O}_7$  samples results in the formation of the iron oxide phases. The effect of cooling rate on crystal structure, surface morphology and critical temperature of iron diffused samples have been explored by X-ray diffraction (XRD), scanning electron microscopy (SEM) and resistivity measurements.

A similar mechanism of iron diffusion in  $\text{YBa}_2\text{Cu}_3\text{O}_7$  superconductors have been observed for cobalt diffusion. Diffusion coefficients of iron and cobalt nearly equal due to the fact that iron and cobalt have the same electron charge (+3) and nearly the same ionic radius (0,62 Å and 0,63 Å) in  $\text{YBa}_2\text{Cu}_3\text{O}_7$  superconductor. The orthorombic crystal structure of  $\text{YBa}_2\text{Cu}_3\text{O}_7$  superconductors are not changed during cobalt diffusion. The critical temperature and critical current density are decreased by cobalt diffusion. We attributed the decrease in critical temperature and critical current density to the formation of new phases located between grains by diffusion process.

Finally it has been shown that cobalt in  $\text{YBa}_2\text{Cu}_3\text{O}_7$  superconductor at room temperature behaves as a positive charge in an external electrical field.

**Key words:**  $\text{YBa}_2\text{Cu}_3\text{O}_7$  Superconductor, Iron, Cobalt, Diffusion

## ŞEKİLLER DİZİNİ

	<u>Sayfa No</u>
Şekil 1. $\text{YBa}_2\text{Cu}_3\text{O}_x$ bileşliğinde, oksijen miktarı $x$ 'in fonksiyonu olarak süperiletkenlik kritik sıcaklığının değişimi .....	4
Şekil 2. Ortorombik yapıdaki $\text{YBa}_2\text{Cu}_3\text{O}_7$ 'nin birim hücresi .....	7
Şekil 3. (a) Ortorombik $\text{YBa}_2\text{Cu}_3\text{O}_{6.74}$ ve (b) Tetragonal $\text{YBa}_2\text{Cu}_3\text{O}_{6.05}$ fazlarının $x$ -ışınları kırınım deseni .....	9
Şekil 4. (a) Ortorombik $\text{YBa}_2\text{Cu}_3\text{O}_{6.74}$ ve (b) tetragonal $\text{YBa}_2\text{Cu}_3\text{O}_{6.05}$ fazlarının özdirencinin sıcaklıkla değişimi .....	10
Şekil 5. Hacimsel $\text{YBaCuO}$ 'da sinterleme sıcaklığının (a) kritik akım yoğunluğuna ve (b) hacimsel yoğunluğa etkisi .....	11
Şekil 6. $\text{Cu}(2)$ düzleminde yerdeğiştiren iki değerlikli bir geçiş metal iyonu yakınındaki iyonların yerdeğiştirmesi .....	13
Şekil 7. Seramik süperiletkenlerde; gözeneklerin yüzeylerine (1), tane sınırlarına (2), ikizleme sınırları boyunca (3) ve tane içlerine difüzyon (4) hareketinin şematik gösterimi .....	16
Şekil 8. $\text{YBa}_2(\text{Cu}_{1-y}\text{Fe}_y)_3\text{O}_{7-x}$ için sıcaklığın fonksiyonu olarak özdirencin değişimi ((a) $x=0$ , (b) $x=0,01$ , (c) $x=0,02$ ) .....	19
Şekil 9. Euroterm 808 kontrol üniteli Lenton marka fırın .....	24
Şekil 10. Kalsinasyon işleminde sıcaklık profili.....	25
Şekil 11. Sinterleme işleminde sıcaklık profili.....	25
Şekil 12. Varian NRC 840 marka buharlaştırma ünitesi .....	26
Şekil 13. Euroterm 818P kontrol üniteli Lenton marka fırın .....	27
Şekil 14. Varian VT-411 marka ultra-yüksek vakum ünitesi.....	28
Şekil 15. Kobaltın elektrodifüzyonu için sistemin şematik gösterimi .....	29
Şekil 16. Rigaku D/Max-IIIC marka $x$ -ışını difraktometresi .....	30
Şekil 17. X-ışınları floresans (EDXRF) ölçümleri için deney geometrisi.....	31
Şekil 18. X-ışınları floresans ölçüm sisteminin blok diyagramı .....	31

Şekil 19. X-ışınları floresans sisteminin genel görünüşü.....	32
Şekil 20. Standart dört nokta yöntemiyle özdirenç ölçüm düzeneği şematik gösterimi...32	
Şekil 21. Leybold-Heraeus HR1 model kapalı devre düşük sıcaklık kriyostatı .....	34
Şekil 22. Kritik akım yoğunluğu ölçüm düzeneği .....	35
Şekil 23. Taramalı elektron mikroskopu.....	36
Şekil 24. Temiz YBaCuO numunesinin $3^{\circ} \leq 2\theta \leq 60^{\circ}$ aralığı için x-ışınları kırınım deseni .	37
Şekil 25. Temiz YBaCuO numunesinin $46^{\circ} \leq 2\theta \leq 48^{\circ}$ aralığı için x-ışınları kırınım deseni	38
Şekil 26. YBaCuO süperiletken numunesinin özdirencinin sıcaklıkla değişimi.....	38
Şekil 27. Temiz numunenin kritik akım yoğunluğu.....	39
Şekil 28. Demirin YBaCuO numunesinde yüzeyden itibaren konsantrasyon dağılımı ( $880^{\circ}\text{C}$ , 19 saat) .....	40
Şekil 29. Demirin YBaCuO numunesinde yüzeyden itibaren konsantrasyon dağılımı ( $810^{\circ}\text{C}$ , 24 saat) .....	41
Şekil 30. YBaCuO'nun yüzeye yakın bölgesinde (1) ve iç bölgesinde (2) demirin difüzyon katsayısının sıcaklık bağımlılığı .....	41
Şekil 31. Demir katkılanmış YBaCuO (hızlı soğutulmuş) için x-ışınları kırınım deseni (x) $\text{Fe}_2\text{O}_3$ , (◐) $\text{Fe}_3\text{O}_4$ , (◑) $\text{FeO}$ ve (□) $\text{BaO}$ .....	43
Şekil 32. Yavaş soğutulmuş (a, b) ve hızlı soğutulmuş (c, d) YBaCuO için x-ışınları kırınım desenleri (a ve c demir katkılanmış yüzeyleri, b ve d katkılanmamış yüzeyleri göstermektedir) .....	45
Şekil 33. Demir difüzyonu yapılmış ( $860^{\circ}\text{C}$ , 24 saat,) YBaCuO numunesinin (a) demir katkılanmış ve (b) katkılanmamış yüzeyinin taramalı elektron mikroskopu (SEM) mikrofotoğrafları ( $\times 500$ ).....	47
Şekil 34. Demir difüzyonuna maruz bırakılmış yavaş soğutulmuş (1, özdirenç $\times 10$ ) ve hızlı soğutulmuş (2) numunenin sıcaklığın fonksiyonu olarak özdirenç değişimi.....	48
Şekil 35. Yavaş soğutma altında demir difüzyonuna maruz bırakılan YBaCuO numunesinin kritik akım yoğunluğu.....	49
Şekil 36. Temiz YBaCuO numunesinin (a) $3^{\circ} \leq 2\theta \leq 60^{\circ}$ aralığı için ve (b) $46^{\circ} \leq 2\theta \leq 48^{\circ}$ aralığı için x-ışınları kırınım deseni .....	51

Şekil 37. Temiz YBaCuO numunesinin yüzeyinin taramalı elektron mikroskobu (SEM) mikrofotoğrafi .....	52
Şekil 38. Temiz YBaCuO süperiletken numunesinin özdirencinin sıcaklıkla değişimi ....	53
Şekil 39. Temiz numunenin kritik akım yoğunluğu .....	53
Şekil 40. Kobalt konsantrasyonunun YBaCuO süperiletken numunesinde dağılımı ( $T=800^{\circ}\text{C}$ , $t=8$ saat, $D_1=1,5\times10^{-10} \text{ cm}^2/\text{s}$ , $D_2=3,2\times10^{-9} \text{ cm}^2/\text{s}$ ) .....	54
Şekil 41. Kobalt difüzyonu yapılmış ( $800^{\circ}\text{C}$ , 8 saat) YBaCuO numunesinde kobalt katkılanmış yüzün (a) $3^{\circ}\leq2\theta\leq60^{\circ}$ aralığı için ve (b) $46^{\circ}\leq2\theta\leq48^{\circ}$ aralığı için x-ışınları kırınım deseni.....	57
Şekil 42. Kobalt difüzyonu yapılmış ( $800^{\circ}\text{C}$ , 8 saat) YBaCuO numunesinde kobalt katkılanmamış yüzün (a) $3^{\circ}\leq2\theta\leq60^{\circ}$ aralığı için ve (b) $46^{\circ}\leq2\theta\leq48^{\circ}$ aralığı için x-ışınları kırınım deseni .....	58
Şekil 43. Kobalt difüzyonu yapılmış ( $800^{\circ}\text{C}$ , 8 saat) YBaCuO numunesinde kobalt katkılanmış yüzden $25 \mu\text{m}$ film çıkarıldıkten sonra $3^{\circ}\leq2\theta\leq60^{\circ}$ aralığı için x-ışınları kırınım deseni .....	59
Şekil 44. Kobalt difüzyonu yapılmış ( $800^{\circ}\text{C}$ , 8 saat) YBaCuO numunesinde kobalt katkılanmış yüzden $35 \mu\text{m}$ film çıkarıldıkten sonra $3^{\circ}\leq2\theta\leq60^{\circ}$ aralığı için x-ışınları kırınım deseni .....	59
Şekil 45. Kobalt difüzyonu yapılmış ( $800^{\circ}\text{C}$ , 8 saat) YBaCuO numunesinde kobalt katkılanmış yüzden $55 \mu\text{m}$ film çıkarıldıkten sonra $3^{\circ}\leq2\theta\leq60^{\circ}$ aralığı için x-ışınları kırınım deseni .....	60
Şekil 46. Kobalt difüzyonu yapılmış ( $800^{\circ}\text{C}$ , 8 saat) YBaCuO numunesinde kobalt katkılanmış yüzden $75 \mu\text{m}$ film çıkarıldıkten sonra $3^{\circ}\leq2\theta\leq60^{\circ}$ aralığı için x-ışınları kırınım deseni .....	60
Şekil 47. Kobalt difüzyonu yapılmış ( $800^{\circ}\text{C}$ , 8 saat) YBaCuO numunesinde kobalt katkılanmış yüzden $115 \mu\text{m}$ film çıkarıldıkten sonra $3^{\circ}\leq2\theta\leq60^{\circ}$ aralığı için x-ışınları kırınım deseni .....	61
Şekil 48. Kobalt difüzyonu yapılmış ( $800^{\circ}\text{C}$ , 8 saat) YBaCuO numunesinde kobalt katkılanmiş yüzden $135 \mu\text{m}$ film çıkarıldıkten sonra $3^{\circ}\leq2\theta\leq60^{\circ}$ aralığı için x-ışınları kırınım deseni .....	61

Şekil 49. Kobalt difüzyonu yapılmış (800°C, 8 saat) YBaCuO numunesinde c parametresinin yüzeyden itibaren olan x mesafesi ile değişimi .....	62
Şekil 50. Kobalt difüzyonu yapılmış (800°C, 8 saat) YBaCuO numunesinde (006) pikinin şiddetinin x koordinatı ile değişimi .....	62
Şekil 51. Kobalt difüzyonu yapılmış (800°C, 8 saat) YBaCuO numunesinde c örgü parametresinin ( $\Delta c/c_0$ ) x ile değişimi .....	64
Şekil 52. Kobalt difüzyonu yapılmış (800°C, 8 saat) YBaCuO numunesinin (a) katkılanmış (b) katkılanmamış (arka) yüzeyinin taramalı elektron mikrofotoğrafları .....	65
Şekil 53. Kobalt difüzyonu yapılmış (800°C, 8 saat) YBaCuO numunesinin özdirencinin sıcaklıkla değişimi.....	66
Şekil 54. Kobalt difüzyonu yapılmış (800°C, 8 saat) YBaCuO numunesinin kritik akım yoğunluğu .....	67
Şekil 55. YBaCuO numunesine elektrodifüzyon yöntemiyle yapılmış olan kobalt katkısının A bölgesinde ve B bölgesinde konsantrasyon dağılımı .....	68

## **ÇİZELGELER DİZİNİ**

### **Sayfa No**

Çizelge 1. Yüksek-sıcaklık oksit süperiletkenlerinin bazı özellikleri .....	1
Çizelge 2. $D=D_0\exp(-E/kT)$ olmak üzere yüksek- $T_c$ hacimsel YBaCuO süperiletkenlerinde difüzyon katsayısının sıcaklığa bağımlılığı.....	21
Çizelge 3. Başlangıç aşamasındaki bileşiklerin saflik dereceleri ve molekül ağırlıkları....	23
Çizelge 4. Hızlı ve yavaş soğutmayla bir yüzeyi demir difüzyonuna maruz bırakılmış (24 saat 860°C'de) YBaCuO numunesinin örgü parametreleri.....	46

## SEMBOLLER DİZİNİ

D	: Difüzyon katsayısı
$D_{ab}$	: $ab$ düzlemindeki difüzyon katsayısı
$D_c$	: $c$ ekseni boyunca difüzyon katsayısı
$\theta$	: Difüzyon yönü ile $c$ ekseni arasındaki açı
$N_0$	: Matris atomlarının ilk konsantrasyonu
N	: Çökelmelerle dengeye matris atomlarının konsantrasyonu
t	: Çökelme süresi
A	: Atomun difüzyon katsayısına bağlı bir parametre
n	: Çökelen parçacığın şekline bir bağlı bir parametre
d	: Düzlemler arası mesafe
$h, k, l$	: Örgü düzlemleri
$a, b, c$	: Örgü parametreleri
k	: Boltzmann katsayısı
T	: Sıcaklık
$E_a$	: Aktivasyon enerjisi
$\rho$	: Özdirenç
V	: Numunenin dış uçları arasındaki gerilim
I	: Numuneye uygulanan akım
S	: Numunenin kesit alanı
l	: Numunenin dış uçları arasındaki gerilim
$\epsilon$	: Herhangi bir noktadaki bir kristalin deformasyonu
$c(x)$	: Deforme olmuş bölgenin örgü parametresi
$c_0$	: Deforme olmamış bölgenin örgü parametresi
$\beta$	: Örgünün genleşme katsayısı
$r_i$	: Katkı atomlarının yarıçapı
$r_0$	: Matris atomlarının yarıçapı
$N_l$	: Matris atomlarının konsantrasyonu

- $d$  : Numunenin yüzeyindeki katkı kalınlığı  
 $\mu$  : Katkı iyonlarının mobilitesi  
 $J$  : Dış elektrik alanda katkı iyonlarının akım yoğunluğu  
 $J_D$  : Difüzyon akım yoğunluğu  
 $J_E$  : Elektrik alan etkisi altında akım yoğunluğu



## **1. GENEL BİLGİLER**

### **1.1. Giriş**

Bednorz ve Müller (1986) tarafından 30 K'lik kritik geçiş sıcaklığına sahip  $\text{La}_{2-x}\text{Ba}_x\text{CuO}_4$  yüksek-sıcaklık oksit süperiletkenlerinin keşfinden sonra, pek çok oksit süperiletken türü daha keşfedildi. Bu oksit süperiletken malzemelerin kimyasal formülleri ve bazı fiziksel özellikleri Çizelge 1'de verilmektedir.

**Çizelge 1. Yüksek-sıcaklık oksit süperiletkenlerinin bazı özellikleri**

Bileşik	$\text{CuO}_2$ düzlemlerinin sayısı (birim hücre başına)	$\text{CuO}$ zincirlerinin sayısı (birim hücre başına)	Kritik Sıcaklık (K)
$\text{La}_{2-x}\text{Sr}_x\text{CuO}_4$	1		30-40
$\text{La}_{2-x}\text{Ba}_x\text{CuO}_4$	1		30-40
$\text{YBa}_2\text{Cu}_3\text{O}_7$	2	1	94
$\text{YBa}_2\text{Cu}_4\text{O}_8$	2	2	80
$\text{Y}_2\text{Ba}_4\text{Cu}_7\text{O}_{15}$	2	1-2	92-94
$\text{Bi}_2\text{Sr}_2\text{CuO}_6$	1		12
$\text{Bi}_2\text{Sr}_2\text{CaCu}_2\text{O}_8$	2		90
$\text{Bi}_2\text{Sr}_2\text{Ca}_2\text{Cu}_3\text{O}_{10}$	3		110
$\text{Tl}_2\text{Ba}_2\text{CuO}_6$	1		90
$\text{Tl}_2\text{Ba}_2\text{CaCu}_2\text{O}_6$	2		110
$\text{Tl}_2\text{Ba}_2\text{Ca}_2\text{Cu}_3\text{O}_{10}$	3		125
$\text{Tl}_2\text{Ba}_2\text{Ca}_2\text{Cu}_4\text{O}_{12}$	4		102
$\text{HgBa}_2\text{CuO}_y$	1		94
$\text{HgBa}_2\text{CaCu}_2\text{O}_y$	2		127
$\text{HgBa}_2\text{Ca}_2\text{Cu}_3\text{O}_y$	3		134
$\text{HgBa}_2\text{Ca}_3\text{Cu}_4\text{O}_y$	4		126
$\text{HgBa}_2\text{Ca}_4\text{Cu}_5\text{O}_y$	5		112

Bilimsel ve endüstriyel önemi nedeniyle süperiletkenlik konusundaki çalışmalar hızla devam etmiş ve günümüzde kararlı olarak yaklaşık 134 K'lik kritik geçiş sıcaklığına

sahip süperiletken malzemeler üretilmiştir (Huang et al., 1993). Bu konudaki çalışmalar artarak devam etmekte olduğu için, ileride bu geçiş sıcaklığının daha yüksek değerlere çıkarılacağı umulabilir.

Süperiletkenliğin 1911 yılındaki keşfinden beri, süperiletkenliği oluşturan mekanizma araştırılmış ve en önemlilerinden birisi Bardeen-Cooper-Schrieffer (BCS) teorisi olmak üzere, pek çok teori de üretilmiştir (Bardeen et al., 1957). II. Tip adı da verilen oksit süperiletkenlerde, süperiletkenliğe neden olan yapısal mekanizma araştırılmıştır. Esas itibarıyle süperiletkenliğin, süperiletken kristallerdeki Cu-O düzlemlerinde oluştuguuna yaygın bir şekilde inanılmaktadır. Her ne kadar diğer bazı düzlemlerin (örneğin  $\text{YBa}_2\text{Cu}_3\text{O}_7$  süperiletkenindeki zincirler) üzerindeki taşıyıcılarından ileri gelen iletim yok sayılmazsa da bu materyallerde iletimin, Cu-O düzlemlerdeki deliklerin hareketinden ileri geldiği anlaşıldı. Elektriksel katkılama, matris atomlarının uygun katkı atomlarıyla yerdeğiştirmesi veya  $\text{YBa}_2\text{Cu}_3\text{O}_7$ 'deki oksijen miktarının değiştirilmesi ile kontrol edilebilir. Oksijen miktarının değişmesiyle sağlanan elektriksel katkılamanın kontrolü,  $\text{CuO}_2$  düzlemlerinde değil Cu-O zincirlerinde meydana gelmektedir. Böylece katkılama, birim hücrede Cu-O düzlemlerinin uzağındaki kısımlarda, malzemenin değişmesiyle her durumda kontrol edilir (Dzhafarov, 1996).

Kısmi katyon yerdeğiştirmesi, yüksek-sıcaklık süperiletkenlik mekanizmasını anlamak ve materyallerin süperiletkenlik özelliklerinin iyileştirme olanaklarını tayin etmek için önemli bir yaklaşımdır. Süperiletkenlerde katkı atomlarıyla, matris katyonlarının yerdeğiştirmesinde yaygın olarak iki teknik kullanılır:

- (i) sinterleme işleminden önce başlangıç karışımı olarak kullanılan toz malzemeye katkı ilavesi,
- (ii) katkı atomlarıyla saf süperiletkenlere difüzyon ilavesi.

Sinterleme sırasında (genellikle sinterleme işlemi sonunda yapılan yavaş soğutma boyunca) süperiletkenlere katkı yapılırken, katkı katı çözeltilerinin ve yeni fazların oluşumu birlikte gerçekleşir. Ayrıca, süperiletkenlere böyle katkılarda katkı atomlarının çoğunu tam olarak belli değildir.

Difüzyon yoluyla katkılama tekniği (tavlama sonunda hızlı soğutmayla) iyileştirme özellikleriyle süperiletkenlerin üretimine yeni ihtimaller (özellikle çökme olayının ortadan kaldırılması ve numunenin tane sınırlarına veya örgü içine baskın olarak katkı atomlarının

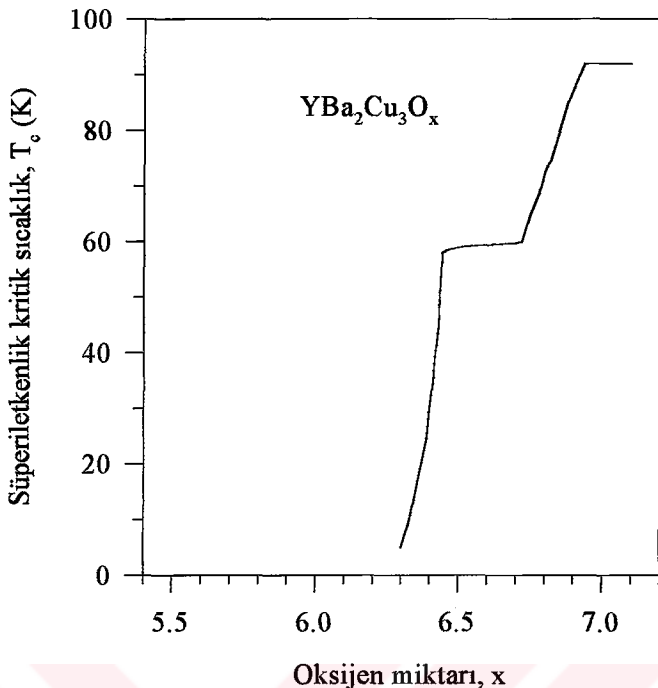
kontrollü yerleştirilmesinden dolayı) sunar. Ayrıca, difüzyon parametreleri ve katkı yerdeğiştirme mekanizması, süperiletkenlerin özelliklerini ve kristal yapısını kontrol etmek için gereklidir (Dzhafarov, 1996).

## 1.2. Yüksek-Sıcaklık Oksit Süperiletkenleri

Süperiletken oksitler, perovskit kristallerle ilişkili bir yapıya sahiptir. Şimdiye kadar keşfedilen bütün yüksek kritik sıcaklığı ( $T_c$ ) sahip oksitlerin hepsi iki veya üç metal oksitle birlikte bakır içermektedir. Günümüzde en çok dikkati çeken materyal, Y-123 bileşiği olarak da adlandırılan,  $\text{YBa}_2\text{Cu}_3\text{O}_7$  ( $\text{YBaCuO}$ ) bileşiğidir. Bu bileşliğin kristal yapısı ortorombiktir ( $a \approx b$  ve  $c \approx 3a$ ); bu durum, süperiletken özelliklerde anizotropiye neden olur (Hughes, 1988).

İtriyum, kritik sıcaklığa ihmali edilebilir etkisi olan ve kuvvetli magnetik momente sahip Europyum, Gadoliniyum ve Holmiyum gibi birçok nadir toprak elementi ile yerdeğiştirebilir. Magnetizm, genellikle süperiletkenliği bozduğundan dolayı,  $\text{YBaCuO}$ 'daki süperiletkenliğin sebebinin, bir ölçüde örgüde bulunan nadir toprak atomlarının konumlarından, kaynaklanmadığı söylenebilir. Kritik sıcaklık, örgüdeki oksijen miktarına oldukça bağlıdır (Şekil 1) ve nötron kırınımı çalışmalarından, oksijen boşluklarının düzenlenmesiyle kritik sıcaklığın maksimum olduğu bilinmektedir.  $x \sim 6,5$  iken kritik sıcaklığı 60 K ve  $x \sim 7$  iken kritik sıcaklığı 90 K olan iki farklı süperiletken bileşik vardır. Bu düşüncelere göre,  $\text{YBaCuO}$  malzemelerinde süperiletkenlikten sorumlu olanın kusurlu (oksijen-eksik) bakır-oksijen tabakalarının olduğu söylenebilir (Hughes, 1988).

$n$ , Cu-O düzlemlerinin sayısını göstermek üzere,  $\text{Tl}_2\text{Ba}_2\text{Ca}_{n-1}\text{Cu}_n\text{O}_{2n+4}$  genel serisine uygun süperiletken ailesinde 4'e kadar ve  $\text{Bi}_2\text{Sr}_2\text{Ca}_{n-1}\text{Cu}_n\text{O}_{2n+4}$  genel serisine uygun süperiletken ailesinde ise 3'e kadar Cu-O düzlemi mevcuttur (Çizelge 1). Bu bileşikler tetragonal yapıya sahiptirler ve bunlarda Cu-O zincirleri yoktur. Talyumlu sistemde,  $\text{TlBa}_2\text{Ca}_{n-1}\text{Cu}_n\text{O}_{2n+3}$  ve  $\text{Tl}_2\text{Ba}_2\text{Ca}_{n-1}\text{Cu}_n\text{O}_{2n+4}$  ( $n=1-5$ ) gibi iki bileşik serisi vardır.



**Şekil 1.**  $\text{YBa}_2\text{Cu}_3\text{O}_x$  bileşигінде, оксид мөлдөмі  $x$  ин функцияның суперилеткендік критик температурасының көзіндеңіші (Hughes, 1988).

Örneğin  $\text{TlBa}_2\text{CuO}_5$  bileşигінде, tabanlardaki iki talyum oksit tabakası arasında bulunan iki baryum oksit tabakası arasında sandviçlenmiş bir bakır oksit tabakası mevcuttur. Bu (1201) bileşigi süperiletken degildir. Bu yapıya ikinci bir bakır tabakası ve bir kalsiyum tabakasının eklenmesiyle yeni bir kristal yapı ortaya çıkar ve yaklaşık 90 K'lik bir kritik sıcaklığı sahip olan (1212) bileşigi oluşur. İkinci bir kalsiyum ve bir bakır tabakasının ilavesiyle kritik sıcaklığı 116 K'e çıkmış (1223) bileşigi oluşur.  $\text{Tl}_2\text{Ba}_2\text{Ca}_{n-1}\text{Cu}_n\text{O}_{2n+4}$  serisinde (2223) fazı 128 K ile en yüksek kritik sıcaklığı sahiptir. Benzer bileşik serileri baryumun, stronsiyum ile yerdeğiştirdiği bizmut tabanlı bileşiklerdir ve kritik sıcaklık değerleri biraz daha düşüktür. Talyumlu kristal yapıda, bakır oksit tabakasının sayısının artması ile kritik sıcaklık değerinin de giderek arttığı gözlenmiştir. Örneğin (1234) bileşigi için kritik sıcaklık 122 K'dır. Yani talyumlu kristal yapıya giderek artan sayıda Cu-O düzlemi eklenerek kritik sıcaklık değerinin oda sıcaklığına doğru artması beklenir. Ancak, bu amaçla başlangıç karışımı (1245) ve (2234) olan bileşikler hazırlandığında bu öngörünün doğru olmadığı görüldü. Her iki kompozisyon için sırasıyla

120 K ve 102 K'lik kritik sıcaklık değerleri ölçüldü. Böylece dört tabakalı Tl<sub>1</sub>'li bileşikte ve üç bakır tabakalı Tl<sub>2</sub>'li bileşikte kritik sıcaklığın maksimum olduğu bulundu (Hughes, 1988; Eab and Tang, 1989).

HgBa<sub>2</sub>Ca<sub>n-1</sub>Cu<sub>n</sub>O<sub>y</sub> ailesinin yapısı, BaO/HgO/BaO blokları arasında sandviçlenmiş n tane CuO<sub>2</sub> ve (n-1) tane de Ca tabakalarından oluşmuştur. Bu Hg bileşikleri yüksek kritik sıcaklıklara sahiptir: kritik sıcaklık, CuO<sub>2</sub> tabakalarının n sayısıyla artar ve n>3 için azalır (n=1, 2, 3, 4 ve 5 için sırasıyla 94, 127, 135, 126 ve 112 K) (Huang et al., 1993; Schilling et al., 1993; Putilin et al., 1993).

Nobumasa et al. (1991)'a göre; bakır esaslı yüksek sıcaklık süperiletkenlerinin yapısında, lantanyum ailesi için La<sub>2</sub>O<sub>3</sub>, tek-zincirli itriyum ailesi için BaO/CuO/BaO, çift zincirli itriyum ailesi için BaO/Cu<sub>2</sub>O<sub>2</sub>/BaO, bizmut ailesi için SrO/Bi<sub>2</sub>O<sub>3</sub>/SrO gibi kalın "blok tabakaları" mevcuttur. İtriyum ve kalsiyum ailesi, sırasıyla itriyum ve kalsiyum gibi ince atomik "araya girme" tabakaları ve CuO<sub>2</sub> tabakalarının bir birleşimiyle temsil edilebilir.

YBaCuO (Ashburn et al., 1987), BiSrCaCuO (Maeda et al., 1988) ve TlBaCaCuO (Sheng and Hermann, 1988) süperiletkenleri, sıvı azot sıcaklığında süperiletken oldukları için pratik uygulamalarda oldukça ilgi çekicidir. Bununla birlikte, çoğu kez büyük magnetik alanların varlığında, birçok uygulama için 10<sup>4</sup>-10<sup>6</sup> A.cm<sup>-2</sup> mertebesinde büyük kritik akım yoğunluğuna (J<sub>c</sub>) ihtiyaç vardır. Kritik akım yoğunluğu süperiletkenin temel bir özelliği değildir; fakat onun mikroyapısına kuvvetli bir şekilde bağlıdır. Bu nedenle mikroyapı kontrolü, pratik uygulamalarda çok önemlidir. Her ne kadar yapısal kontrol, oksit süperiletkenlerde çok zor olsa da son zamanlardaki gelişmeler, bu malzemelerde yüksek kritik akım yoğunluğu değerlerinin elde edilebileceğini göstermektedir (Jin et al., 1988; Murakami et al., 1989).

Hacimsel (bulk) yüksek-sıcaklık süperiletkenlerinin üretimi için çeşitli yöntemler kullanılmaktadır. Sinterleme, seramik üretiminde en çok kullanılan yöntemdir ve pratik süperiletkenler üretmede çeşitli avantajlara sahiptir. Buna rağmen, klasik sinterleme yöntemiyle yüksek kritik akım yoğunluklu malzemeler üretilememiştir. Sinterlenmiş hacimsel numunede tane sınırlarındaki zayıf etkileşimlerin, düşük kritik akım yoğunluğu değerlerine sebep olduğuna inanılmaktadır (Larbalestier, 1988).

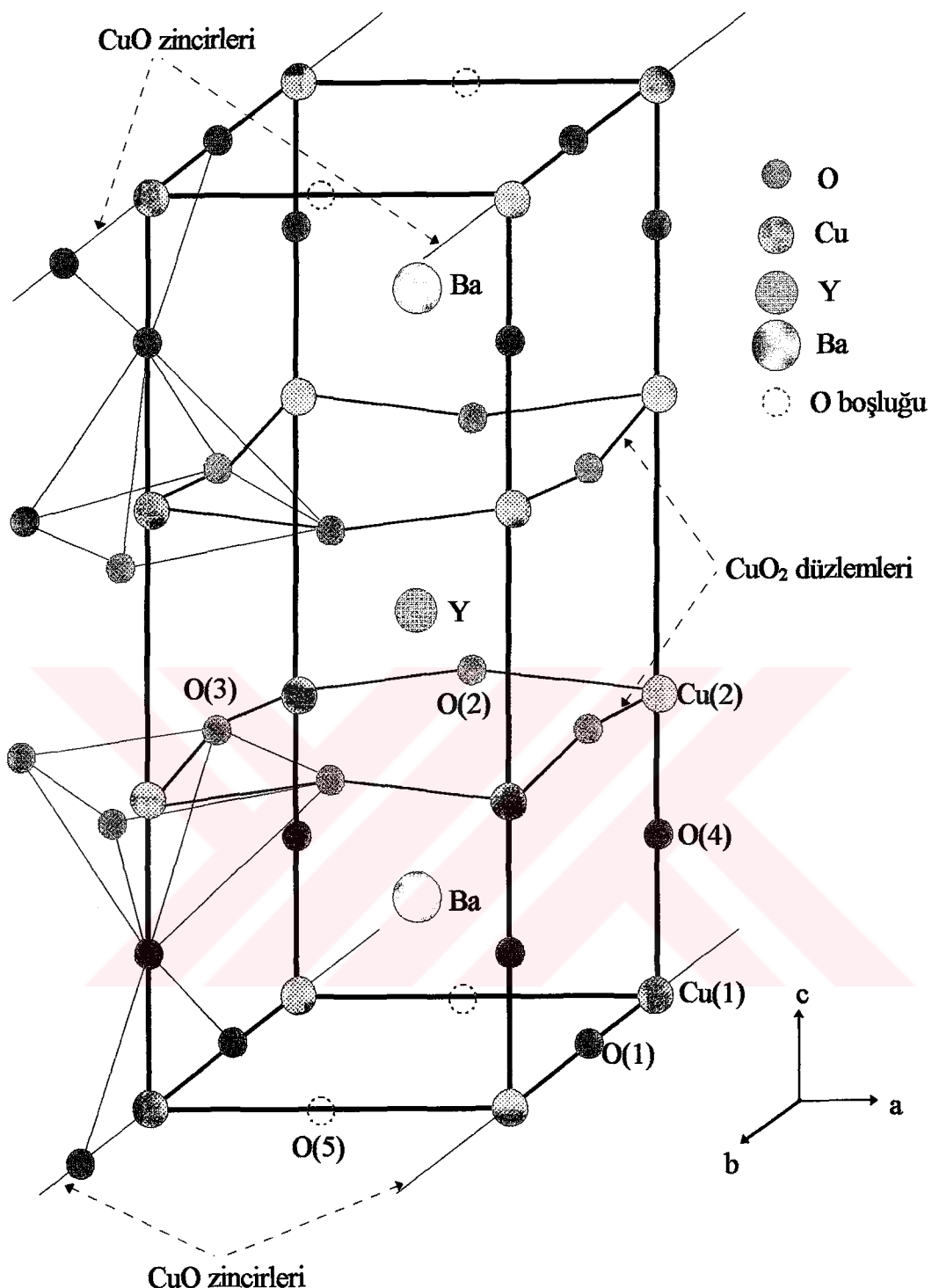
Süperiletken bileşikler, nispeten düşük sıcaklıklarda (~950°C gibi) katıhal tepkime reaksiyonuyla üretilabilir. Ayrıca, ıshıl işlem şartlarının kontrol edilmesiyle, tane büyülüğu gibi mikroyapı karakteristikleri de kontrol edilebilir (Murakami, 1992). Buna rağmen, her ne kadar yüksek kritik sıcaklık değerleri kolaylıkla elde edilebilse de, kritik akım yoğunluğu değerleri sinterlenmiş hacimsel oksit süperiletkenlerde çok küçütür ve bu da sinterlenmiş malzemelerin pratik uygulamalarına engel olmaktadır (Flukiger et al., 1988).

### **1.3. $\text{YBa}_2\text{Cu}_3\text{O}_7$ Süperiletkeninin Yapısal Özellikleri**

Günümüze kadar, yüksek sıcaklık oksit süperiletkenlerinin beş ana türü  $\text{LaBaCuO}$ ,  $\text{YBaCuO}$ ,  $\text{BiSrCaCuO}$ ,  $\text{TlBaCaCuO}$  ve  $\text{HgBaCaCuO}$  keşfedilmiş ve incelenmiştir (Çizelge 1).

$\text{YBaCuO}$  süperiletkenleri, kristal yapılarındaki bakır ve oksijenin hem Cu-O zincirlerini ve hem de kare piramitsel  $\text{CuO}_2$  düzlemlerini (a-b düzlemi) oluşturmalarından dolayı diğerlerinden farklıdır (Şekil 2) (Islam and Baetzold, 1989; Cyrot, 1992). Bakırın kristalografik olarak bağımsız iki durumunun varlığı ( $\text{CuO}_2$  düzlemindeki Cu(2) ve Cu-O zincirindeki Cu(1)), bu ailenin önemli bir özelliğidir.  $\text{YBaCuO}$  ailesinin tüm elemanları birim hücrede iki  $\text{CuO}_2$  düzlemine sahiptirler. Aynı zamanda  $\text{YBaCuO}$  ailesi, tek veya çift Cu-O zincirlerine sahip olmasından dolayı diğer süperiletkenlerden farklıdır (Çizelge 1).  $\text{YBa}_2\text{Cu}_3\text{O}_7$  bileşığında birim hücrede bir zincir,  $\text{YBa}_2\text{Cu}_4\text{O}_8$  bileşığında iki zincir ve  $\text{Y}_2\text{Ba}_4\text{Cu}_7\text{O}_{15}$  bileşığında de c ekseni boyunca ardışık bir ve iki zincir bulunur (Dzhafarov, 1996; Yvon and François, 1989).

Oksijen kaybına duyarlı olan Cu-O zincirleri  $\text{YBa}_2\text{Cu}_3\text{O}_{7-x}$  süperiletken bileşığında ortorombik-tetragonal faz geçişine neden olur. Ortorombik-tetragonal faz geçisi, sıcaklığa ve oksijenin kısmi basıncına bağlı olan, stokiyometrik olmayan oksijen



**Şekil 2.** Ortorombik yapıdaki  $\text{YBa}_2\text{Cu}_3\text{O}_7$ 'nin birim hücresi (Rothman and Routbort, 1989).

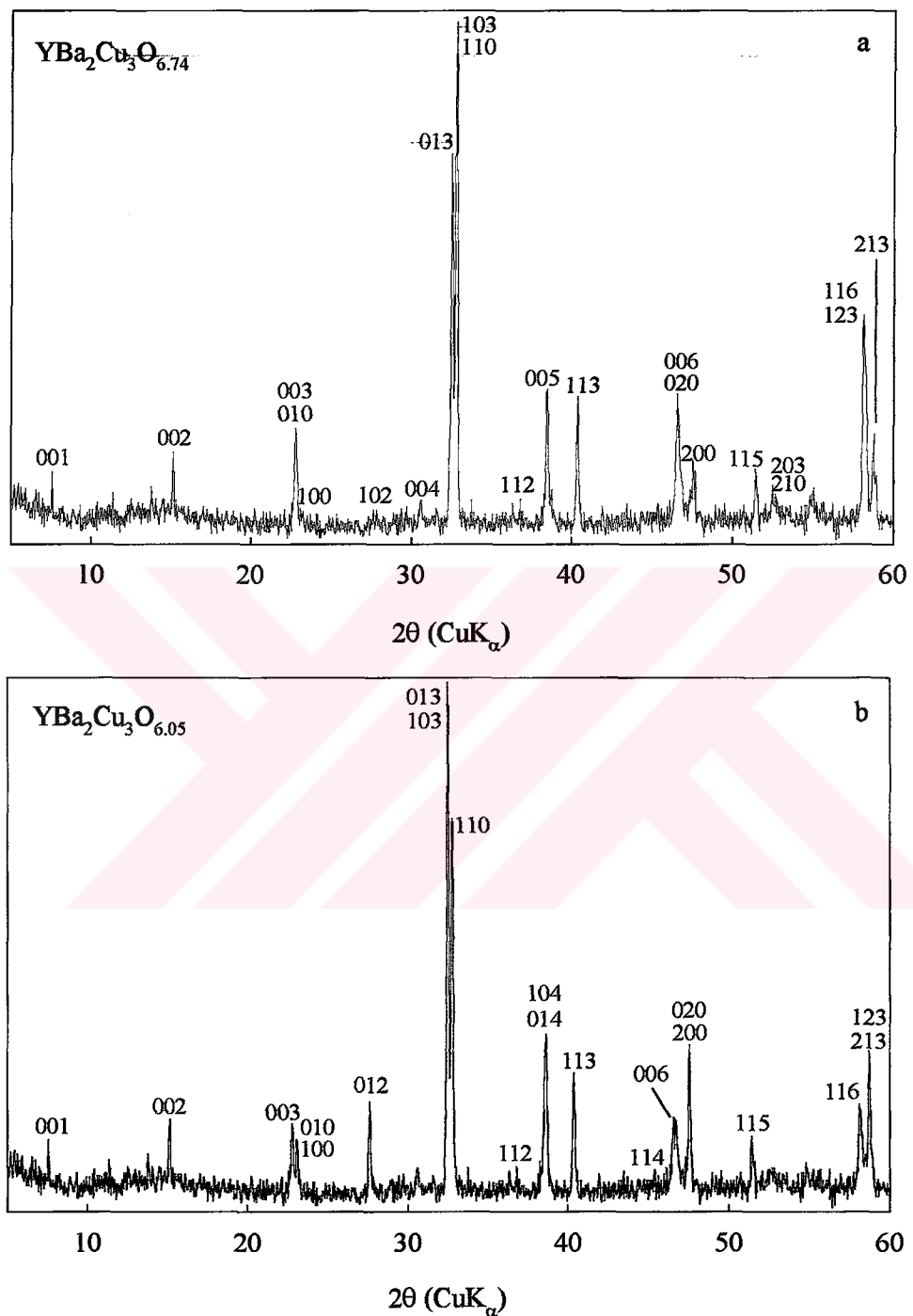
oksijen malzemeden ayrılrken normal olarak O(1) yerlerinden boş olan O(5) mevkilerine oksijen geçerek düzensizlik oluşturur. Ortombiek-tetragonal faz geçisi, oksijenin difüzyon kinetiği tarafından kontrol edilen bir işlemidir (LaGraff et al., 1991).

Oksijen boşluklarının düzenlenmesinin sonucu oluşan zincirler, yalnızca ortombiek fazda görülür. Oksijen konsantrasyonunun değişmesi, maddeyi ıslık işleme tabi tutma esnasındaki ısıtma ve soğutma şartlarına bağlıdır. Tek-zincirli  $\text{YBa}_2\text{Cu}_3\text{O}_{7-x}$ , oksijen eksikliğine bağlı olarak ( $0 < x < 0,6$ ) 94 K'den 0 K'e kadar değişen süperiletken geçiş sıcaklığına sahiptir.  $\text{YBaCuO}$ 'nun normal ve süperiletken durumlarının her ikisinin de özellikleri, oksijen konsantrasyonu ve ortombiek fazdaki oksijen düzenleninin derecesine kuvvetli bir şekilde bağlıdır.  $\text{YBaCuO}$  süperiletken fazı, çevredeki gaz cinsine (hava, oksijen vs.) ve oksijen basıncının değerine bağlı olarak 600°C'den 750°C'ye kadar ısıtma işlemi boyunca ortombiek-tetragonal faz geçisi gösterir (Specht, et al., 1988).

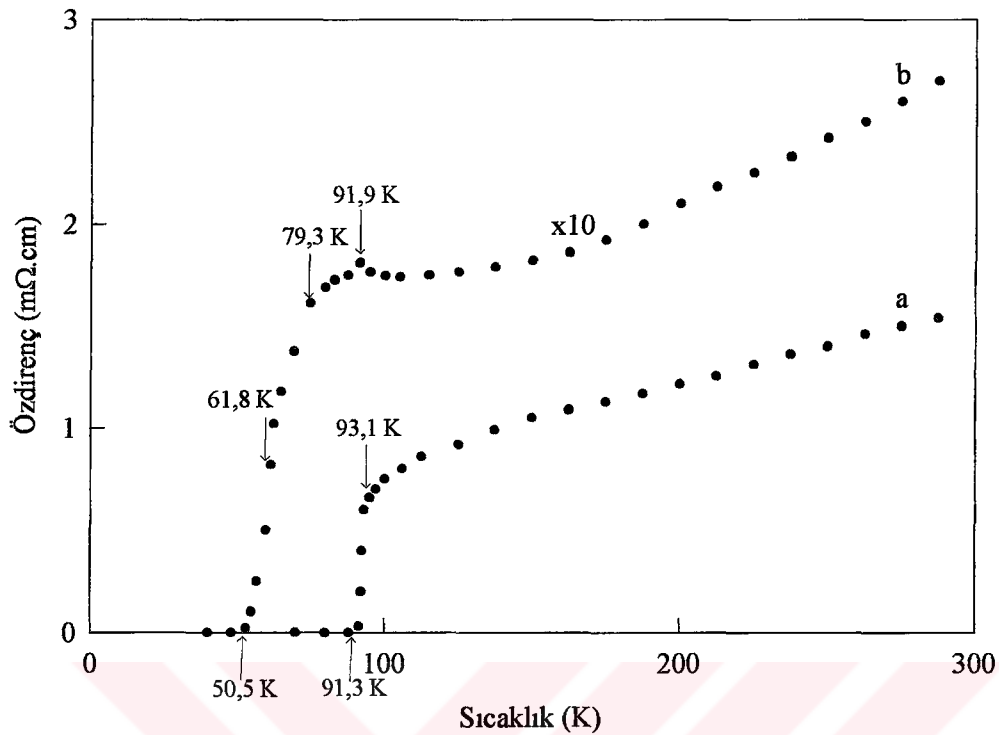
Cift zincirli  $\text{YBa}_2\text{Cu}_4\text{O}_8$  süperiletkeninin kritik sıcaklığı (80 K civarında) oksijen kaybına hassas değildir.  $\text{YBa}_4\text{Cu}_7\text{O}_{15}$  bileşigi de yüksek geçiş sıcaklığına sahiptir (92-94 K) ve  $\text{YBa}_2\text{Cu}_3\text{O}_7$  gibi süperiletkenlerin zincir kısımlarındaki oksijen kaybından kaynaklanan oksijen değişimine çok hassastır (Tallon et al., 1990).

Oksijenin miktarına bağlı olarak  $\text{YBaCuO}$ 'nun yapısı hem ortombiek hem de tetragonal olabilir. X-ışınları kırınlı analizinden de  $\text{YBa}_2\text{Cu}_3\text{O}_{7-x}$  numunesinin ortombiek fazı sahip olduğu görülmüştür (Şekil 3a). Ortombiek birim hücrenin boyutları yaklaşık  $a=3,818 \text{ \AA}$ ,  $b=3,889 \text{ \AA}$  ve  $c=11,668 \text{ \AA}$  olarak tayin edilmiştir. Tetragonal faz ise (Şekil 3b) sinterlenmiş numuneyi 930°C'den oda sıcaklığına ani soğutulmasıyla (quench) elde edilmiştir. Tetragonal birim hücrenin boyutları yaklaşık  $a=3,859 \text{ \AA}$  ve  $c=11,771 \text{ \AA}$  olarak hesaplanmıştır. Hidrojen atmosferinde 780°C'de ıslık işlem boyunca kütle kaybının ölçülmesiyle, ortombiek ve tetragonal fazların oksijen kompozisyonu  $\text{YBa}_2\text{Cu}_3\text{O}_{6.74}$  ve  $\text{YBa}_2\text{Cu}_3\text{O}_{6.05}$  olarak tayin edilmiştir (Kikuchi, et al., 1987).

Elektriksel özdirenç ölçümelerinde ortombiek faz, 93,1 K'lik süperiletkenlik başlangıç sıcaklığının üzerinde metalik bir davranış göstermektedir. Şekil 4'te a eğrisinde de gösterildiği gibi süperiletkenin  $1 \text{ m}\Omega\cdot\text{cm}$ 'den daha az bir özdirençe sahip olduğu bulunmuştur. Sıfır direnç, keskin bir süperiletken geçisinin ardından 91,3 K'de gözlenmiştir. Diğer taraftan, tetragonal faz başlangıçta, ortada ve uç noktalarda sırasıyla



**Şekil 3. (a)** Ortorombik  $\text{YBa}_2\text{Cu}_3\text{O}_{6.74}$  ve **(b)** Tetragonal  $\text{YBa}_2\text{Cu}_3\text{O}_{6.05}$  fazlarının x-işinleri kırınım deseni (Kikuchi, et al., 1987).



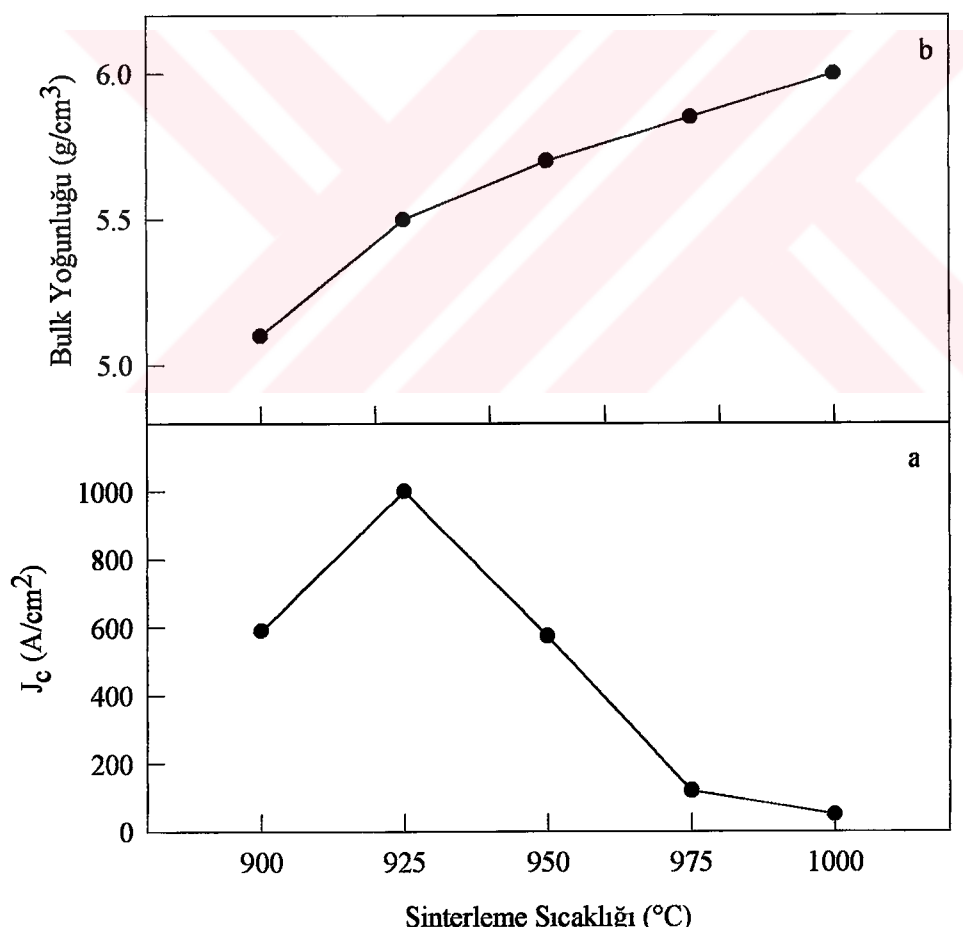
**Şekil 4.** (a) Ortorombik  $\text{YBa}_2\text{Cu}_3\text{O}_{6,74}$  ve (b) tetragonal  $\text{YBa}_2\text{Cu}_3\text{O}_{6,05}$  fazlarının özdirencinin sıcaklıkla değişimi (Kikuchi, et al., 1987).

79,3, 61,8 ve 50,5 K'de oldukça geniş bir geçiş göstermektedir (Şekil 4b). 91,9 K'deki anormallilik, az miktardaki ortorombik fazın varlığını ve bu fazın süperiletkenliğe geçiş için başlangıç sıcaklığını göstermektedir. Ayrıca, tetragonal fazdaki numunenin özdirencinin, ortorombik fazdaki numunenin özdirencinden daha fazla olduğu bulunmuştur (Kikuchi, et al., 1987).

Sinterlenmiş hacimsel  $\text{YBaCuO}$  malzemesinde kritik akım yoğunluğu tayininde; homojenlik, yoğunluk, oksijen içeriği ( $T_c$ ), çatlaklar ve tane sınırlarındaki etkileşmeler gibi birçok parametrenin önemli olduğu düşünülmektedir. Bu parametreler üretim şartlarına kuvvetli bir şekilde bağlıdır. Genellikle, sinterlenmiş numuneler yüksek saflıktaki  $\text{Y}_2\text{O}_3$ ,  $\text{BaCO}_3$  ve  $\text{CuO}$  tozlarından hazırlanır. Bu tozlarda, süperiletkenin kritik sıcaklık değerini azaltan demir, nikel, kobalt gibi safsızlıklar mümkün olduğu kadar az olmalıdır. Tozlar iyice karıştırılmalı, 850-950°C arasında 1-24 saat civarında kalsine edilmeli ve bunun ardından öğütülmelidir. Bu işlem, son sinterleme işleminden önce toz

kalitesini artırmak için genellikle ikiden fazla tekrarlanmalıdır. Sadece bir kez kalsine edilmiş numune büyük parçacıkların dağılımına, farklı kompozisyon'a sahip olup, numune tam homojen değildir. Bu durumda numune sıvı azot sıcaklığında (77 K), sıfır magnetik alanda  $5 \text{ A.cm}^{-2}$ 'den daha az kritik akım yoğunluğu değerine sahiptir. Bu homojensizlik, kalsinasyon işleminin tekrarlanmasıyla giderilebilir ve kritik akım yoğunluğu değeri  $1000 \text{ A.cm}^{-2}$ 'ye kadar artırılabilir (Murakami, 1992).

Sinterlenmiş hacimsel  $\text{YBaCuO}$ 'nun yoğunluğu, sinterleme sıcaklığının artırılmasıyla yükseltilerebilir. Bununla birlikte, kritik akım yoğunluğu değerleri, Şekil 5'te görüldüğü gibi, hacimsel yoğunluğuyla basit bir ilişkiye sahip değildir. Bu, sıvı fazın yüksek sıcaklıklarda tane sınırları boyunca yerleşmesinden kaynaklanmaktadır. Böylece, tane etkileşmeleri azalacak ve kritik akım yoğunluğu değeri düşecektir.



**Şekil 5.** Hacimsel  $\text{YBaCuO}$ 'da sinterleme sıcaklığının (a) kritik akım yoğunluğuna ve (b) hacimsel yoğunluğuna etkisi (Murakami, 1992).

YBaCuO sisteminde süperiletken fazın stokiyometrisi öylesine sınırlıdır ki kompozisyon yerel olarak düzgün olmadığı zaman ikinci fazlar kolayca oluşabilir. BaO<sub>1,5</sub>-CuO'in ikili faz diyagramına göre 900°C civarında bir ötektik reaksiyon meydana gelir. Bu diyagram, sinterleme işlemi sırasında 900°C'nin üstündeki sıcaklıklarda bir sıvı fazın oluşabileceğine işaret eder. Sinterleme sıcaklığının artmasıyla, sıvı fazın oluşumu da artma eğiliminde olur. Diğer yandan bu sıvı faz, sinterleme işlemeye ve hacimsel yoğunluğun artmasına yardım eder. Fakat, tane sınırları bir süperiletken olmayan fazla çevrildiği için kritik akım yoğunluğu değeri azalır (Murakami, 1992).

Numune için, düzgünce dağılmış küçük taneli (<1 mikron) ince tozlar elde edilirse bu sıvı fazın yardımı olmaksızın hacimce yoğunlaştırma mümkün hale gelir. Bu çalışmalar göstermiştir ki, numuneler yüksek basınç altında preslendikten sonra, 925°C'nin altında sinterlenebilir. Bunun sonucunda sıvı fazın tane aralığına girmediği oldukça yoğun numuneler üretilebilir. Bu işlemlere rağmen böyle numunelerde kritik akım yoğunluğu değerleri yine de düşüktür. Bunun kısmi sebebi, tane sınırları boyunca çatlakların varlığıdır (Murakami, 1992).

Tamamen oksijenlenmiş hacimce yoğun numuneler elde etmek de zordur. YBa<sub>2</sub>Cu<sub>3</sub>O<sub>7-x</sub>'nin kritik sıcaklığı oksijen içeriğine önemli ölçüde bağlıdır ve oksijen eksikliğinin (x) artmasıyla azalır (Kishio et al., 1987). Hacimce yoğun YBaCuO'da oksijenin difüzyon oranı oldukça düşüktür ve bundan dolayı iç bölgeler, daha az oksijen miktarına sahip olabilir. Bu da kritik akım yoğunluğu değerini düşürmektedir (Tu et al., 1989).

#### **1.4.Yüksek Sıcaklık Oksit Süperiletkenlerinde Difüzyon Mekanizmaları**

Seramik oksit süperiletkenlerde, yapısal kusurların hemen hemen bütün mümkün tipleri gözlenmiştir: Nokta kusurları (boşluk ve arayer), bir ve iki-boyutlu kusurlar (dislokasyonlar, istif kusurları ve tane sınırları) ve üç boyutlu kusurlar (gözenekler, mikroçatlaklar, vs.) (Dzhafarov, 1996).

Tek-kristal oksit süperiletkenlerde atomların taşınma (migration) mekanizması, yarıiletkenlerdekine benzer şekildedir (Abdullaev and Dzhafarov, 1987):

- a) boşluk mekanizması,
  - b) arayer mekanizması,
  - c) ayrışım mekanizması,
  - d) istif kusurları veya dislokasyon yolu ile taşınma.

Kristal yapısında gözeneklere ve tanelere sahip olan polikristal seramik süperiletkenlerde atomik difüzyon,

- a) gözneklerin yüzeyleri boyunca,
  - b) tane sınırları boyunca,
  - c) ikizleme sınırları boyunca,
  - d) taneler içine (tek kristallerde karakteristik difüzyon mekanizmaları ile)

taşınma vasıtasıyla gerçekleştirilebilir (Choi et al., 1990).

Boşlukla taşınma mekanizması (tek kristalde difüzyon durumlarında veya polikristal süperiletkenlerin tanelerinde), öргünүн есас ионларының ионик yarıçapına, yüküне және электрон яғына бензет атомдар длян уйгунду.  $\text{YBaCuO}$  да ( $\text{Y}^{+3}$ ,  $\text{Ba}^{+2}$ ,  $\text{Cu}^{+2}$  және  $\text{O}^{-2}$  атомларының башланғыс ионик юктері мен) катион yerдеğiştirmесинин hesaplanmış

Katkı iyonlarıyla kuşatılan Cu(2) konumundaki bir esas örgü iyonunun yerdeğiştirmesi, Cu(1)-O(4) bağ mesafesinin azalmasıyla ve M<sup>+2</sup>-O(4) bağ mesafesinin artmasıyla sonuçlanır. Cu(1)-O(4) bağ mesafesi, YBaCuO'nun yerel elektriksel özelliklerini etkileyen önemli bir parametredir (Dzhafarov, 1996).

Üç değerlikli Al<sup>+3</sup> ve Fe<sup>+3</sup> iyonları için çözünme enerjilerinin hesaplanması, bu iyonların daha yerel model için Cu(1) yerlerini ve yerel olmayan model için Cu(2) yerlerini işgal ettiğini işaret etmektedir. Pratikte, bunların her ikisi de meydana gelir ve bu yerleşmeler, ıslık işlem ve kısmi oksijen basıncı ile kontrol edilebilir. YBaCuO bileşiklerinde hem itriyum ve hem de baryum yerine nadir toprak elementleri yerleştirilebilir. Baryumun yerine üç değerlikli nadir toprak iyonları (Lutesyum, Holmiyum, Gadoliniyum, Europium, Neodimyum ve Lantanyum) yerleştiğinde, iyon büyülüğu ile çözünme enerjilerinin bir ilişkisi gözlenmektedir. Büyük nadir toprak iyonlarının (La<sup>+3</sup> gibi) yerleşiminde, baryum atomlarının konumu enerjik olarak daha elverişlidir (Islam and Baetzold, 1989).

Şimdiye kadar gerçekleştirilen araştırmalar, magnetik ve eşelektronik yapılı nadir toprak iyonlarının (Neodimyum, Samaryum, Europium, Gadoliniyum, Holmiyum, Erbiyum ve Lutesyum) esas組繪deki Y<sup>+3</sup> iyonlarının yerine yerleştiğini ve süperiletken geçiş sıcaklığına önemli bir etkisinin olmadığını göstermektedir (Islam and Baetzold, 1989). Ca<sup>+2</sup> ve Sr<sup>+2</sup> alkali toprak iyonları, kristalde Ba<sup>+2</sup> konumlarına yerleşir. Fe<sup>+2</sup>, Co<sup>+2</sup>, Ni<sup>+2</sup>, Zn<sup>+2</sup>, Cd<sup>+2</sup> ve Al<sup>+3</sup> geçiş metal katyonları, tercihen bakır konumlarına yerleşebilir. Katkı iyonları hem polikristal YBaCuO'nun tanelerinde ve hem de tek kristal YBaCuO'da CuO<sub>2</sub> düzlemlerinde veya Cu-O zincirleri boyunca taşınmaktadır (Dzhafarov, 1996).

Perovskit yapılı yüksek-sıcaklık süperiletkenlerinde difüzyon katsayıları, örgü anizotropik olduğu için, anizotropiktir. Herhangi bir tanede difüzyon katsayı, difüzyon yönünden ziyade o tanenin yönelmesine bağlıdır (Routbort, et al., 1991):

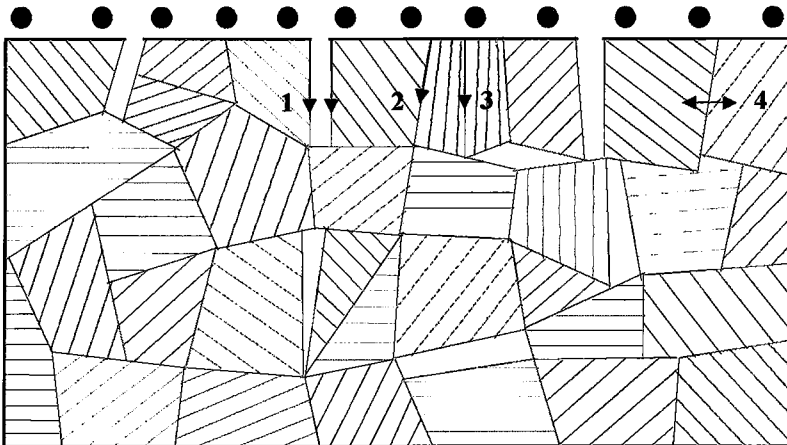
$$D(\theta) = D_{ab} \sin^2 \theta + D_c \cos^2 \theta \quad (1)$$

Burada,  $D_{ab}$  a-b düzlemindeki ve  $D_c$  c ekseni boyunca olan difüzyon katsayısının değerleridir.  $\theta$  ise difüzyon yönü ile c ekseni arasındaki açıdır.

Bir atom tümüyle ya Cu(2) veya Cu(1) konumlarını işgal ederse, c doğrultusu boyunca olan  $D_c$  katyon difüzyon katsayıları, bu atom için çok küçük olmalıdır. Çünkü c doğrultusu boyunca uzun bir mesafeyi atlaması gereklidir. Bununla birlikte, bir katyon ya bir zincirde ya da bir düzlemdeki konumda sınırlanırsa,  $D_{ab}/D_c$  anizotropisi, bir katyonun her iki tür arasında yer değişimini yapması haline karşılık gelen anizotropisinden daha büyük olması beklenir. Katyon difüzyonunun anizotropisi muhtemelen oksijen difüzyonu için bulunan kadar büyük olmayacağı (Rothman et al., 1991).

YBaCuO süperiletkeninin bir özelliği, kristal büyütme ve ısıtma esnasında ( $600-750^{\circ}\text{C}$  sıcaklık aralığında) ortorombik-tetragonal faz geçişine sahip olmasıdır. Oksijenin uzaysal dağılımı, tek kristalde veya polikristalde  $\Delta a/a$  değerinin yerel değişimiyle ilişkilidir (Burada  $\Delta a = b - a'$ dir ve  $a$ ,  $b$  sırasıyla ortorombik fazın (100) ve (010) doğrultularındaki örgü parametreleridir) (Sarıkaya et al., 1988).  $\Delta a/a$  ortorombik biçim bozulmasının büyüklüğü (oda sıcaklığında) yaklaşık %1,9'a ulaşır. Birim hücre,  $750^{\circ}\text{C}$ 'den daha büyük sıcaklıklardan oda sıcaklığına doğru soğutma işlemi esnasında, tetragonal yapıdan ortorombik yapıya dönüşür. Ortorombik fazdaki biçim bozulmaları, ikizlemeler ve "domain"ler tarafından sağlanmaktadır. İkizlemeler, tetragonalden ortorombik faza geçiş esnasında, oksijen düzenlenmesiyle ilişkili şekil değişiminden kaynaklanan stresleri barındırarak, (110) ve (1 $\bar{1}$ 0) düzlemlerde şekillenirler (Specht et al., 1988). İkizleme sınırları kolay bir difüzyon yolu gibi davranışır.  $90^{\circ}$  biçimli "domain"lerin oluşması için gerekli enerji nispeten daha büyük olduğundan  $45^{\circ}$ li ikizlemelerin oluşumu daha kolay olmaktadır. Diğer yüzey kusurlarıyla (gözenekler, istif kusurları vs.) birlikte bu ikizlemeler ve "domain"ler, oksit süperiletkenlerinde atomların difüzyonuna etki edebilmektedir. Böylece, seramik yüksek sıcaklık süperiletkenlerinde difüzyon aynı anda iki yolla olabilmektedir: (a) Gözeneklerin yüzeyleri, ikizlemeler, "domain"ler ve tane sınırları boyunca hızlı difüzyon ve (b) tane içlerine doğru yavaş difüzyon (Şekil 7) (Dzhafarov, 1996).

Yüksek-sıcaklık oksit süperiletken numunelerde katkılama işlemleri, oluşum (veya tavlama) sıcaklığı civarında ( $850-950^{\circ}\text{C}$ ) meydana gelmektedir. Katkılama sırasında, malzeme içinde, katı çözelti katkısının çökelmesi ve yeni fazların oluşması



**Şekil 7.** Seramik süperiletkenlerde; gözeneklerin yüzeylerine (1), tane sınırlarına (2), ikizleme sınırları boyunca (3) ve tane içlerine difüzyon (4) hareketinin şematik gösterimi

gerçekleşir. Çökelme oranı, katı çözeltinin aşırıdoyma derecesi (tavlama sıcaklığında katkı denge çözünürlüğüne göre katkı konsantrasyonunun fazlalaştırılması), katkı difüzyon katsayısı ve kristaldeki çökelme merkezlerinin varlığıyla tayin edilir (Dzhafarov, 1989; Dzhafarov, 1991). Gözenekler, tane sınırları, ikizlemeler ve dislokasyonlar çökelme merkezleridir. Süperiletkenlerde katkı denge çözünürlüğüne, yeterince uzun bir süre tavlamadan sonra, yüksek sıcaklıklarda ulaşılır. Bunun ardından katı katkı çözeltisi, soğutma işlemi boyunca aşırıdoyma ulaşır ve fazla katkı konsantrasyonu numunenin kusurların bulunduğu yerlerinde çökelebilir. Çökelme olayı yavaş soğutma esnasında daha hızlı olur ve bu durum hızlı difüzyon atomları için daha uygundur (Dzhafarov, 1996).

Katı çözeltinin çökelmesi ve ortaya çıkan ikinci fazın oluşması, aşırıdoyma durumunda, katı çözeltinin beklemeye süresiyle belirlenir. Gelişigüzel dağılmış çökmüş parçacıkların büyümesiyle aşırıdoymuş bir matriste çöken maddenin taşınma kinetiği Shewmon (1963) tarafından öngörülmüştür. Aşırıdoymuş matris atomlarının çökelmesinin matematiksel tanımı aşağıdaki gibi verilir:

$$N_0 - N = At^n \quad (2)$$

Burada  $N_0$ , matris atomlarının ilk konsantrasyonu,  $N$  çökelmelerle dengeye gelen matris atomlarının konsantrasyonu,  $t$  çökelme süresi,  $A$  atomun difüzyon katayısına bağlı bir parametre ve  $n$  çökelen parçacığın geometrik şekline bağlı (küresel, uzun şerit ve levha parçacıklar için sırasıyla  $n=3/2$ , 1 ve  $1/2$ ) bir parametredir. (2) denkleminden görüldüğü gibi,  $(N_0-N)$  konsantrasyon farkıyla tanımlanan aşırıdoymuş katı bir çözeltinin çökelmesi, çökelme süresiyle orantılıdır (Dzhafarov, 1996).

### **1.5. Demir ve Kobalt Katkılarının $\text{YBa}_2\text{Cu}_3\text{O}_7$ Süperiletkeninin Özelliklerine Etkisi**

Bakır tabanlı yüksek-sıcaklık seramiklerinin keşfinden beri, kristalografik birim hücrelerin farklı katyonik konumlarına birçok metalik katkılama çalışması ve bu katkılardan ileri gelen yerine geçme düzensizliklerinin, süperiletkenlige nasıl etki yaptığını incelemek için yerdeğiştirmeli çalışmalar yapılmıştır.

Bakır tabanlı olmayan yüksek kritik sıcaklıklı süperiletken elde etme araştırmalarının çoğu, bakır yerine katyon yerleştirmeden ileri gelen etkileri araştırmaya yönelmiştir. Bu bakımdan, yaklaşık 90 K'lık bir kritik sıcaklığa sahip olan  $\text{YBaCuO}$  süperiletkeni, kristal yapısındaki iki bakır konumundan birinin (ya zincirdeki Cu(1) konumlarına ya da düzlemdeki Cu(2) konumlarına), kısmen değişik kimyasal önemlerinden dolayı bakır için iyi bir yerdeğiştiren olarak görülen demir, nikel, çinko ve galyum gibi katkılarla yerdeğiştirmesiyle, kritik sıcaklığın nasıl değiştigini tayin etmek için, pek çok kapsamlı çalışmanın hedefi olmuştur. %5 at.'e kadar olan küçük katkı konsantrasyonlarında, bütün bu yerdeğiştirmelerin süperiletkenlik üzerine etkisi; demir, nikel, çinko ve galyum için sırasıyla yaklaşık 5, 3, 15 ve 4 K/% at. oranında kritik sıcaklığı kötülestirmesi biçimdedir. Nötron kırınımı çalışmaları, böyle küçük konsantrasyonlarda demir ve galyumun, zincirdeki Cu(1) konumlarını tercih etmelerine karşın, nikel ve çinkonun ise, düzlemdeki Cu(2) konumlarını işgal etme eğiliminde olduğunu göstermiştir (Lal et al., 1994).

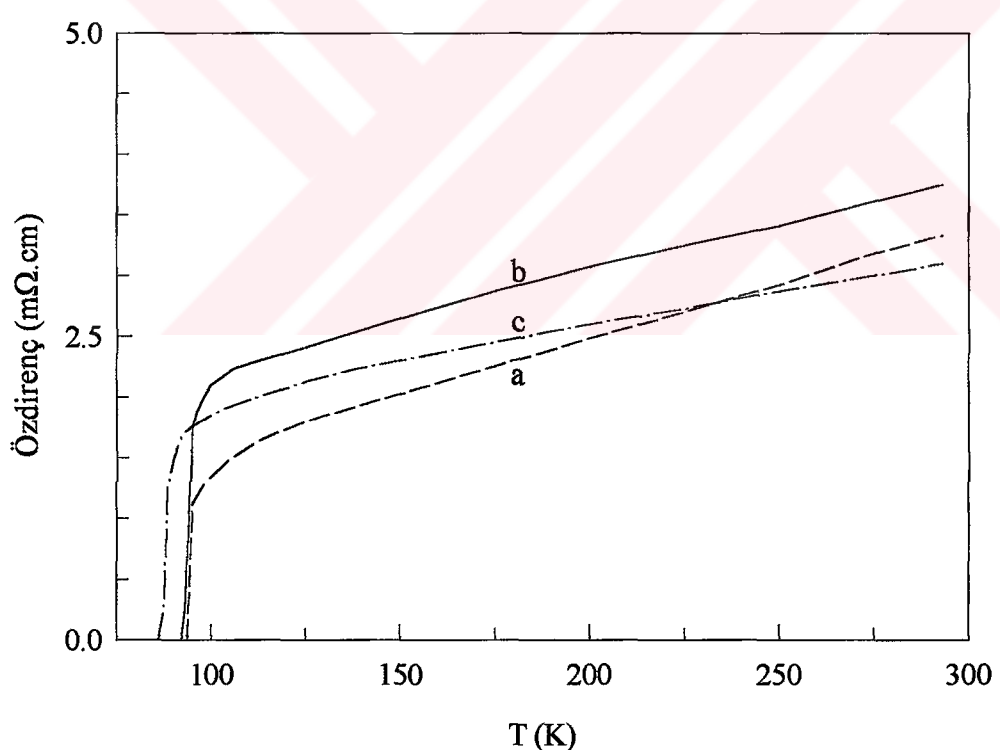
Kodama et al. (1992), YBaCuO sisteminde demir ve kobaltın yerdeğiştirmesini inceledikleri çalışmada, bu atomların zincirdeki Cu(1) konumlarını tercih ettiğini keşfettiler.

90 K'lik ortorombik faz, iki değerlikli nikel ve çinko iyonlarıyla bakır atomlarının yerdeğiştirmesi durumunda korunurken, daha yüksek değerliğe sahip demir, alüminyum ve kobalt iyonlarının katkılamaıyla kaybolur ve tetragonal birim hücre oluşur. Kimyasal basınç, yüksek oksidasyon durumlarında (oksidasyon durumu ne kadar yüksekse, iyon hacmi o kadar küçüktür) 3d metallerini kararlı kılmak için genellikle gereklidir. Yüksek oksidasyon durumundaki bir iyonun, genellikle oksijen atomlarının oldukça çok olduğu bir konumda bulunacağı beklenir (örneğin kare düzlemsel bir çevreden ziyade, kare-piramitsel bir durumda). Eğer  $\text{Cu}^{+3}$  iyonları Cu(1) konumlarında bulunuyorsa istisnai bir durum oluşur. Fakat  $\text{Co}^{+3}$ 'ün kare düzlemsel yapıda olduğu bir bileşik yoktur. Böylece kobalt, yapacağı bağların sayısını artırmak için oksijen atomlarını çekecektir. Bu noktayı, oksijen miktarının kimyasal analizi ve katkı miktarının bir fonksiyonu olarak yapılan nötron kırınımı ölçümleri ( $\text{YBa}_2\text{Cu}_{3-y}\text{M}_y\text{O}_{7-x}$  bileşiğinde en azından  $y$ 'nin 0,2'den büyük değerleri için) doğrulamaktadır ve her eklenen kobalt atomu 0,5 oksijen atomunu çekmektedir. Yani iki kobalt atomu bir oksijen atomunu paylaşır ve Co-O-Co çiftleri oluşur. Bu, kobalt atomları arasında çekici etkileşmelere yol açar. Böyle etkileşmeler, sıcaklığın bir fonksiyonu olarak faz ayrışmasına yol açar. Bu da ısıtma şartının önemini vurgular. Nötron kırınımı çalışmaları da, kobaltın çoğunlukla Cu(1)'in yerine yerleştiğini ve ek oksijen atomlarının 90 K'lik ortorombik fazda a ekseni üzerindeki mevcut oksijen boşluklarını işgal ettiğini göstermektedir. Bu konumların kısmi doldurulması, deneysel olarak gözlenen tetragonal biçim bozulması ile sonuçlanır. Bu yerlerin tamamen işgali, eklenen her bir kobalt atomu için bir oksijen gerektirir (Cu(1)'in etrafında hiç bir oksijen boşluğunun olmadığını varsayıyor). Böylece, kare-piramitsel koordinatlı bir kobalt, oksijen verilerini açıklamak için daha uygundur (Tarascon et al., 1988).

Ortorombik-tetragonal faz geçişinin, oksijen kaybıyla birlikte YBaCuO bileşiklerinde meydana geldiği bilinmektedir. Bu yapısal dönüşüm, düzensizliklerin yaratılması sonucu meydana gelir. Bu düzensizlikler, oksijen boşluklarının yaratılmasıyla oksijen atomları arasında itici türde olan etkileşmenin azaltılması yoluyla gerçekleşir. Bu da, oksijenleri 90 K'lik fazda zincir yapmaya zorlar. Kobalt, alüminyum veya demir

katkılı numunelerde, bu itici etkileşmelere, üç değerlikli bir iyonu kare-piramitsel çevreye (yani O-Co-O bağıının  $90^\circ$  olması) yerleştirmekle kazanılan enerji ile karşı koyulur. Bu üç değerlikli iyonlar oksijenlere kuvvetlice bağlanır ve böylece yapıdan çıkarılabilcek oksijen sayısı, artan katkı miktariyla, azalmış olur. Örnek olarak, formül birimi ( $\text{YBa}_2\text{Cu}_{3-y}\text{M}_y\text{O}_{7-x}$ ) başına sadece 0,15 oksijen atomu,  $y=0,8$  değerine kobalı bilesikten, çıkarılabilir (Tarascon et al., 1988).

$c$  örgü parametresi faz geçisi ile değişmezken kalırken,  $a$  ve  $b$  örgü parametreleri, demir miktarının arttırılmasıyla değişir.  $\text{YBaCuO}'da$  oksijen eksikliği ve düzensizliklerin sebep olduğu faz geçisi ve bu esnada  $c$  parametresinde meydana gelen artış, süperiletken özellikleri etkiler. Faz geçisi sırasında  $c$  parametresinin değişmemiş kalması gerçeği, demir katkısıyla olan faz geçisinin, oksijen eksikliği ile ilişkili olmadığını önermektedir (Kim et al., 1990).



**Şekil 8.**  $\text{YBa}_2(\text{Cu}_{1-y}\text{Fe}_y)_3\text{O}_{7-x}$  için sıcaklığın fonksiyonu olarak özdirencin değişimi ((a)  $x=0$ , (b)  $x=0,01$ , (c)  $x=0,02$ )

Şekil 8,  $\text{YBa}_2(\text{Cu}_{1-y}\text{Fe}_y)_3\text{O}_{7-x}$  numunesinde elektriksel özdirenç ve sıcaklık arasındaki ilişkiyi göstermektedir.  $x=0$  için, sıfır direnç 93,5 K'dır.  $x=0,01$  ve  $x=0,02$ 'li numuneler ise sırasıyla 92 K ve 84,5 K'lik daha düşük kritik sıcaklık değerlerine sahiptir. Normalden süperiletken duruma geçiş genişliği ( $\Delta T_c$ ), demir miktarıyla artmaktadır. Kritik sıcaklık değerinin azalması ve  $\Delta T_c$ 'nin artmasının, ortorombik faza demir katkısıyla oluşan tetragonal fazın kesirsel hacmiyle ilişkisi olduğu düşünülmektedir. Maeno et al. (1987), demir katkısıyla oluşan tetragonal fazın,  $x=0,1$ 'de, süperiletkenliği koruduğunu bildirmiştir.  $\text{YBa}_2\text{Cu}_3\text{O}_{7-x}$ 'de kritik sıcaklık oksijen içeriğinin bir fonksiyonudur. Üstelik, düşük oksijen miktarına sahip tetragonal faz süperiletken değildir. Bundan dolayı, demir katkılı tetragonal fazın, süperiletkenliğini yitirmemek için yeterli oksijen miktarına sahip olabileceği düşünülmektedir (Kim et al., 1990).

## 1.6. $\text{YBa}_2\text{Cu}_3\text{O}_7$ Süperiletkenlerde Demir ve Kobalt Difüzyonu

$\text{YBaCuO}$  süperiletken numunelerinde kısmi yerdeğiştirme işlemleri, bu tip süperiletkenlerin süperiletkenlik özelliklerini iyileştirmek veya mekanizmasını açıklamak için yaygın bir şekilde incelenmiştir. 3d geçiş metallerinin (demir, nikel veya kobalt) magnetik iyonlarıyla bakırın yerdeğiştirmesi, yüksek-sıcaklık süperiletkenliğinin mekanizmasını anlamak için büyük öneme sahiptir. Demir atomları,  $\text{YBaCuO}$ 'nun kristal yapısında bulunan zincirlerdeki Cu(1) konumlarına tercihen yerleşir ve ortorombik-tetragonal faz geçişine sebep olur (Felner and Brosh, 1991).

$\text{YBaCuO}$  süperiletken seramiklerinde demir difüzyonu, enerji ayırmalı x-ışınları floresans tekniği ile 615-880°C sıcaklık aralığında çalışılmıştır (Dzhafarov, et al., 1996). Demir difüzyonu yapılmış ortorombik  $\text{YBaCuO}$  numunesinin  $c$  örgü parametresi, sıcaklıkla (200-500°C aralığında) lineer olarak artmaktadır. Bunun aksine, kobalt difüzyonu yapılmış numunenin  $c$  parametresi sıcaklıkla azalmaktadır. Ayrıca,  $\text{YBaCuO}$ 'da bu her iki tür safsızlığın difüzyonunun, tetragonal fazın oluşumunu teşvik ettiği belirtilmiştir (Dzhafarov, et al., 1992).

Kobalt ve nikelin radyoaktif izotoplarla araştırılmış difüzyonu, %3-5 gibi düşük gözenekli polikristal  $\text{YBaCuO}$ 'da ve  $c$  eksenli tek-kristal plakalarda ikincil iyon kütle

spektrometresi tekniği veya seri çıkarmalar yapılarak 700°C'den 900°C'ye kadar çalışılmıştır (Routbort et al., 1991). Kobalt ve nikel sırasıyla 2,90 ve 2,56 eV'luk aktivasyon enerjisiyle polikristal numuneye difüz eder (Çizelge 2).  $D_{\text{poli}}/D_c$  ( $D_{\text{poli}}$ , yönlenmiş polikristaldeki difüzyon katsayısı ve  $D_c$ , tek kristal plakalarının c ekseni boyunca difüzyon katsayısı) olarak tanımlanan difüzyon anizotropisinin, kobalt için nikelden çok daha (1000 kez) büyük olduğu bulunmuştur (Alfeev et al., 1991). Kobalt ve nikel katyonları, çoğunlukla zincirlerde ve a-b düzlemlerinde difüzyona uğramaktadır (Dzhafarov, 1996).

Çizelge 2.  $D=D_0 \exp(-E/kT)$  olmak üzere yüksek- $T_c$  hacimsel  $\text{YBaCuO}$  süperiletkenlerinde difüzyon katsayısının sıcaklığına bağımlılığı

Süperiletken	Element	Sıcaklık (°C)	$D_0$ (cm <sup>2</sup> /s)	E (eV)	İnceleme Tekniği
$\text{YBa}_2\text{Cu}_3\text{O}_7$	Fe	615-880 (yavaş)	$1,5 \cdot 10^{-4}$	1,25	EDXRF
$\text{YBa}_2\text{Cu}_3\text{O}_7$	Fe	615-880 (hızlı)	$1,8 \cdot 10^{-6}$	0,90	EDXRF
$\text{YBa}_2\text{Cu}_3\text{O}_7$	Co	700-900	14	2,90	Radyoaktif izotoplarla
$\text{YBa}_2\text{Cu}_3\text{O}_7$	Ni	600-700	2	2,56	Radyoaktif izotoplarla

## **2. DENEYSEL ÇALIŞMALAR**

### **2.1. $\text{YBa}_2\text{Cu}_3\text{O}_7$ Süperiletkeninin Hazırlanma Metotları**

Oksit süperiletkenler, alışılmış seramiklerin hazırlanması için kullanılan yöntemlerin tümüyle üretilerebilir. En basit metod, uygun oranlarda saf oksitleri karıştırmak ve bir pota içinde sinterlemektir.  $\text{YBaCuO}$  süperiletkeninin sinterlenmesi için  $900^\circ\text{C}$ 'den daha fazla sıcaklık gereklidir ve bu esnada oksijen kaybı meydana gelir. Numunenin tercihen, yaklaşık olarak  $600^\circ\text{C}$ 'de hava veya oksijen ortamında belli bir süre bekletilip yavaşça soğutulmasıyla, oksijen yerleri doldurulur ve numuneye süperiletkenlik özelliği kazandırılır. Daha muntazam bir numune, sol-gel çökelmesiyle veya püskürterek kurutmakla elde edilmiş toz karışımından üretilerebilir. Daha yoğun bir numune elde etmek için, sinterleme boyunca sıcak izostatik presleme veya sinterlemeden önce soğuk izostatik presleme yapılır. Organik bir tutucu içinde tozların karıştırılmasından sonra, bu tozlar ister çubuk halinde, ister sarmal halde ve isterse de plakalar halinde olsun kurutma, sinterleme ve yeniden oksitleme işlemleri bunların hepsinde yapılmalıdır. Kalın filmler, ana fazı oluşturmak üzere kullanılan ilk organik malzemelerden, kaplama ve püskürtme yoluyla oluşturulabilir. Yukarıdaki üretim yöntemlerinin hepsinde, bizmutlu ve talyumlu bileşikler, itriyumlu materyallerden daha kolay işlenir ve özellikle de oksijen miktarına ve üretim şartlarına daha az bağlıdır (Hughes, 1988).

Seramik  $\text{YBaCuO}$  süperiletkeni genellikle tozların sinterlenmesiyle hazırlanmaktadır. Farklı sinterleme yöntemleriyle, farklı yoğunluklu ve gözenekli seramikler üretilir. Kritik akım yoğunluğu ve oksijen stokiyometrisi, seramiğin hacimce yoğunluğuyla ilişkilidir. Düşük yoğunluklu seramikte taneler arası temas zayıf olduğu için kritik akım yoğunluğu düşüktür. Diğer yandan, teorik yoğunluğa yakın yoğunluklu numunelerde, taneler içine oksijen difüzyonu engellendiği için kritik akım yoğunluğu yine düşüktür. Optimum yoğunluğun, teorik yoğunluğun %85'i ile %95'i arasında olduğu belirtilmektedir. (Cheng et al., 1988).

## 2.2. $\text{YBa}_2\text{Cu}_3\text{O}_7$ Süperiletkeninin Hazırlanması

İtriyuma dayalı süperiletken oksit bileşikler üç farklı kompozisyonda bulunmaktadır. Bunlardan elektriksel ve yapısal özellikleri bakımından en iyi olanı  $\text{YBa}_2\text{Cu}_3\text{O}_7$  bileşigidir. Bu bileşiği hazırlamak için, aşağıdaki bağıntı gereği  $\text{Y}_2\text{O}_3$ ,  $\text{BaCO}_3$  ve  $\text{CuO}$  tozlarından katıhal tepkime yöntemi ile başlangıç karışımı hazırlandı.



Başlangıç aşamasındaki bileşiklerin saflik dereceleri ve molekül ağırlıkları Çizelge 3'te verilmektedir.

**Çizelge 3.** Başlangıç aşamasındaki bileşiklerin saflik dereceleri ve molekül ağırlıkları

Bileşik	Saflik (%)	Molekül ağırlığı (gr)
$\text{Y}_2\text{O}_3$	99,99	225,81
$\text{BaCO}_3$	98	197,35
$\text{CuO}$	98	79,54

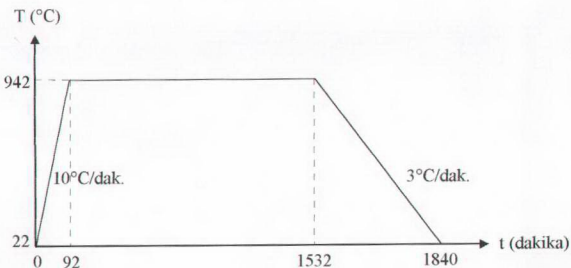
Bu kompozisyonu uygun olarak tارتılan tozlar, homojen bir karışım elde etmek için bir ögütücüde 7 saat süreyle karıştırıldı. Gri bir renk aldığı gözlenen toz karışımı, birinci kalsinasyon işlemi için bir alümina ( $\text{Al}_2\text{O}_3$ ) pota içinde oda sıcaklığındaki Euroterm 808 kontrol üniteli Lenton marka fırına (Şekil 9) konuldu. Fırın, oda sıcaklığından itibaren  $10^\circ\text{C}/\text{dak}$ . hızla  $942^\circ\text{C}$ 'ye kadar ısıtıldı ve 24 saat süreyle bu sıcaklıkta bekletildi. Daha sonra oda sıcaklığına kadar  $3^\circ\text{C}/\text{dak}$ . hızla soğutuldu (Şekil 10). Oda sıcaklığında fırından çıkarılan karışımın siyah renkli olduğu ve külçeleştiği gözlendi. Agat havanda iyice ezilen bu karışım, iki saat süreyle ögütüldü. Aynı şartlar altında ikinci kez kalsine edilen karışım, fırından çıkarıldıkten sonra dört saat süreyle tekrar ögütüldü. Elde edilen



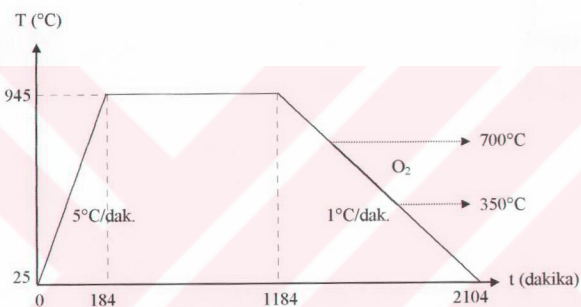
**Sekil 9.** Euroterm 808 kontrol ünitesi Lenton marka fırın

toz bileşik 375 MPa basınç altında yaklaşık 2 mm kalınlığında ve 13 mm çapında (yoğunluğu teorik yoğunluk olan  $6 \text{ gr/cm}^3$ 'ün %82'si civarında) tabletler halinde preslendi.

Sinterlenmek üzere alümina potaya yerleştirilen bu tabletler, oda sıcaklığındaki fırına konuldu. Fırın  $5^\circ\text{C}/\text{dak}$ . hızla  $945^\circ\text{C}$ 'ye çıkarıldı ve bu sıcaklıkta 1000 dakika bekletildikten sonra  $1^\circ\text{C}/\text{dak}$ . hızla oda sıcaklığına soğutuldu. Tablet'lere, soğutma işlemi sırasında,  $700^\circ\text{C}$  ile  $350^\circ\text{C}$  arasında oksijen verildi (Şekil 11). Sinterleme işlemi sonunda tabletlerin siyah renklerini korudukları gözlandı. Bu işlemler sonucunda, numunelerin başlangıçta 13 mm olan çaplarının yaklaşık olarak %5 azalarak 12,4 mm'ye düşürüyü gözlandı. Böylece hacimsel yoğunlıklarının, teorik yoğunluğun yaklaşık %90'ına ( $5,4 \text{ gr/cm}^3$ ) yükseldiği görüldü.



Şekil 10. Kalsinasyon işleminde sıcaklık profili



Şekil 11. Sinterleme işleminde sıcaklık profili

### 2.3. Demir ve Kobalt'ın YBa<sub>2</sub>Cu<sub>3</sub>O<sub>7</sub> Süperiletkenine Difüzyonu

Hazırlanan tabletlerin bir kısmı, üzerlerine demir buharlaştırılması amacıyla Şekil 12'de görülen Varian NRC 840 marka buharlaştırma ünitesinin vakum odacığındaki numune tutuculara yerleştirildi. Buharlaştırılacak demir de aynı üitedeki tantal kayıkçığı konuldu. Daha sonra vakum odacığı, 10<sup>-5</sup> torr civarına kadar vakumlandı. Tantal kayıkçığı yaklaşık 6 A'lık bir akım uygulandı ve kayıkçıkta bulunan demir, tabletlerin bir yüzeyine yaklaşık 1 µm kalınlığında bir tabaka halinde çökertildi. Demir çökertilmiş



**Şekil 12.** Varian NRC 840 marka buharlaştırma ünitesi

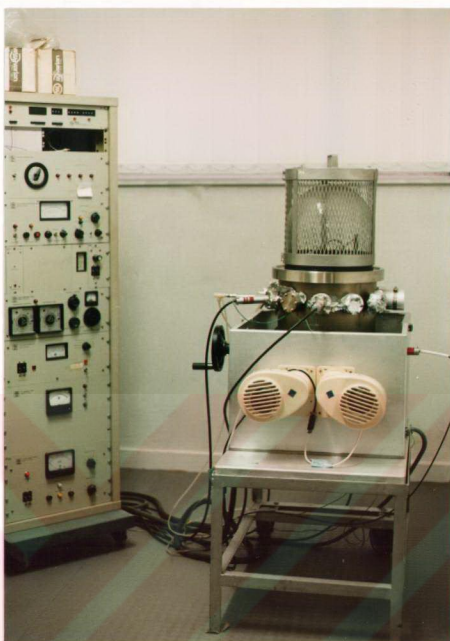
numune, tavlama ile difüzyona uğratılmak için Euroterm 818P kontrol ünitesi 120 cm uzunluğundaki Lenton marka yatay tüp fırına (Şekil 13) konuldu. Fırının sabit sıcaklık bölgesinin uzunluğu, 600-880°C sıcaklık aralığında, yaklaşık 6-8 cm'dir. Tablet, fırının sabit sıcaklık bölgesinin ortasına yerleştirildi ve numunenin sıcaklığını ölçmek için bir Pt-(Pt-%10Rh) termoçift tablete temas ettirildi. Bu deneylerde sıcaklık ölçümülerinin hassasiyeti  $\pm 2^\circ\text{C}$ 'dir. Tavlama işlemi çeşitli sürelerle (19-25 saat), 615°C ile 880°C arasındaki sıcaklıklarda, hava ortamında gerçekleştirildi. Kiyaslama amacıyla difüzyona uğramamış numuneler de, aynı şartlar altında tavlandı. Sabit sıcaklıkta bekletilen numuneleri, oda sıcaklığına doğru yavaş soğutmak için 5°C/dak. hızla ve hızlı soğutmak için yaklaşık olarak 1000°C/dak. hızla soğutuldular. Hızlı soğutma işlemi, yüksek sıcaklıkta bulunan numunenin fırından aniden çıkartılıp oda sıcaklığındaki bir bakır blok



**Şekil 13.** Euroterm 818P kontrol ünitesi Lenton marka fırın

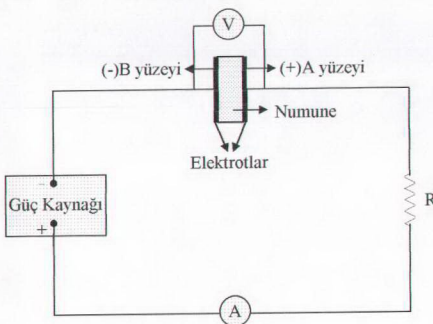
üzerine konulmasıyla gerçekleştirildi.

Varian NRC 840 sisteminde kullanılan metal potalar, kobalt ile reaksiyona girdikleri için, kobaltnın buharlaştırılması, Varian VT-411 marka ultra-yüksek vakum sistemi kullanılarak yapıldı (Şekil 14). Sistem, cam fanusuyla birlikte  $\sim 8 \times 10^{-7}$  torr'luk bir vakum değerine ulaşabilmektedir. Bu sistemde buharlaştırılacak malzeme, bir elektron tabancası ile bombardıman edilmekte ve potalar su ile soğutulmaktadır. Buharlaştırılacak malzeme, potaya konularak elektron tabancası çalıştırılır. Elektron kaynağı olarak kullanılan tungsten filamanla, pota arasına yaklaşık 4 kV'luk bir gerilim uygulanır. Böylece elektronların filamandan ayrılp buharlaştırılacak numuneye ulaşmaları sağlanır. Özel deneylerle (belirli bir miktar kobaltnın cam yüzeyine buharlaştırılması ve buharlaştırılan kobaltnın kütlesinin ölçülmesiyle), numunenin yüzeyindeki kobalt filminin kalınlığı belirlenmiş ve bu kalınlık yaklaşık 0,2  $\mu\text{m}$  olarak bulunmuştur. Termal difüzyon işlemleri için kobalt, numunenin sadece bir yüzüne, elektrodifüzyon için ise iki yüzüne buharlaştırıldı. Termal difüzyon için, kobalt buharlaştırılmış numune, fırına konularak 800°C'de 8 saat süreyle tavlama işlemine tabi tutuldu. Numune oda sıcaklığına 5°C/dak. hızla soğutuldu.



**Şekil 14.** Varian VT-411 marka ultra-yüksek vakum ünitesi

Elektrodifüzyon için her iki yüzüne de kobalt buharlaştırılmış numune, Şekil 15'te görülen düzeneğe yerleştirildi. Elektrotlar arasına sıkıştırılan numuneden 600 mA'lık doğru akım geçirildi. Numune yaklaşık  $40^{\circ}\text{C}$ 'de 72 saat elektrodifüzyon işlemine tabi tutuldu. Numuneden geçen akım yoğunluğu  $J=1,3 \text{ A/cm}^2$  ve elektrik alan şiddeti  $2,6 \text{ V/cm}^2$  dir.



**Şekil 15.** Kobaltnın elektrodifüzyonu için sistemin şematik gösterimi

#### 2.4. X-Işınları Kırınımı Ölçümleri

X-işınları kırınım desenlerinden yararlanarak bir malzemenin kristal yapısı hakkında bilgi edinilebilir ve örgü parametreleri hesaplanabilir.

Üretilen YBaCuO numunelerinin x-işınları kırınım desenleri Rigaku D/Max-IIIC difraktometresinde (Şekil 16) ölçüldü. Ölçümler esnasında difraktometredeki bakır hedefe 40 kV'luk gerilim ve 30 mA'lık akım uygulanarak elde edilen CuK<sub>a</sub> x-işınları kullanıldı.  $3^\circ \leq 2\theta \leq 70^\circ$  aralığı için  $3^\circ/\text{dak.}$  tarama hızı ve  $0,02^\circ$  örneklemme aralığı, YBaCuO süperiletken kristallerin yapısını karakterize eden (006), (020) ve (200) piklerinin bulunduğu bölge olan  $46^\circ \leq 2\theta \leq 48^\circ$  aralığı için de  $0,2^\circ/\text{dak.}$  tarama hızı ve  $0,004^\circ$  örneklemme aralığı seçildi.  $a$ ,  $b$ ,  $c$  örgü parametrelerini hesaplamak için,

$$\frac{I}{d^2} = \frac{h^2}{a^2} + \frac{k^2}{b^2} + \frac{l^2}{c^2} \quad (4)$$

bağıntısından faydalandı. Burada  $d$ , düzlemler arası mesafeyi,  $h$ ,  $k$ ,  $l$  ise örgü düzlemlerini göstermektedir. Bu deneylerde  $a$ ,  $b$ ,  $c$  örgü parametreleri  $\pm 0,004 \text{ \AA}$  hassasiyetle ölçüldü.



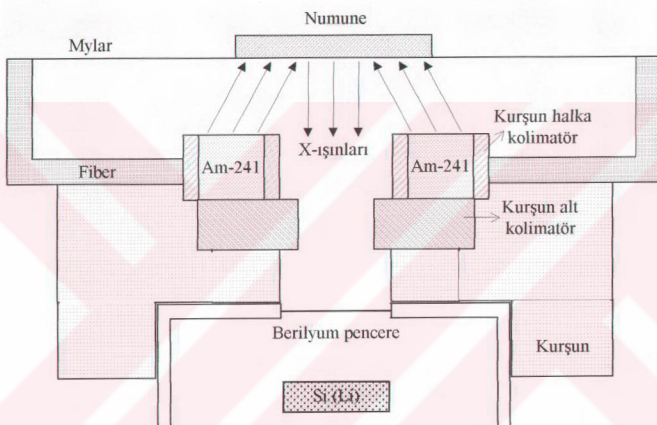
**Şekil 16.** Rigaku D/Max-IIIC marka x-işimi difraktometresi

## 2.5. X-Işınları Floresans Ölçümleri

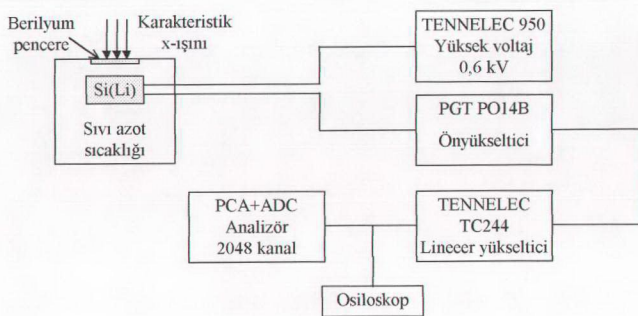
Karakteristik x-işınları, madde içindeki bir elementin herhangi bir atomunun iç yörüngे elektronlarının uyarılması sonucunda elde edilir. Bu uyarma sonucunda iç kabukların herhangi birisinde meydana gelen boşluğun, üst kabuklardaki elektronlardan biri tarafından doldurulması esnasında karakteristik x-işınları yayılır. Uyarma yoluyla elde edilen bu işınların enerjilerinin ölçülmesiyle, numune içerisindeki elementlerin nitel ve şiddetlerinin ölçülmesiyle de niceł tayini yapılır (Jenkins, 1988).

YBaCuO numunelerine demir ve kobaltın termal difüzyonu ve elektrodifüzyonu olaylarından sonra, demir ve kobalt atomlarının konsantrasyonları x-işınları floresans

yöntemiyle (EDXRF) tayin edildi. Demir ve kobalt atomlarının uyarılmasında 59,543 keV'lik fotonlar yayan Am-241 radyoaktif halka kaynağı (50 mCi) kullanıldı. Bu atomların  $K_{\alpha}$  x-ışını piklerinin şiddetinin ölçülmesinde, yarı maksimumdaki tam genişliği 147 eV olan Si(Li) dedektörü kullanıldı (Şekil 17). Ölçümlerin alındığı x-ışınları floresans sistemin blok diyagramı Şekil 18'de ve genel görünüşü Şekil 19'da verilmektedir (Çevik, 1994).



Şekil 17. X-ışınları floresans (EDXRF) ölçümleri için deney geometrisi.



Şekil 18. X-ışınları floresans ölçüm sisteminin blok diyagramı

Bu ölçümlerde demir ve kobalt difüz edilmiş YBaCuO numunesinin yüzeyinden her defasında ince filmler ( $\sim 10\text{-}20 \mu\text{m}$  kalınlığında) çıkarıldı. Her film çıkarmadan önce ve sonra numunedeki yayılanan  $\text{FeK}_\alpha$  ve  $\text{CoK}_\alpha$  karakteristik x-işini piklerinin şiddetleri ölçülerek bu işinlerin şiddetlerinde meydana gelen değişimler belirlendi. Kobalt ve demir atomlarının x-işını floresans spektrumundaki pik şiddetinden konsantrasyona



**Şekil 19.** X-işinleri floresans sisteminin genel görünüşü

geçmek için kalibrasyon işlemi yapıldı ve  $1 \text{ imp/s}^n$  nin  $3.10^{18}$  atom'a karşılık geldiği bulundu. Ölçümler sonucunda, numunenin kalınlığına göre, demir ve kobalt atomlarının konsantrasyonlarının değişim eğrilerinden YBaCuO numunesindeki demir ve kobalt atomlarının difüzyon katsayıları

$$N = N_0 \operatorname{erfc} \frac{x}{2\sqrt{Dt}} \quad (5)$$

formülü kullanılarak hesaplandı. Burada  $N$ ,  $x$  mesafesindeki konsantrasyon;  $N_0$ , yüzey konsantrasyonu;  $D$ , difüzyon katsayısı;  $t$ , difüzyon süresi ve  $erfc$  ise hata fonksiyonudur. Farklı sıcaklıkta demirin difüzyon katsayıları bulunduktan sonra, Arrhenius bağıntısı

$$D = D_0 \exp(-E_a/kT) \quad (6)$$

kullanılarak aktivasyon enerjileri ( $E_a$ ) belirlendi.

Demirin  $\text{YBaCuO}$  süperiletken numunesinde difüzyonu  $615\text{-}880^\circ\text{C}$  sıcaklık aralığında incelendi. Buharlaştırma işleminde karşılaşılan zorluklar nedeniyle kobaltın  $\text{YBaCuO}$  numunesinde difüzyonu sadece  $800^\circ\text{C}$ 'de gerçekleştirildi.

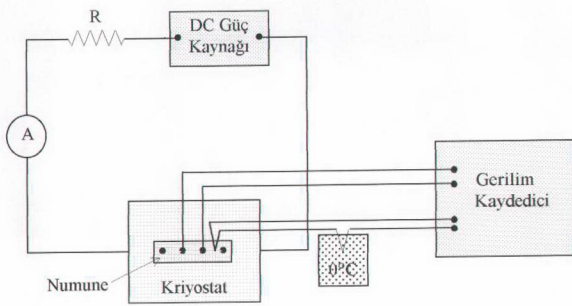
## 2.6. Elektriksel Özdirenç Ölçümleri

Süperiletken numunelerin karakteristik özelliklerinden en önemli kritik geçiş sıcaklığıdır. Bunun hakkında bilgi edinmenin bir yolu da elektriksel özdirenç ölçümüdür. Bu yolla numunenin süperiletken olup olmadığı, kritik geçiş sıcaklığı ( $T_c$ ), kritik geçişin başladığı ( $T_c^{on}$ ) ve bittiği ( $T_c^{off}$ ) sıcaklıklar belirlenebilir. Üretilen numunelerin elektriksel özdirençleri, Şekil 20'de görüldüğü gibi standart dört nokta yöntemi kullanılarak, Leybold-Heraeus HR1 model kriyostatta (Şekil 21)  $50\text{-}300\text{ K}$  sıcaklık aralığında ölçüldü.

Özdirenç değerleri,

$$\rho = \frac{V}{I} \frac{S}{l} \quad (5)$$

bağıntısı kullanılarak hesaplandı. Burada,  $V$  numunenin dış uçları arasındaki gerilim,  $I$  numuneye uygulanan akım,  $S$  numunenin kesit alanı ve  $l$  iç kontaklar arası mesafedir.



**Şekil 20.** Standart dört nokta yöntemi ile özdirenç ölçüm düzeneğinin şematik gösterimi

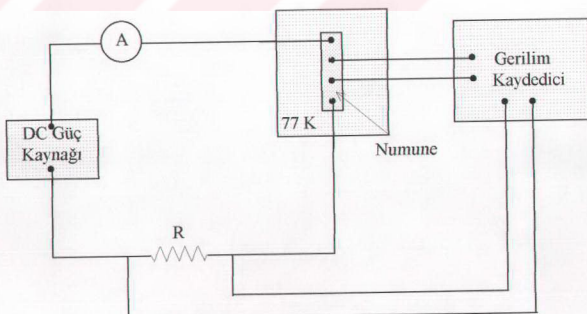


**Şekil 21.** Leybold-Heraeus HR1 model kapalı devre düşük sıcaklık kriyostatı

## 2.7. Kritik Akım Yoğunluğu Ölçümleri

Süperiletkenlerin mikroyapısına önemli ölçüde bağlı olan kritik akım yoğunluğu ( $J_c$ ), süperiletkenliğin teorisi ve pratik uygulamaları için oldukça önemlidir. Bu çalışmada kritik akım yoğunluğu ölçümleri, sıvı azot sıcaklığında (77 K) standart DC dört nokta yöntemi kullanılarak Şekil 22'de gösterilen düzenekte ölçüldü. Güç kaynağından gelen akımın 1,4 Ω'luk sabit direnç (R) üzerinde oluşturduğu gerilim ile bu akımın numune üzerinde oluşturduğu gerilim bir kaydediciye aktarlarak kritik akım yoğunluğu belirlendi.

Numune, sıvı azot sıcaklığında süperiletken durumda iken üzerinden geçen akım süperiletkenliği bozacak kadar büyük değerlere sahip değilse iç uçlar arasındaki gerilim sıfır olacaktır. Akım, numuneyi süperiletken halden normal hale dönüştürunceye kadar artırıldığında, iç uçlar arasında bir gerilim gözlenecektir. Bu gerilime karşılık gelen akım, kritik akım ( $I_c$ ) olarak adlandırılır. Kritik akım yoğunluğu, numunenin iç uçları arasında yaklaşık  $2 \mu\text{V}$ 'luk voltaj düşmesinin gözlemediği andaki akım değerinin, numunenin kesit alanına bölünmesiyle hesaplandı. Kritik akım yoğunluğu  $\pm 1 \text{ A/cm}^2$  hassasiyetle ölçüldü.



**Şekil 22.** Kritik akım yoğunluğu ölçüm düzeneği

## 2.8. Taramalı Elektron Mikroskopu Ölçümleri

Süperiletkenlerin yapısal özellikleri ve özellikle de süperiletkenliği sağlayan mekanizma, bu konuya uğraşanların dikkatini çekmiştir. Üretilen numunelerin mikroyapıları ve numunenin yüzeyinde (taneler arasında) oluşturabilecek yeni fazlar hakkında bilgi edinmek için JEOL JSM 6400 (Şekil 23) model taramalı elektron mikroskopu (SEM) ile numunelerin mikrofotoğrafları çekildi. Büyütme oranları 500 ile 1000 olarak seçildi. Numunelerin yüzeyinde oluşan (gözeneklerde) yeni fazların kompozisyonu hakkında bilgi bu sistemde mevcut olan x-ışımı spektrometresi (EDX) ile incelendi.



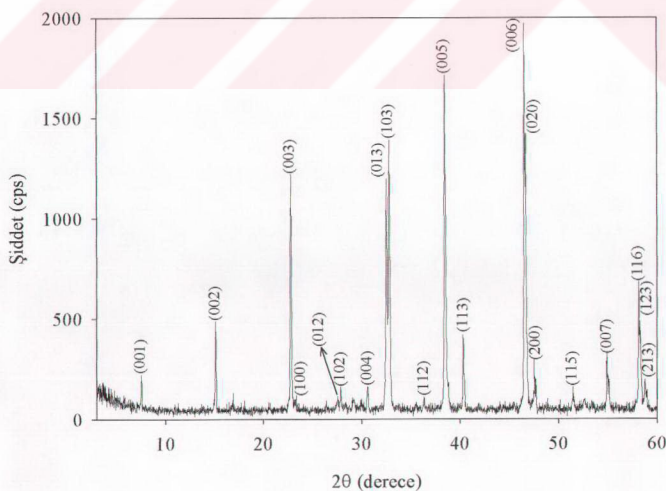
Şekil 23. Taramalı elektron mikroskopu

### 3. BULGULAR ve TARTIŞMALAR

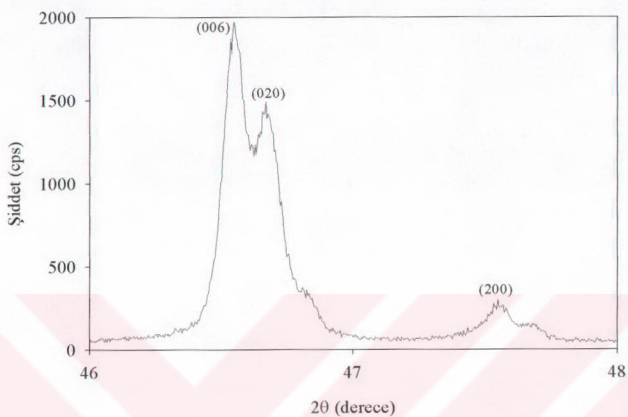
#### 3.1. Demir Difüzyonunun $\text{YBa}_2\text{Cu}_3\text{O}_7$ Süperiletkeninin Yapısal ve Elektriksel Özelliklerine Etkisi

##### 3.1.1. Temiz Numunelerin Yapısal ve Elektriksel Özellikleri

Katıhal tepkime yöntemiyle hazırlanan katkılanmamış  $\text{YBaCuO}$  süperiletken numunesinin x-işınları kırınım desenleri,  $3^\circ \leq 2\theta \leq 60^\circ$  aralığı için Şekil 24'te ve  $46^\circ \leq 2\theta \leq 48^\circ$  aralığı için Şekil 25'te gösterildi. Bu desende görülen pikler  $\text{YBaCuO}$  süperiletkeninin ortorombik yapısına uygundur ve örgü parametreleri olarak  $a=3,822 \text{ \AA}$ ,  $b=3,888 \text{ \AA}$ ,  $c=11,699 \text{ \AA}$  değerleri hesaplandı.

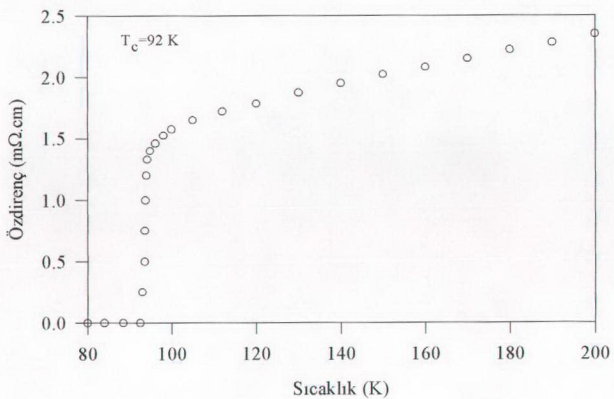


Şekil 24. Temiz  $\text{YBaCuO}$  numunesinin  $3^\circ \leq 2\theta \leq 60^\circ$  aralığı için x-işınları kırınım deseni



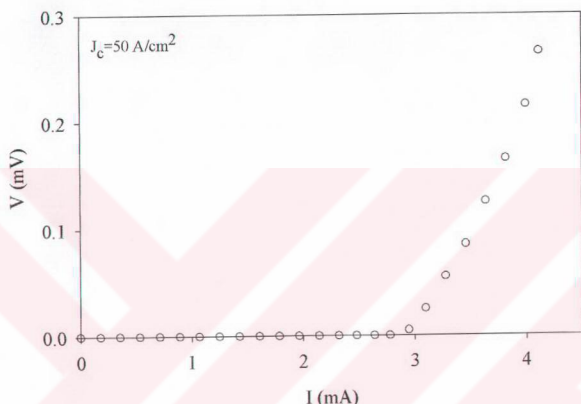
**Şekil 25.** Temiz YBaCuO numunesinin  $46^\circ \leq 2\theta \leq 48^\circ$  aralığı için x-işınları kırınlım deseni

YBaCuO süperiletken numunesinin özdirencinin sıcaklıkla değişimi Şekil 26'da gösterilmektedir. Bu numunenin kritik sıcaklığı 92 K'dır.



**Şekil 26.** YBaCuO süperiletken numunesinin özdirencinin sıcaklıkla değişimi

Temiz numunenin kritik akım yoğunluğu ise  $50 \text{ A/cm}^2$  olarak gözlendi (Şekil 27). Bu sonuçlar daha önce bu konuda yapılan çalışmalar ile iyi bir uyum içindedir (Kikuchi et al., 1987; Murakami, 1992).

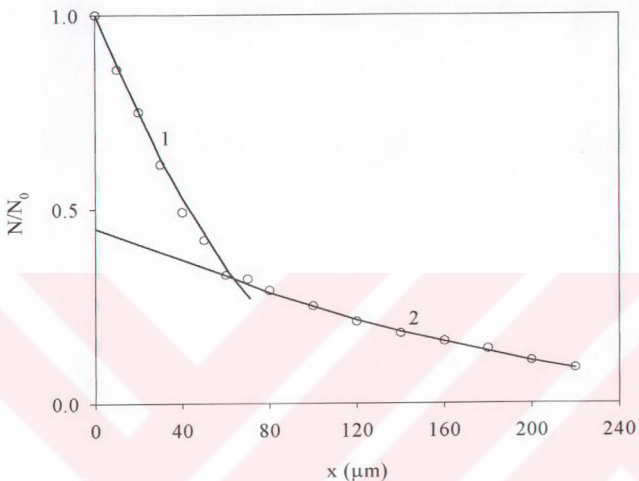


Şekil 27. Temiz numunenin kritik akım yoğunluğu

### 3.1.2. Demirin $\text{YBa}_2\text{Cu}_3\text{O}_7$ Süperiletkeninde Difüzyonu

Demirin  $\text{YBaCuO}$ 'da difüzyonu  $615, 700, 810, 880^\circ\text{C}$ 'de enerji ayırmalı x-işınları floresans yöntemiyle (EDXRF) incelendi. Şekil 28, demir difüzyonuna maruz bırakılan numunede, demir konsantrasyonunun yüzeyden itibaren uzaklığın fonksiyonu olarak değişimini ( $880^\circ\text{C}$ 'de 19 saat) göstermektedir. 1 ve 2 nolu eğriler, yarı-sonlu bir katı içinde sabit bir kaynaktan itibaren safsızlık difüzyonunun hesaplanmış konsantrasyon profilini temsil etmektedir (Abdullaev and Dzhafarov, 1987):

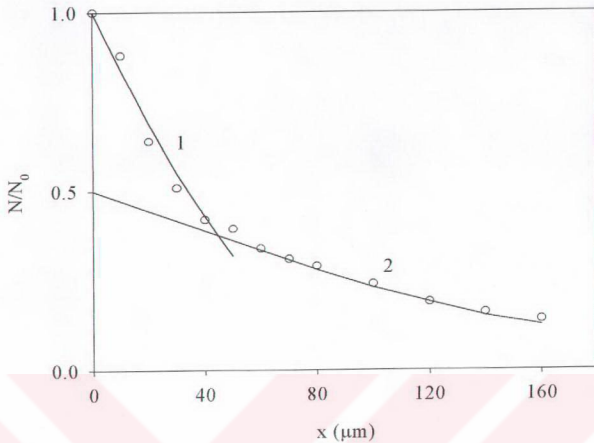
$$N(x,t) = N_0 \left( 1 - \operatorname{erf} \frac{x}{2\sqrt{Dt}} \right) \quad (6)$$



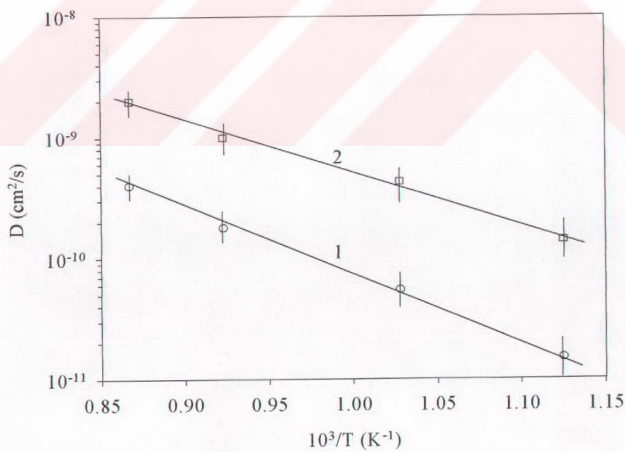
**Şekil 28.** Demirin YBaCuO numunesinde yüzeyden itibaren konsantrasyon dağılımı (880°C, 19 saat)

Burada,  $N_0=N(0,t)$  numunenin yüzeyindeki sabit konsantrasyon,  $N(x,t)$  ise  $x$  derinliğindeki safsızlık konsantrasyonudur. Şekil 28'deki deneyel veriler teorik iki konsantrasyon dağılımlarıyla yeter derecede uyışmaktadır: numunenin yüzeyine yakın bölgeler için 1 eğrisi ( $x=0-70 \mu\text{m}$ ) ve numunenin iç bölgeleri için 2 eğrisi ( $x=70-220 \mu\text{m}$ ). Bu bölgeler için difüzyon katsayıları sırasıyla  $D_1=4\times 10^{-10} \text{ cm}^2/\text{s}$  ve  $D_2=2\times 10^{-9} \text{ cm}^2/\text{s}$  olarak bulundu. Bu iki farklı bölgeli karakter, diğer difüzyon sıcaklıkları için de gözlandı. Şekil 29, demirin, YBaCuO numunesinde 810°C'deki konsantrasyon dağılımını göstermektedir. Demirin yüzey konsantrasyonu 615-880°C sıcaklık aralığında  $4\times 10^{19} \text{ cm}^{-3}$ ten  $1\times 10^{20} \text{ cm}^{-3}$ 'e kadar değişmektedir.

615-880°C sıcaklık aralığında demirin difüzyon katsayıları  $D_1$  ve  $D_2$ 'nin, sıcaklık bağımlılıkları (Şekil 30) aşağıdaki bağıntılarla tanımlanmaktadır:



**Şekil 29.** Demirin  $\text{YBaCuO}$  numunesinde yüzeyden itibaren konsantrasyon dağılımı ( $810^\circ\text{C}$ , 24 saat)



**Şekil 30.**  $\text{YBaCuO}$ 'nun yüzeye yakın bölgesinde (1) ve iç bölgesinde (2) demirin difüzyon katsayısının sıcaklık bağımlılığı

$$D_1=1,5 \times 10^{-4} \exp[-(1,25 \pm 0,10)/kT] \quad (7)$$

$$D_2=1,8 \times 10^{-5} \exp[-(0,90 \pm 0,10)/kT] . \quad (8)$$

Şekil 30'da her noktadaki düşey çizgiler hata çubuklarıdır. Katılardaki katkı konsantrasyonu ve difüzyon girme derinliğinin, sıcaklık düştükçe azaldığı (belli bir difüzyon süresinde) bilinmektedir. Yapılan bu çalışmada, numunedeki katkı konsantrasyonunun tayinindeki hata dolayısıyla, katkıının difüzyon katsayılarındaki hata, 880°C'den 615°C'ye kadar difüzyon sıcaklığının azalmasıyla %30'dan %50'ye kadar artmaktadır.

YBaCuO polikristal seramik süperiletkenlerde, katkı difüzyonu eşzamanlı olarak tane sınırlarında ve tane içinde vuku bulmaktadır (Dzhafarov et al., 1995; Gafarov et al., 1990). Bundan dolayı hızlı demir difüzyonu ( $D_2$ ) tane sınırlarına, gözeneklere ve diğer kusurlara olan taşınmaya ilgili olabilir. YBaCuO'de demirin yavaş difüzyonu ( $D_1$ ) ise tane içi taşınmaya oluşturulabilir.

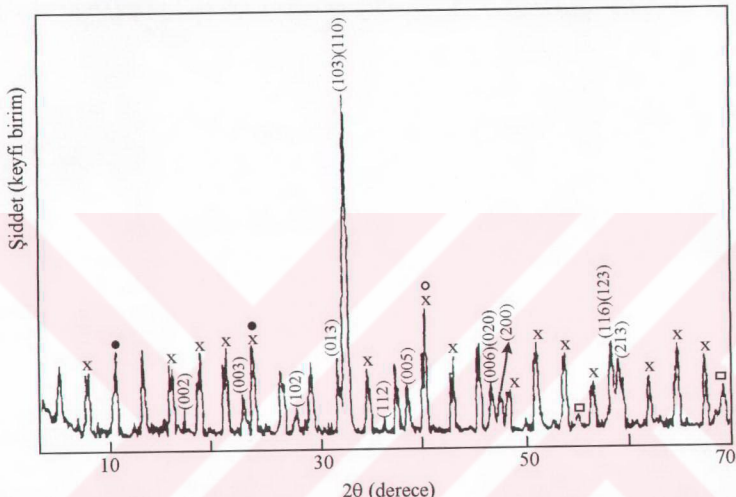
Böylece, demirin YBaCuO süperiletken numunesinde gerçekleşen difüzyonu, iki difüzyon katsayısı  $D_1$  (aktivasyon enerjisi 1,25 eV) ve  $D_2$  (aktivasyon enerjisi 0,90 eV) ile ifade edilebilir; bu iki çeşit difüzyon, sırasıyla demir atomlarının tane içlerine ve tane aralarına doğru hareketleriyle açıklanabilir.

### **3.1.3. Soğutma Hızlarının Demir Katkınlı $\text{YBa}_2\text{Cu}_3\text{O}_7$ Süperiletken Numunesinin Yapısal Özelliklerine Etkisi**

Demir katkınlı YBaCuO numunesinde soğutma hızının bu numunenin kristal yapısı ve mikroyapısı üzerine etkisi incelendi. Bunun için ince bir demir tabakası, YBaCuO tabletinin bir yüzüne buharlaştırıldı ve 700-900°C sıcaklık aralığında hava ortamında demirin difüzyonu gerçekleştirildi. Sabit sıcaklıkta numunenin difüzyon tavlamasından sonra, tabletlerin bazıları 5°C/dak. hızla soğutuldu (yavaş soğutulmuş numune), diğer tabletler ise yaklaşık olarak 1000°C/dak. hızla ani olarak soğutuldu (hızlı soğutulmuş numune). Bir numunenin her iki yüzeyinden (demir katkınlı yüzey ve

katkılanmamış yüzey) ard arda ince film tabakaları çıkarılarak her defasında x-işinleri kırınım deseni ve taramalı elektron mikroskopu (SEM) ölçümleri gerçekleştirildi.

Şekil 31, 860°C'de 24 saat difüzyon tavlamasına uğratıldıktan sonra hızlı soğutulan numunenin demirli yüzeyinden 50  $\mu\text{m}$ 'lik bir film tabakasının çıkarılmış olması sonucunda elde edilen x-işinleri kırınım desenini göstermektedir.



**Şekil 31.** Demir katkılanmış YBaCuO (hızlı soğutulmuş) için x-işinleri kırınım deseni. (x)  $\text{Fe}_2\text{O}_3$ , (●)  $\text{Fe}_3\text{O}_4$ , (o)  $\text{FeO}$  ve (□)  $\text{BaO}$

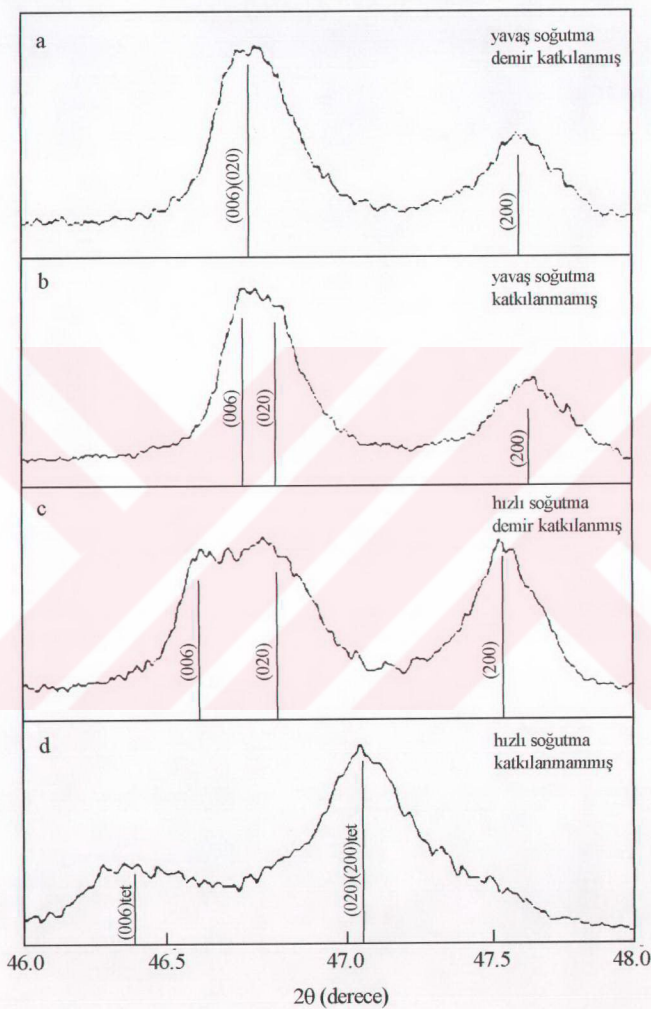
Bu kırınım deseninin esas özelliği, YBaCuO ortorombik simetrisinin sebep olduğu piklerin ve diğer pik serilerinin de gözlenmesidir. Kiyaslama için, aynı ıslı şartlarda tavlanmış (hızlı ve yavaş soğutma hızlarında 24 saat 860°C'de) saf demir tabletlerinin x-işinleri kırınım ölçümleri göstermiştir ki Şekil 31'deki ilave piklerin çoğu esasen demir oksitlerin  $\gamma$ - $\text{Fe}_2\text{O}_3$  piklerinden kaynaklanmaktadır ( $\gamma$ - $\text{Fe}_2\text{O}_3$  kübik,  $a=8,351$  Å,  $\gamma$ - $\text{Fe}_2\text{O}_3$  tetragonal,  $a=8,338$  Å ve  $c=25,010$  Å;  $\alpha$ - $\text{Fe}_2\text{O}_3$  rombohedral,  $a=5,423$  Å ve  $\alpha=55^\circ47'$ ;  $\text{FeO}$  kübik,  $a=4,305$  Å;  $\text{Fe}_3\text{O}_4$  kübik,  $a=8,797$  Å). Bunun yanında  $\text{BaO}$  pikleri de gözlenmiştir. Birkaç pik de indislenmemiştir. Demir oksit piklerinin şiddetleri, numunelerden tabakaların ard arda çıkarılmasıyla azalmaktadır ve yaklaşık 200  $\mu\text{m}$

kalınlık numuneden çıkarıldıktan sonra kaybolmaktadır. Benzer x-işinleri kırınım desenleri, yavaş soğutmaya maruz bırakılmış YBaCuO numunesinin demir katkılanmış yüzeyinde de elde edildi.

Şekil 31'e benzer x-işinleri kırınım deseni, yeniden üretilen demir katkılanmış numunelerde gözlandı. Bir numunedede demir oksit piklerinin gözlenmesi, büyük oksijen çekiciliğine (afinitesine) sahip olan demirin difüzyonunda alışılmış bir olaydır. 600-800°C gibi yüksek sıcaklıklarda, numuneye yapılan demir difüzyonunda, gözeneklerde ve tane içlerinde demir oksit fazlarının oluşumu birlikte gerçekleşmektedir. Böylece demir oksit fazlarına ait pikler de, demir katkılanmış numunenin x-işinleri kırınım desenlerinde ortaya çıkmaktadır.

Şekil 32, hava ortamında 24 saat 860°C'de demir difüzyonuna maruz bırakılmış iki numunenin (yalnızca her iki numunenin de bir yüzü demir difüzyonuna maruz bırakılmış) x-işinleri kırınım desenlerini, (006), (020) ve (200) piklerinin bulunduğu bölgeleri ( $2\theta=46-48^\circ$ ) göstermektedir. Şekil 32a ve 32b yavaş soğutmaya, Şekil 32c ve 32d hızlı soğutmaya karşılık gelmektedir. Yaklaşık 50  $\mu\text{m}$  kalınlığında bir tabaka difüzyondan sonra numunenin her iki yüzeyinden de çıkarıldı. Yavaş soğutulmuş numunenin her iki yüzeyinin de (demir katkılanmış ve katkılanmamış) kristal yapısı Çizelge 4'te verilen örgü parametrelerine sahip ortorombik simetride kaldı (Şekil 32a ve Şekil 32b). Bu numunenin demir katkılanmış yüzeyinin kristal yapısı, (020) ve (200) piklerinin maksimum ayrimı  $b-a=0,0672 \text{ \AA}$  olmak üzere ortorombiktir (Şekil 32a ve Çizelge 4). Yavaş soğutulmuş numunenin katkılanmamış yüzeyi için (020) ve (200) piklerinin ayrimı ise  $b-a=0,0608 \text{ \AA}$  olup, demir difüzyonu yapılmış yüzeyinkinden biraz daha azdır (Şekil 32b ve Çizelge 4).

Hızlı soğutulmuş numunenin demir katkılanmış yüzeyinde (Şekil 32c) ortorombik yapı korundu. Fakat (020) ve (200) pikleri arasındaki ortorombik ayrim, yavaş soğutulmuş numuneye kıyaslandığında küçüldü ( $b-a=0,0548 \text{ \AA}$ ). Bu durum ve (200) pikinin şiddetinin büyümesi, YBaCuO numunesinin demir katkılanmış yüzeyinde tetragonal fazın varlığıyla ilişkili olabilir. Hızlı soğutulmuş numunenin katkılanmamış yüzeyinin kristal yapısı ise tetragonal faza dönüştü (Şekil 32d ve Çizelge 4). Böylece hızlı soğutmalı demir difüzyonu, katkılanmış yüzeyde ortorombik yapıyı korumaya özen gösterir.



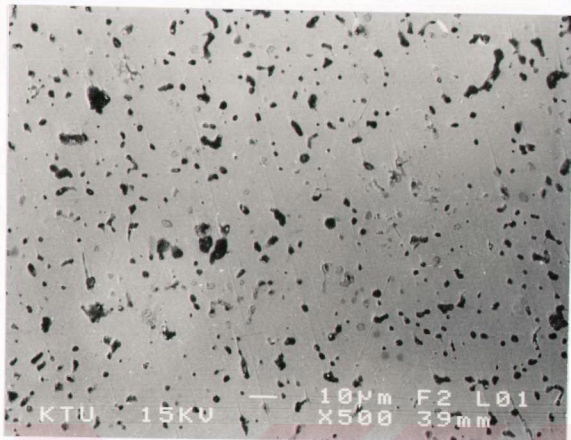
**Şekil 32.** Yavaş soğutulmuş (a, b) ve hızlı soğutulmuş (c, d) YBaCuO için x-ışınları kırımlı desenleri (a ve c demir katkılanmış yüzeyleri, b ve d katkılanmamış yüzeyleri göstermektedir)

**Çizelge 4.** Hızlı ve yavaş soğutmayla bir yüzeyi demir difüzyonuna maruz bırakılmış (24 saat 860°C'de) YBaCuO numunesinin örgü parametreleri

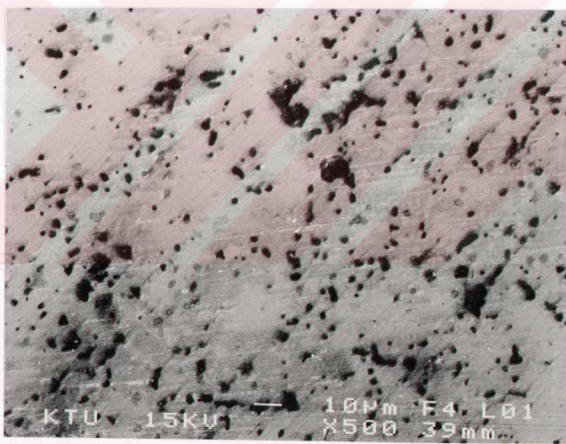
Soğutma şartları	Numune yüzeyi	<i>a</i> (Å)	<i>b</i> (Å)	<i>c</i> (Å)	<i>b-a</i> (Å)
yavaş soğutma	demir katkılanmış	3,8164	3,8836	11,6508	0,0672
yavaş soğutma	katkılanmamış	3,8152	3,8760	11,6556	0,0608
hızlı soğutma	demir katkılanmış	3,8210	3,8758	11,6934	0,0548
hızlı soğutma	katkılanmamış	3,8562		11,7426	

### **3.1.4. Demir ile katkılanmış YBa<sub>2</sub>Cu<sub>3</sub>O<sub>7</sub> Süperiletken Numunesinin Taramalı Elektron Mikroskopu (SEM) Yöntemiyle İncelenmesi**

Şekil 33, hızlı soğutmayla 24 saat 860°C'de demir difüzyonuna maruz bırakılan (yalnızca numunenin bir yüzeyi) YBaCuO süperiletken numunesinin (a) demir difüzyonu yapılmış yüzeyinden ve (b) aynı numunenin arka (temiz) yüzeyinden alınan taramalı elektron mikrofotoğrafları (SEM) görülmektedir. Difüzyondan sonra numunenin her iki yüzeyinden de yaklaşık 10  $\mu\text{m}$  kalınlığında film çıkarıldı. Numunenin arka yüzeyinden alınan mikrofotoğraftan (Şekil 33b), numunenin gözenekli bir yapıda olduğu görülmektedir. Bu gözeneklerde, yalıtkan faz olan BaCuO<sub>2</sub> bulunmaktadır. Bu faz çok yumuşak olduğundan, parlatma sırasında bulunduğu bölgelerden koparılıp gözenekler oluşmuştur. Şekil 33a'da demir difüzyonu yapılmış numune, daha az ve daha küçük hacimli gözeneklere sahiptir. Buradan, demir atomlarının çoğulukla gözeneklere difüz ettiği sonucu çıkarılabilir. Gözeneklerin az olması sonucu numunenin kütlesel yoğunluğunun artmasından dolayı, süperiletken fazların temasının daha iyi olduğu düşünülmektedir. Bilindiği gibi, taneler arası temasın iyi olması, numunenin kritik akım yoğunluğunun yükselmesine neden olur. Fakat, numuneye demir difüzyon edildiği için, kritik akım yoğunluğu bir miktar düşmüştür. Literatürde, demirin YBaCuO numunesine katkılarının veya difüzyonunun süperiletken özellikler üzerinde iyi bir etki yapmadığı bilinmektedir.



(a)

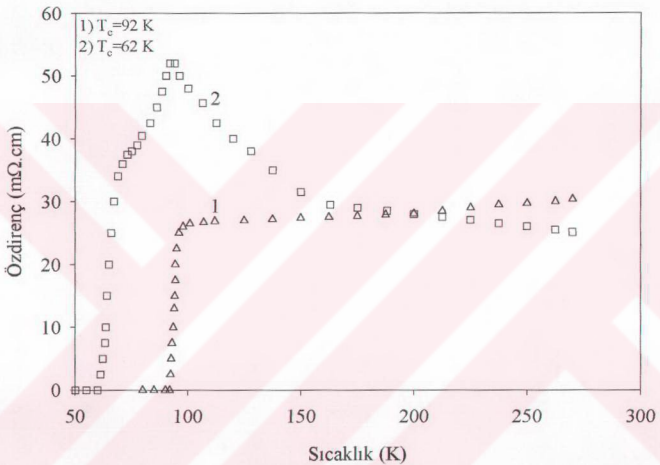


(b)

**Sekil 33.** Demir difüzyonu yapılmış ( $860^{\circ}\text{C}$ , 24 saat,) YBaCuO numunesinin  
(a) demir katkılanmış ve (b) katkılanmamış yüzeyinin taramalı  
elektron mikroskopu (SEM) mikrofotoğrafları ( $\times 500$ )

### 3.1.5. Demir Difüzyonunun $\text{YBa}_2\text{Cu}_3\text{O}_7$ Süperiletken Numunesinin Kritik Sıcaklığıma ve Kritik Akım Yoğunluğuna Etkisi

Özdirenç-sıcaklık ölçümleri yaklaşık 0,4 ve 0,5 mm kalınlığında plaka biçimindeki bir numunenin yüzeyinde gerçekleştirildi (Şekil 34). Difüzyon sıcaklığı, difüzyon zamanı ve difüzyon uzunluğu sırasıyla  $T=860^\circ\text{C}$ ,  $t=96$  saat ve  $L_d=0,5$  mm'dır.

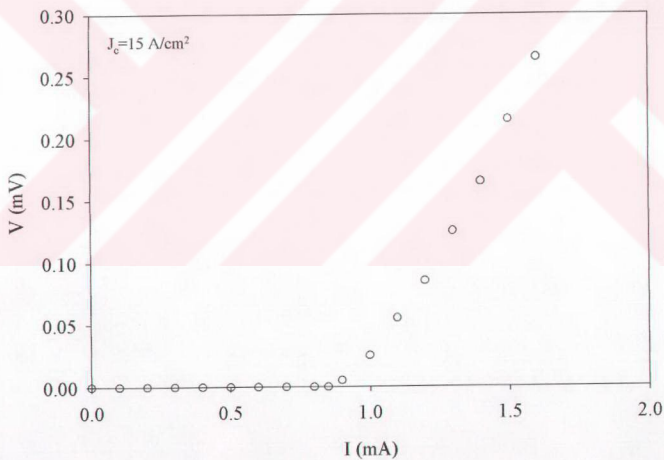


**Şekil 34.** Demir difüzyonuna maruz bırakılmış yavaş soğutulmuş (1, özdirenç $\times 10$ ) ve hızlı soğutulmuş (2) numunenin sıcaklığın fonksiyonu olarak özdirenç değişimi

Şekil 34, demir katkılanmış numunenin ( $T=860^\circ\text{C}$ ,  $t=96$  saat) sıcaklığın fonksiyonu olarak özdirencindeki değişmeyi göstermektedir. 1 eğrisi yavaş soğutulmuş ve 2 eğrisi hızlı soğutulmuş numuneye karşılık gelmektedir. Demir katkılararak yavaş soğutulmuş numune için özdirencin sıcaklık bağımlılığı,  $T_c=92$  K ( $\rho=0$ ) geçiş sıcaklığıyla, 100 K sıcaklıktan sonra metalik bir karakter sergilemektedir. Hızlı soğutulmuş numune için özdirenç-sıcaklık eğrisi, normal durumda yarıiletken bir davranış gösterir; 95-270 K

sıcaklık bölgesinde sıcaklığın azalmasıyla özdirenç artar. Bu, bakırın yerine demirin yerleşmesi durumunda elektronların yerelleşmesi sonucu olabilir (Zhang et al., 1990). Hızlı soğutulmuş numunenin kritik sıcaklığı  $T_c=62$  K'dır ( $\rho=0$ ). Üstelik bu numune, ortorombik ve tetragonal fazların karışımından kaynaklanan ve yaklaşık  $T=71$  K'de (Şekil 34, eğri 2) görülen bir basamak karakterine de sahiptir. Böylece, yavaş soğutulmuş demir difüzyonlu numunenin kritik sıcaklık değerinde önemli bir değişikliğin olmadığı görülür.

Yavaş soğutma altında demir difüzyonuna maruz bırakılan numunenin kritik akım yoğunluğu  $50\text{ A/cm}^2$ 'den  $15\text{ A/cm}^2$ 'ye azalmıştır (Şekil 35). Kritik akım yoğunlığundaki bu azalma, numunenin gözeneklerine ve tane sınırlarına yerleşen demir oksitlerin varlığından dolayıdır.



**Şekil 35.** Yavaş soğutma altında demir difüzyonuna maruz bırakılan YBaCuO numunesinin kritik akım yoğunluğu

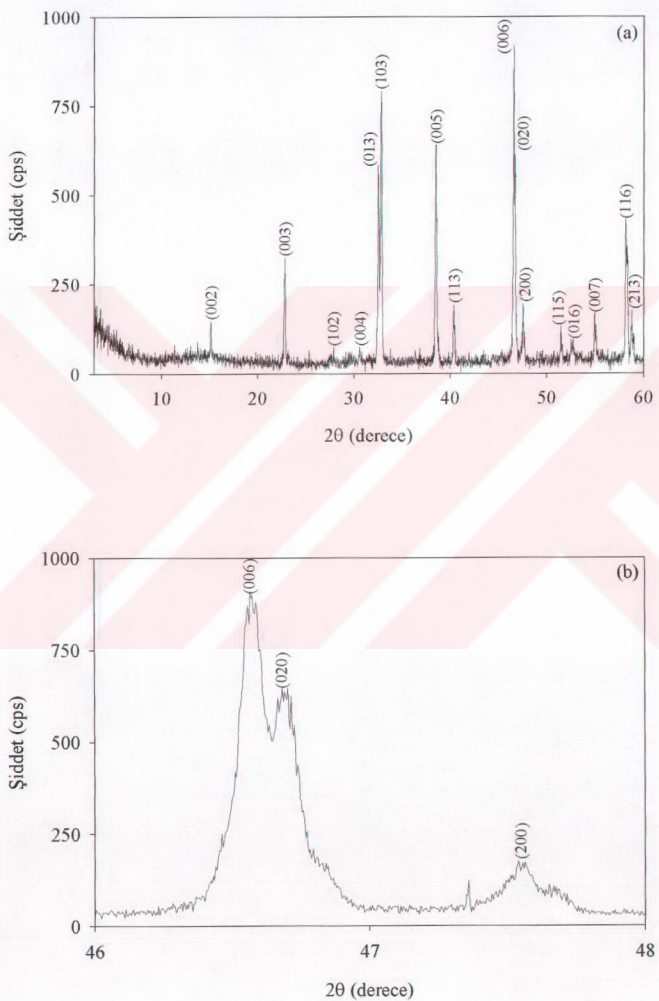
### **3.2. Kobalt Difüzyonunun $\text{YBa}_2\text{Cu}_3\text{O}_7$ Süperiletkeninin Yapısal ve Elektriksel Özelliklerine Etkisi**

Bu bölümde, kobaltın  $800^\circ\text{C}$ 'de 8 saat  $\text{YBaCuO}$  süperiletkenine difüzyonunun, süperiletkenin kristal yapısına, yüzey morfolojisine, kritik sıcaklık ve kritik akım yoğunluğuna etkileri incelendi. Bundan başka kobaltın, elektrik alanında difüzyonu da ölçüldü ve ilk defa kobaltın elektrik yükü hakkında bilgi edinildi.

#### **3.2.1. Katkılanmamış Numunenin Yapısal ve Elektriksel Karakteristikleri**

Öncelikle temiz numunelerin (kobalt difüz edilmemiş) örgü yapısı, yüzey morfolojisi, kritik sıcaklık ve kritik akım yoğunluğu incelendi. Temiz numunelerin  $2\theta=3-60^\circ$  aralığındaki x-işinleri kırınım desenleri ve daha düşük tarama hızıyla (yani daha büyük ayırmaya gücüyle)  $2\theta=46-48^\circ$  bölgesinin x-işinleri kırınım desenleri sırasıyla Şekil 36a ve 36b'de gösterilmektedir. Şekil 36b'de görülen üç pik ((006), (020) ve (200))  $\text{YBaCuO}$  süperiletkenin ortorombik kristal yapısını karakterize eder. Temiz numunenin x-işinleri kırınım deseninde (Şekil 36a) sadece  $\text{YBaCuO}$  ortorombik kristal yapısına ait pikler görüldü. Şekil 36b'deki karakteristik piklerden hesaplanan örgü parametreleri  $a=3,822 \text{ \AA}$ ,  $b=3,887 \text{ \AA}$  ve  $c=11,693 \text{ \AA}$ 'dur. Bu değerler kullanılarak hesaplanan ortorombik biçim bozulması  $\Delta = \frac{2(b-a)}{(b+a)} = 0.017$  olarak hesaplandı. Bu pik profili kesim 3.1.1'de anlatılan temiz numuneye ait pik profili ile iyi bir uyum içindedir.

Bu numunelerin yüzey morfolojisi ve yüzey kompozisyonu taramalı elektron mikroskopu (SEM) yöntemiyle araştırıldı. Şekil 37'de temiz numunenin yüzeyinin taramalı elektron mikroskopu yöntemiyle elde edilmiş mikrofotoğrafları ( $\times 500$ ) verilmiştir. Bu mikrofotoğrafların incelenmesinden yüzey yapısında tanelerin sıklığı (beyaz bölgeler) ve aynı zamanda ortalama tane büyülüğünün ise  $40-50 \mu\text{m}$  civarında olduğu gözlendi. Yoğunluk ölçümü de göstermiştir ki elde edilmiş temiz numunelerin



**Şekil 36.** Temiz YBaCuO numunesinin (a)  $3^\circ \leq 2\theta \leq 60^\circ$  aralığı için ve (b)  $46^\circ \leq 2\theta \leq 48^\circ$  aralığı için x-işinleri kırımlı deseni

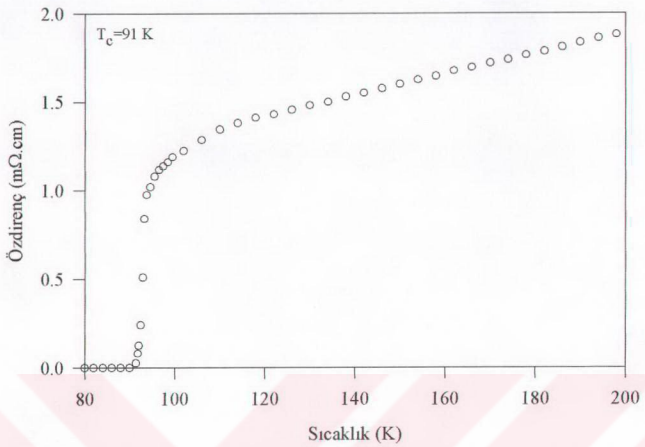
yoğunluğu yaklaşık  $5,35\text{-}5,45 \text{ gr/cm}^3$ 'tür. Yani bu numunelerin gözeneklikleri %10-15 civarındadır.

Temiz numunenin özdirencinin sıcaklıkla değişimi Şekil 38'de verilmektedir. Kritik sıcaklık 91 K'dır ve bu geçiş sıcaklığının etrafında özdirencin sıcaklıkla değişimi oldukça keskindir ( $\Delta T \approx 2,5\text{-}3 \text{ K}$ ). Bu dar sıcaklık geçiş bölgesi, temiz numunenin iyi süperiletkenlik özelliğini karakterize eder. Oda sıcaklığından geçiş bölgesine kadar olan aralıkta (300-100 K) numunenin özdirenci sıcaklıkla lineer olarak küçülür. Bu da numunenin bu bölgede metalik bir davranış gösterdiğini ifade eder.

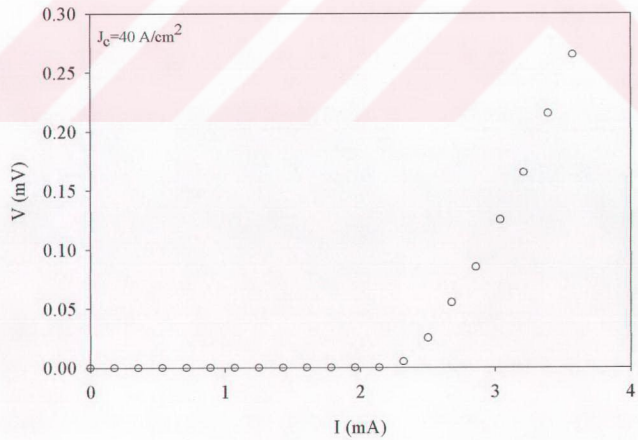


**Şekil 37.** Temiz YBaCuO numunesinin yüzeyinin taramalı elektron mikroskopu (SEM) mikrofotoğrafi

Şekil 39'da, sıvı azot sıcaklığında ( $T=77 \text{ K}$ ) temiz numunenin akım-gerilim karakteristiği verilmektedir. Bu numunenin kritik akım yoğunluğu  $J_c=40 \text{ A/cm}^2$ dir. İncelenen diğer temiz numunelerde de kritik akım yoğunluğu  $30\text{-}40 \text{ A/cm}^2$  arasında değişmektedir. Bu değerler demir difüzyonu için hazırlanan numunelerin kritik akım yoğunluğu ( $J_c=40\text{-}50 \text{ A/cm}^2$ ) ile iyi bir uyum içindedir.



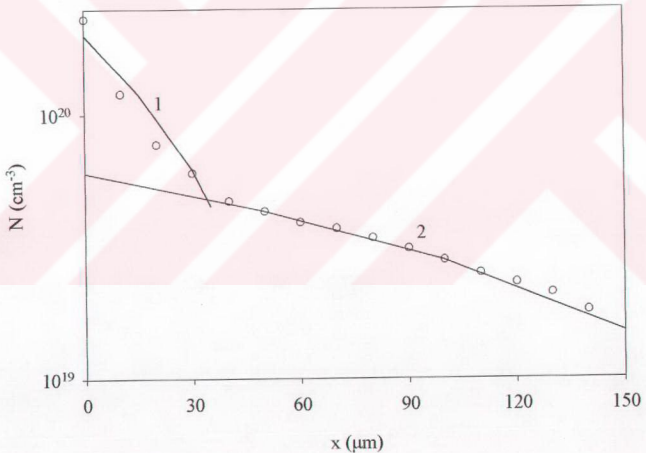
**Şekil 38.** Temiz YBaCuO süperiletken numunesinin özdirencinin sıcaklıkla değişimi



**Şekil 39.** Temiz numunenin kritik akım yoğunluğu

### 3.2.2. $\text{YBa}_2\text{Cu}_3\text{O}_7$ Süperiletkeninde Kobalt Atomlarının Difüzyon Dağılımı

Numunenin yüzeyine buharlaştırma yöntemiyle çökertilmiş kobaltın  $\text{YBaCuO}$  süperiletkenine difüzyonu,  $800^\circ\text{C}$ 'de 8 saat süreyle gerçekleştirildi. Numunedeki kobalt katkısının x-ışınları floresans yöntemiyle ölçülmüş konsantrasyon dağılımı Şekil 40'ta verilmektedir. Şekil 40'tan, kobaltın numunede yaklaşık  $150 \mu\text{m}$  derinlige kadar difüz ettiği ve yüzey konsantrasyonunun  $2 \times 10^{20} \text{ cm}^{-3}$  olduğu görülmektedir. Bundan başka, kobaltın konsantrasyon dağılımı numunede iki bölgede oluşur: (i) yüzeye yakın bölge ( $x \approx 0\text{-}30 \mu\text{m}$ ) ve (ii) iç bölge ( $x \approx 30\text{-}150 \mu\text{m}$ ). Dış bölgede kobalt konsantrasyonunun kalınlıkla keskin ve iç bölgede ise daha yavaş (düzgün olarak) olan dağılımı görülmektedir. Kobaltın difüzyonuyla ilgili deneylerde yarı-sonlu bir katı içinde sabit bir



**Şekil 40.** Kobalt konsantrasyonunun  $\text{YBaCuO}$  süperiletken numunesinde dağılımı  
( $T=800^\circ\text{C}$ ,  $t=8$  saat,  $D_1=1,5 \times 10^{-10} \text{ cm}^2/\text{s}$ ,  $D_2=3,2 \times 10^{-9} \text{ cm}^2/\text{s}$ )

kaynaktan olan difüzyon şartları oluşmuştur. Bu şartlar için kobalt katkısının numunede konsantrasyon dağılımı

$$N(x,t) = N_0 \operatorname{erfc} \frac{x}{2\sqrt{Dt}} \quad (9)$$

bağıntısıyla ifade edilir. Şekil 40'ta bu formülle teorik olarak hesaplanmış kobaltin konsantrasyon dağılımı, numunenin yüzeye yakın bölgesinde ve iç bölgesinde sürekli çizgilerle gösterilmektedir. Bu iki bölgede kobaltin teorik konsantrasyon eğrileri deneySEL olarak bulunmuş noktalarla uyum içindedir. Bu hesaplamlardan kobaltin  $\text{YBaCuO}$  numunesinde  $800^\circ\text{C}$  sıcaklıkta difüzyon katsayısı birinci ve ikinci bölgelerde sırasıyla  $D_1=1,5\times10^{-10} \text{ cm}^2/\text{s}$  ve  $D_2=3,2\times10^{-9} \text{ cm}^2/\text{s}$  olarak elde edilmiştir. Kobaltin,  $\text{YBaCuO}$  süperiletken numunesinde iki farklı difüzyon katsayısı ile yayılması, demirin  $\text{YBaCuO}$  süperiletken numunesindeki difüzyonu gibi, iki mekanizmayla izah edilebilir. Numunenin yüzeye yakın bölgesinde kobaltin yavaş difüzyonu ( $D_1=1,5\times10^{-10} \text{ cm}^2/\text{s}$ ) kobaltin tane içine girmesiyle, iç bölgelerde ise kobaltin hızlı difüzyonu ( $D_2=3,2\times10^{-9} \text{ cm}^2/\text{s}$ ) kobaltin yapıldığı gözenekler yardımıyla taneler arası hareketi şeklinde açıklanabilir (Dzhafarov, 1996).

### **3.2.3. Kobalt Difüzyonunun $\text{YBa}_2\text{Cu}_3\text{O}_7$ Süperiletkeninin Yapısal Özelliklerine Etkisi (XRD, SEM)**

Öncelikle x-işınları kırınlı deseninin sonuçları aşağıda verilmektedir. X-işınları kırınlı ölçümlerinde, kobaltin numunenin bir yüzeyine difüzyonundan sonra ( $800^\circ\text{C}$ 'de 8 saat), ölçümler hem kobalt katkılanmış ve hem de kobalt katkulanmamış yüzeyde yapıldı. Bundan başka kobalt konsantrasyonunun dağılıminin  $\text{YBaCuO}$  süperiletken numunelerinin kristal yapısına etkisini incelemek için, kobalt katkılanmış yüzeyden ince filmler alındı ve her defasında x-işınları kırınlı desenleri ölçüldü. Şekil 41a ve 41b'de

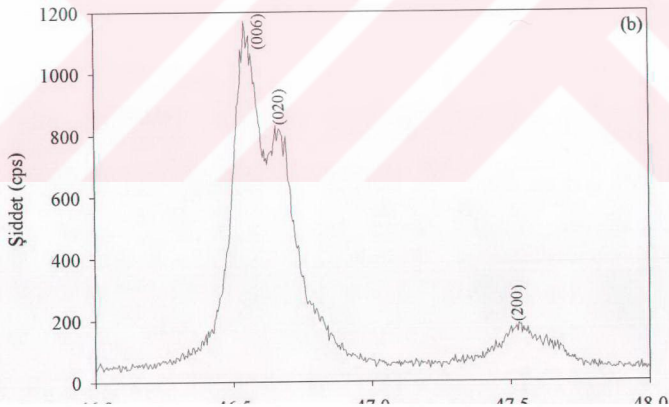
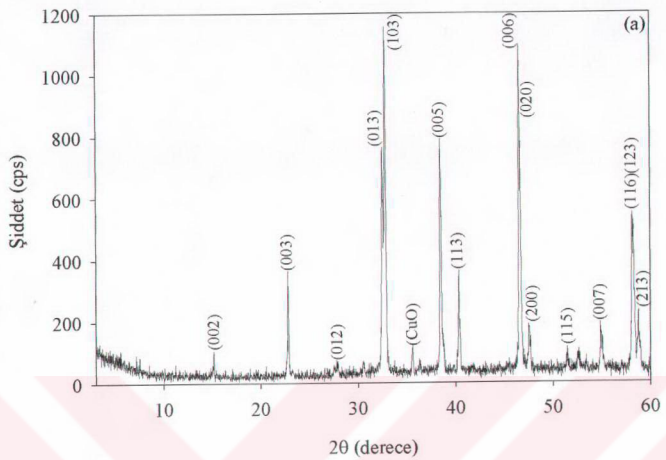
numunenin kobalt difüzyonu yapılmış yüzeyinde ölçülmüş x-ışınları kırınlım deseni verilmektedir. Şekil 41a'daki pikler YBaCuO süperiletken numunesinin ortorombik kristal yapısına uyar. Şekil 41b'de, ortorombik fazı karakterize eden (006), (020) ve (200) piklerinden hesaplanan örgü parametreleri  $a=3,824 \text{ \AA}$ ,  $b=3,898 \text{ \AA}$ ,  $c=11,698 \text{ \AA}$  olarak bulundu. Ortorombik biçim bozulmasının bir ölçüsü olan  $\Delta = \frac{2(b-a)}{(b+a)} = 0.019$

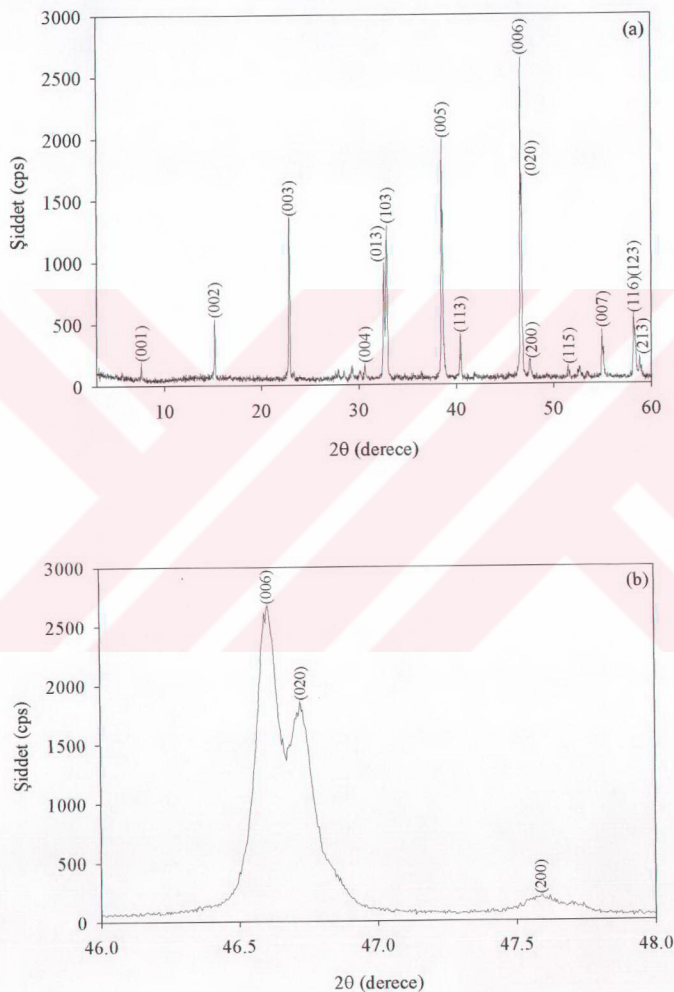
değerinde bulundu. Böylece kobalt difüzyonunun ortorombik yapıyı teşvik ettiği söylenebilir. YBaCuO ortorombik fazın piklerinden başka x-ışınları kırınlım deseninde  $2\theta=35,580^\circ$  de ilave pik gözükmemektedir. Pik analizi (Search match) araştırmalarından bunun CuO pikine uyduğu görüldü.

Şekil 42a ve 42b'de aynı numunenin arka yüzeyinin (kobalt katkılannamamış) x-ışınları kırınlım desenleri verilmektedir. Bu yüzeyin yapısı da ortorombiktir. Fakat bu yüzeyde ilave pikler görülmemektedir. Numunenin bu yüzeydeki örgü parametreleri  $a=3,819 \text{ \AA}$ ,  $b=3,884 \text{ \AA}$ ,  $c=11,684 \text{ \AA}$  olarak bulundu ve bu parametrelerden yararlanarak hesaplanan  $\Delta = 0.017$  değerinin temiz numune ile aynı olduğuna dikkat edilmelidir.

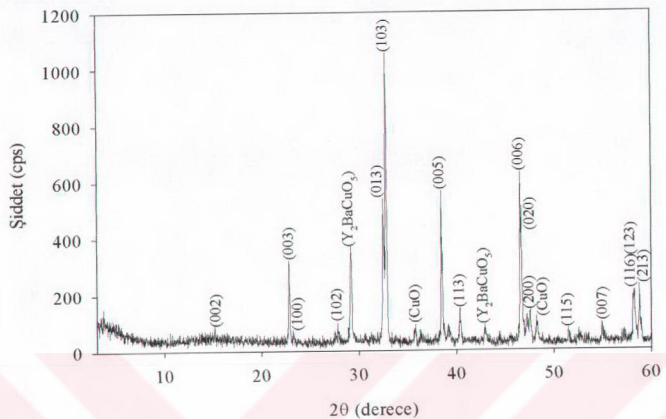
Şekil 43, 44, 45, 46, 47 ve 48'de numunelerin kobaltlı yüzeyinden ince filmler çıkarıldıktan sonrası ( $\Delta x=25, 35, 55, 75, 115$  ve  $135 \mu\text{m}$ ) x-ışınları kırınlım desenleri verilmektedir. Bu desenlerin hepsi YBaCuO süperiletkeninin ortorombik kristal yapısına uymaktadır ve bunların bir kısmında CuO pikleri görülmektedir. Bu şekillerdeki x-ışınları kırınlım desenlerinin kalınlıkla değişimindeki iki özellik Şekil 49 ve 50'de verilmektedir.

Şekil 49'da, x-ışınları kırınlım desenlerinden (Şekil 42'den 48'e kadar) hesaplanan  $c$  parametresinin, yüzeyden itibaren x mesafesi ile küçüldüğü görülmektedir. Şekil 50'de ise (006) pikinin şiddetinin kobalt difüzyonu yapılmış numunede x ile değişimi gösterilmiştir. Bu şiddetin dağılımı da,  $c$  parametresi gibi x ile azalmaktadır. Bu şekillerdeki  $c$  parametresinin ve (006) pikinin şiddetinin x ile değişimi, kobaltin x-ışımlı floresans yöntemiyle ölçülen konsantrasyonun x ile değişimine benzemektedir (Şekil 40).

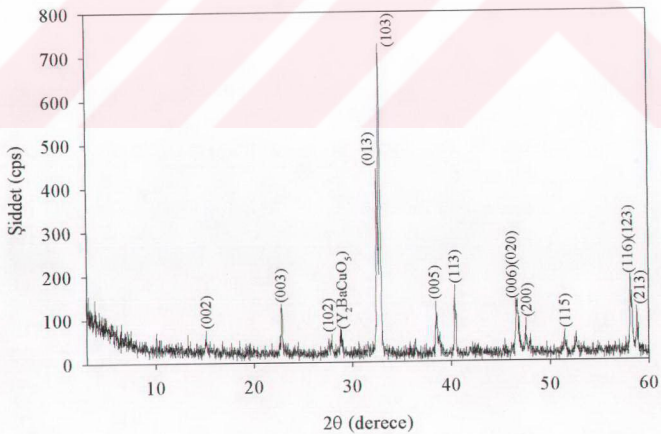




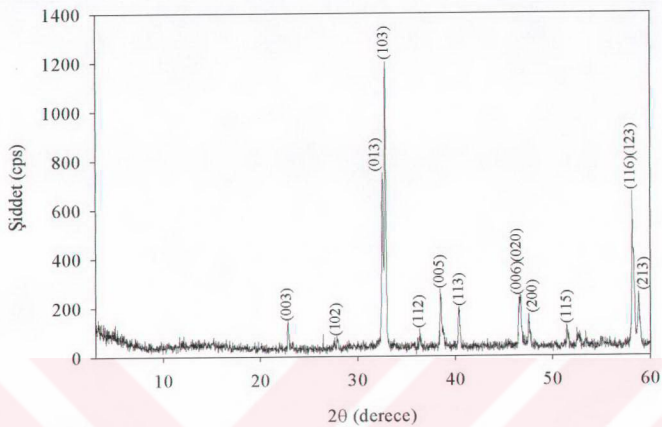
**Şekil 42.** Kobalt difüzyonu yapılmış ( $800^\circ\text{C}$ , 8 saat)  $\text{YBaCuO}$  numunesinde kobalt katkılanmamış yüzün **(a)**  $3^\circ \leq 2\theta \leq 60^\circ$  aralığı için ve **(b)**  $46^\circ \leq 2\theta \leq 48^\circ$  aralığı için x-işinleri kırmızı deseni



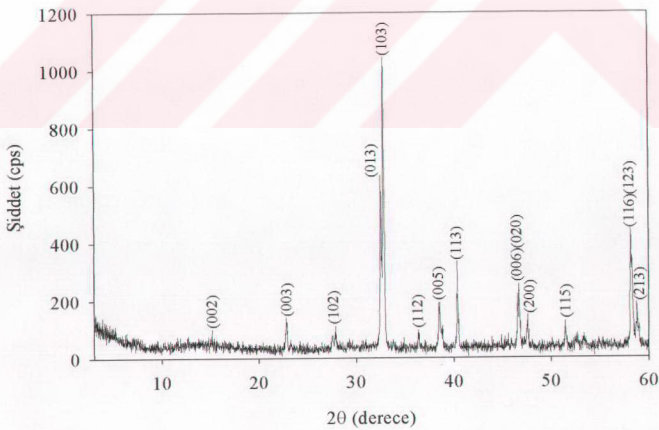
**Şekil 43.** Kobalt difüzyonu yapılmış ( $800^{\circ}\text{C}$ , 8 saat) YBaCuO numunesinde kobalt katkılılmış yüzden  $25 \mu\text{m}$  film çıkarıldıkten sonra  $3^{\circ} \leq 2\theta \leq 60^{\circ}$  aralığı için x-işinleri kırımlı deseni



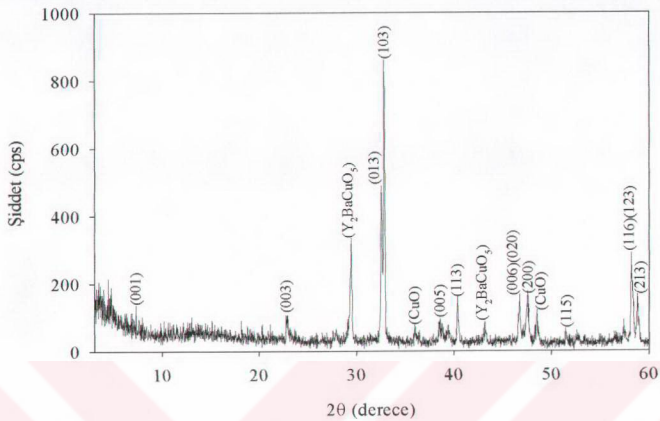
**Şekil 44.** Kobalt difüzyonu yapılmış ( $800^{\circ}\text{C}$ , 8 saat) YBaCuO numunesinde kobalt katkılılmış yüzden  $35 \mu\text{m}$  film çıkarıldıkten sonra  $3^{\circ} \leq 2\theta \leq 60^{\circ}$  aralığı için x-işinleri kırımlı deseni



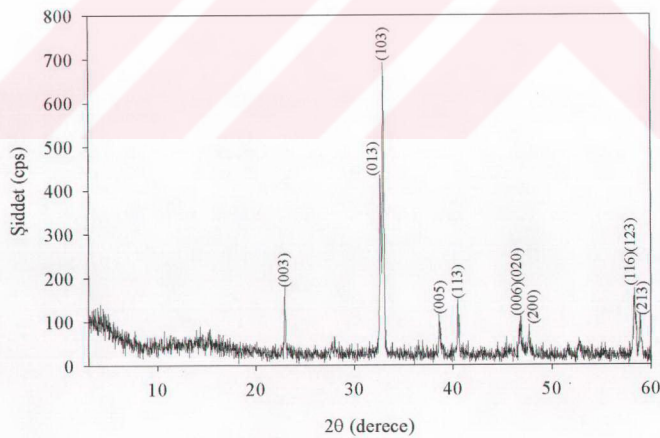
**Şekil 45.** Kobalt difüzyonu yapılmış ( $800^{\circ}\text{C}$ , 8 saat)  $\text{YBaCuO}$  numunesinde kobalt katkılanmış yüzden  $55 \mu\text{m}$  film çıkarıldıkten sonra  $3^{\circ} \leq 2\theta \leq 60^{\circ}$  aralığı için x-işinleri kırırmış deseni



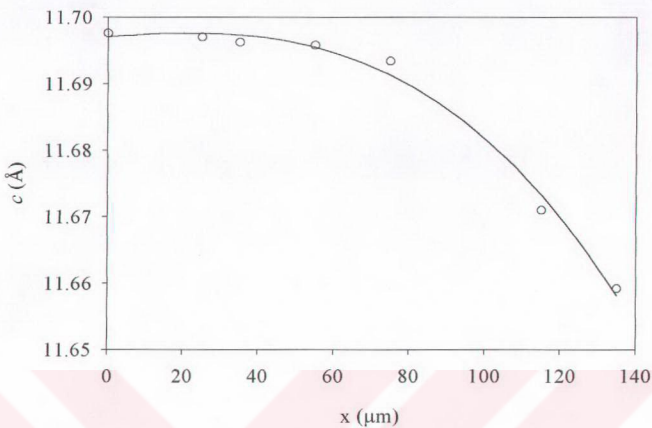
**Şekil 46.** Kobalt difüzyonu yapılmış ( $800^{\circ}\text{C}$ , 8 saat)  $\text{YBaCuO}$  numunesinde kobalt katkılanmış yüzden  $75 \mu\text{m}$  film çıkarıldıkten sonra  $3^{\circ} \leq 2\theta \leq 60^{\circ}$  aralığı için x-işinleri kırırmış deseni



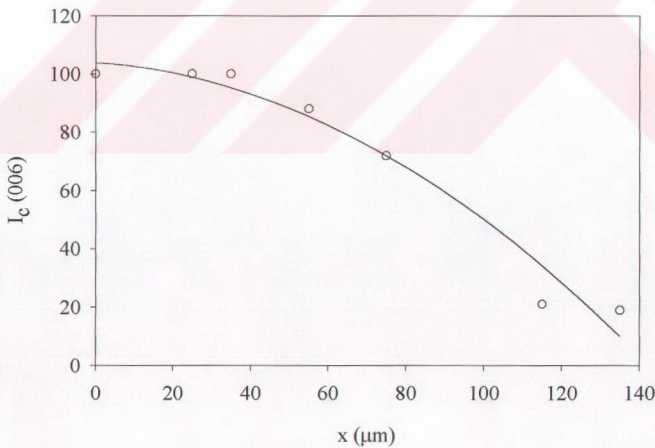
**Şekil 47.** Kobalt difüzyonu yapılmış ( $800^{\circ}\text{C}$ , 8 saat) YBaCuO numunesinde kobalt katkılanmış yüzden  $115 \mu\text{m}$  film çıkarıldıkten sonra  $3^{\circ} \leq 2\theta \leq 60^{\circ}$  aralığı için x-işinleri kırimın deseni



**Şekil 48.** Kobalt difüzyonu yapılmış ( $800^{\circ}\text{C}$ , 8 saat) YBaCuO numunesinde kobalt katkılanmış yüzden  $135 \mu\text{m}$  film çıkarıldıkten sonra  $3^{\circ} \leq 2\theta \leq 60^{\circ}$  aralığı için x-işinleri kırimın deseni



**Şekil 49.** Kobalt difüzyonu yapılmış ( $800^{\circ}\text{C}$ , 8 saat)  $\text{YBaCuO}$  numunesinde  $c$  parametresinin yüzeyden itibaren olan  $x$  mesafesi ile değişimi



**Şekil 50.** Kobalt difüzyonu yapılmış ( $800^{\circ}\text{C}$ , 8 saat)  $\text{YBaCuO}$  numunesinde (006) pikinin şiddetinin  $x$  koordinatı ile değişimi

Matris atomlarının yarıçapından farklı yarıçapaya sahip safsızlık atomlarının bir kristale katkılanması, safsızlık atomlarının yakınında deformasyona sebep olur (Dzhafarov et al., 1995). Örgüye giren yabancı atomlar nedeniyle numunenin örgü parametresinde değişiklikler meydana gelir. Böyle katkıların süperiletkenlerde homojen olmayan dağılımı, numunenin difüzyon bölgesinde homojen olmayan deformasyon dağılımına neden olur. Herhangi bir x noktasında bir kristalin deformasyonu  $\varepsilon$ ,

$$\varepsilon(x) = \frac{[c(x) - c_0]}{c_0} = \frac{\Delta c}{c_0} \quad (10)$$

olarak tanımlanır. Burada  $c(x)$  ve  $c_0$  sırasıyla numunenin deform olmuş ve deform olmamış bölgesinin örgü parametreleridir. Bu deformasyon, katkı ve matris atomlarının yarıçapına bağlıdır; aynı zamanda katkı atomlarının konsantrasyonu  $N(x)^2 e$ ,

$$\varepsilon(x) = \beta N(x) \quad (11)$$

şeklinde bağlıdır. Burada  $\beta$  öргүнүн genleşme katsayısidır. Bu katsayı,

$$\beta = \frac{1}{3} \left[ 1 - \left( \frac{r_i}{r_0} \right)^3 \right] N_i^{-1} \quad (12)$$

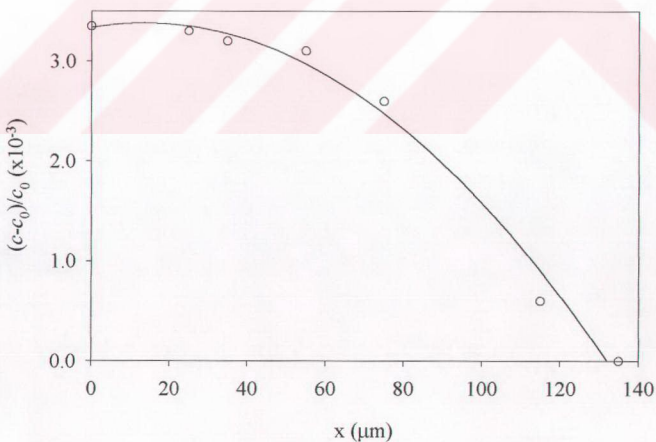
bağıntısıyla tayin edilir. Burada  $r_i$  ve  $r_0$  sırasıyla katkı ve matris atomlarının yarıçapı,  $N_i$  ise matris atomlarının konsantrasyonudur ( $N_i \approx 5 \times 10^{22} \text{ cm}^{-3}$ ).

Katkı atomlarının homojen olmayan bölgesinde deformasyon dağılımının, katkı atomlarının konsantrasyon profiliyle tanımlanması Eşitlik (11) ve (12)'den görülmektedir. Bundan dolayı, numunede difüzyon katkısının konsantrasyon profili hakkında veriler,

YBaCuO numunesindeki deformasyon dağılımının yüzeyden itibaren  $x$  mesafesine göre ölçülmesi ile bulunabilir.

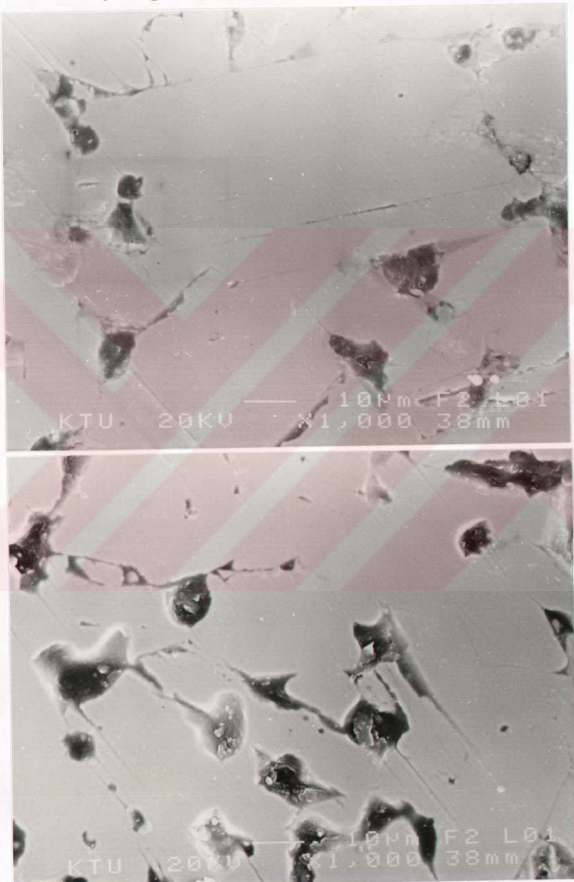
$\text{Co}^{+3}$  iyonunun yarıçapının ( $0,63 \text{ \AA}$ ),  $\text{Cu}^{+2}$  iyonunun yarıçapına ( $0,72 \text{ \AA}$ ) yakınlığı nedeniyle Co atomu, YBaCuO süperiletkeninde zincirdeki Cu(1) konumlarına yerleşir (Tarascon et al., 1988).  $\text{Co}^{+3}$  katkısının Cu(1) konumuna yerleşmesi sonucu, (12) nolu denklemle hesaplanan genleşme katsayısi,  $\beta=2,2\times10^{-24} \text{ cm}^3/\text{atom}$  olarak bulundu. Böylece numunenin yüzeyinden itibaren olan uzaklıkla deformasyon dağılımı ölçümleri, kobalt katkı atomunun konsantrasyon dağılımı ve dolayısıyla kobaltin difüzyon katsayısı hakkında bilgi verir.

YBaCuO süperiletken numunesinin kobalt difüzyonu yapılmış ( $800^\circ\text{C}$ 'de 8 saat) bölgesinde,  $c$  örgü parametresinin ( $\Delta c/c_0$ ),  $x$  ile değişimi Şekil 51'de verildi. Bu eğrinden, (9) formülünü kullanarak hesaplanan kobaltin difüzyon katsayısı ( $800^\circ\text{C}$ 'de 8 saat) yaklaşık  $4\times10^{-9} \text{ cm}^2/\text{s}$  olarak bulundu. Bu ölçümelerden bulunan kobaltin  $800^\circ\text{C}$ 'deki difüzyon katsayısı,  $x$ -işimi floresans yöntemiyle hesaplanan difüzyon katsayısına yakındır ( $D_2=3,2\times10^{-9} \text{ cm}^2/\text{s}$ ).



**Şekil 51.** Kobalt difüzyonu yapılmış ( $800^\circ\text{C}$ , 8 saat) YBaCuO numunesinde  $c$  örgü parametresinin ( $\Delta c/c_0$ )  $x$  ile değişimi

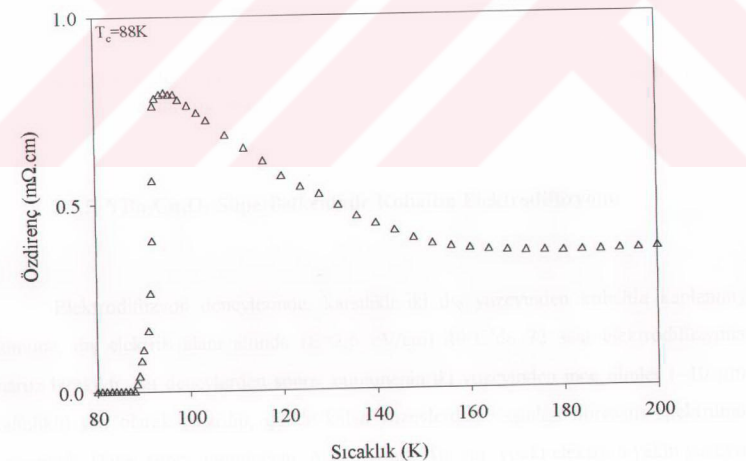
YBaCuO numunesinin difüzyon yöntemiyle kobaltlı katkılanmış (800°C'de 8 saat) ve katkılanmamış (arka) yüzeylerinin taramalı elektron mikroskopu fotoğrafları sırasıyla Şekil 52a ve 52b'de gösterildi. Kobalı yüzeyin mikrofotoğraflarında tanelerin boyutlarının, kobaltsız yüzeye göre biraz büyüğü dikkat çekmektedir. Bu yüzeylerde yapılan elemental analiz sonucunda, kobalt difüzyon edilmiş yüzeyde gözenekler bölgesinde kobalt (%2 ağırlık yüzdesiyle) bulunmuştur.



**Şekil 52.** Kobalt difüzyonu yapılmış (800°C, 8 saat) YBaCuO numunesinin  
(a) katkılanmış (b) katkılanmamış (arka) yüzeyinin taramalı  
elektron mikrofotoğrafları

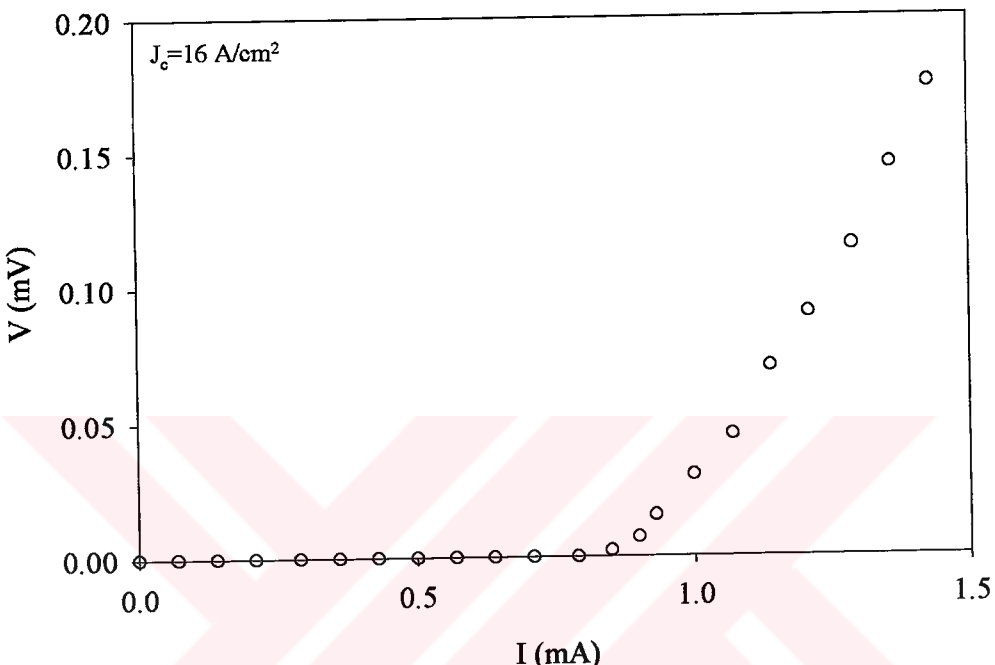
### 3.2.4. Kobalt Difüzyonunun $\text{YBa}_2\text{Cu}_3\text{O}_7$ Süperiletkenin Kritik Sıcaklığuna ve Kritik Akım Yoğunluğuna Etkisi

Dört-nokta yöntemini kullanarak 50-300 K sıcaklık aralığında kobalt katkılı numunede yapılan elektriksel özdirenç ölçümü Şekil 53'te gösterilmektedir. Bu numunenin kritik geçiş sıcaklığı olan  $T_c=88 \text{ K}$ , saf numuneden ( $T_c=92 \text{ K}$ ) biraz daha düşüktür. Geçiş sıcaklığından daha yüksek sıcaklıklarda ( $T=100-160 \text{ K}$  sıcaklık aralığında) özdirencin sıcaklıkla değişimi metalik bir karakter değil, sıcaklık arttıkça özdirencin küçüldüğü yarıiletken karakter göstermektedir ve 95 K civarında yarıiletken-süperiletken geçişini kendini göstermektedir. Kobaltla katkılanmış  $\text{YBaCuO}$  süperiletken numunesinin bu özelliği, numunede taneler arasındaki homojen olmayan gözeneklerde yerleşen kobalta bağlı olabilir. Gerçekte taramalı elektron mikroskopu ile yapılan x-ışınları analizi sonucunda gözeneklerin içinde kobalt fazı bulunmuştur. Bundan başka x-ışınları kırınım desenlerinde kobalthı numunelerde  $\text{CuO}$  piki de gözlenmiştir.



**Şekil 53.** Kobalt difüzyonu yapılmış ( $800^\circ\text{C}$ , 8 saat)  $\text{YBaCuO}$  numunesinin özdirencinin sıcaklıkla değişimi

Kobalt difüzyonu sonucunda  $\text{YBaCuO}$  süperiletken numunesinin kritik akım yoğunluğu  $J_c=16 \text{ A/cm}^2$  olarak ölçüldü (Şekil 54). Temiz numunenin kritik akım yoğunluğu olan  $J_c=30-40 \text{ A/cm}^2$ 'ye göre büyük ölçüde olan bu azalma, taneler arasına yerleşen gözeneklerde kobaltlı ve bakırı fazların görünmesinden kaynaklanabilir.

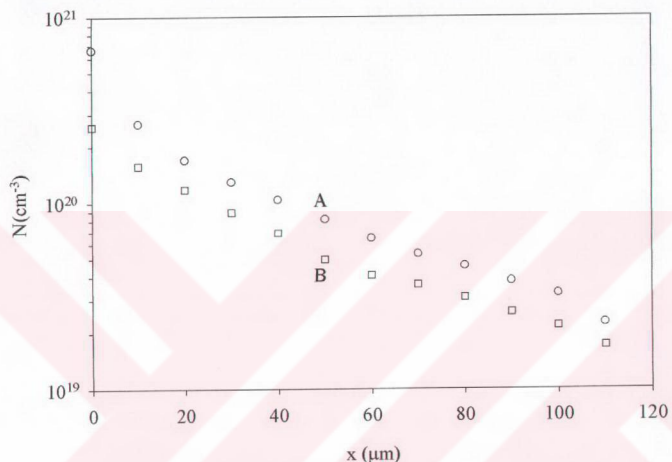


**Şekil 54.** Kobalt difüzyonu yapılmış ( $800^\circ\text{C}$ , 8 saat)  $\text{YBaCuO}$  numunesinin kritik akım yoğunluğu

### 3.2.5. $\text{YBa}_2\text{Cu}_3\text{O}_7$ Süperiletkeninde Kobaltın Elektrodifüzyonu

Elektrodifüzyon deneylerinde, karşılıklı iki dış yüzeyinden kobaltla kaplanmış numune, dış elektrik alanı altında ( $E=2,6 \text{ eV/cm}$ )  $40^\circ\text{C}$ 'de 72 saat elektrodifüzyona maruz bırakıldı. Bu deneylerden sonra, numunenin iki yüzeyinden ince filmler ( $\sim 10 \mu\text{m}$  kalınlık) seri olarak çıkarılmış, geride kalan yüzeylerden x-ışınları floresans spektrumu elde edildi. Daha sonra numunenin A yüzeyinde (pozitif yüklü elektrota yakın yüzeyi) ve B yüzeyinde (negatif yüklü elektrota yakın yüzeyi) kobaltın konsantrasyon dağılımları ölçüldü. Şekil 55'te kobalt atomunun  $\text{YBaCuO}$  numunesinde, A ve B yüzeylerindeki

konsantrasyon dağılımları gösterildi. Şekil 55'ten görüldüğü gibi kobaltin konsantrasyonu A tarafında B tarafına göre daha fazladır. Bu sonuç, kobaltin, YBaCuO süperiletken numunesinde, dış elektrik alan etkisiyle pozitif yüklü parçacık gibi hareket ettiğini göstermektedir.



**Şekil 55.** YBaCuO numunesine elektrodifüzyon yöntemiyle yapılmış olan kobalt katkısının A bölgesinde ve B bölgesinde konsantrasyon dağılımı

Katılarda dış elektrik alan etkisiyle yüklü parçacığın konsantrasyon dağılımı

$$N(x, t) = \frac{N_0}{2} \left[ \operatorname{erf} \frac{d + (x - \mu Et)}{2\sqrt{Dt}} + \operatorname{erf} \frac{d - (x - \mu Et)}{2\sqrt{Dt}} \right] \quad (13)$$

bağıntısıyla ifade edilmektedir (Dzhafarov, 1991). Burada,  $N_0$  katkıının yüzey konsantrasyonu,  $d$  numunenin yüzeyindeki katkı kalınlığı,  $\mu$  katkı iyonlarının mobilitesi,  $E$

dış elektrik alan şiddeti ve t elektrodifüzyon süresidir. Bu formülün açıklanması şöyledir:  
Dış elektrik alanda katkı iyonlarının akım yoğunluğu

$$J = J_D \pm J_E \quad (14)$$

ile ifade edilir. Burada,  $J_D$  difüzyon akım yoğunluğu,  $J_E$  elektrik alan etkisi altındaki akım yoğunluğuudur.  $\pm$  işaretti, dış elektrik alanının yöne bağlılığını göstermektedir. Pozitif yüklü katkı iyonlarının akım yoğunluğu, anot (pozitif yüklü elektrot) tarafında,

$$J = J_D + J_E \quad (15)$$

formülüyle ifade edilir. Katot tarafta ise toplam akım yoğunluğu,

$$J = J_D - J_E \quad (16)$$

bağıntısıyla verilir. (15) ve (16) formüllerinden görüldüğü gibi, pozitif yüklü katkı iyonları için anot tarafında konsantrasyon dağılım derinliği daha fazla, katot tarafta ise daha az olacaktır. Bu ifadeler Şekil 55'te verilen konsantrasyon dağılım eğrilerinde, kobaltn pozitif yüklü parçacık gibi hareket ettiğini tasdik etmektedir.

#### 4. SONUÇLAR

Bu çalışmada, YBaCuO süperiletken numunelerine 615-880°C sıcaklık aralığında demirin difüzyonu ve 880°C'de kobaltin difüzyonu araştırıldı. Ayrıca, bu difüzyonların süperiletkenin kristal yapısına, kritik sıcaklığına ve kritik akım yoğunluğuna etkileri incelendi. Bundan başka, oda sıcaklığında kobaltin dış elektrik alan altında difüzyon hareketi araştırıldı.

Şekil 30 ve Şekil 40 göstermiştir ki demir ve kobalt katkılarının YBaCuO seramik süperiletkeninde difüzyon hareketi iki mekanizmayla oluşur:

- (i)  $D_1$  katsayısıyla tane içine doğru yavaş difüzyon,
- (ii)  $D_2$  katsayısıyla taneler arasında (gözeneklerle) hızlı difüzyon.

Demirin difüzyonunda, yavaş ( $D_1$ ) ve hızlı ( $D_2$ ) difüzyon sırasıyla 1,25 eV ve 0,90 eV aktivasyon enerjileriyle oluşur. Demir ve kobalt atomlarının periyodik cetvelin aynı grubunda bulunmaları ve komşu konumlarda yerleşmeleri nedeniyle [iyon yükleri aynı (+3) ve iyon yarıçapları birbirine çok yakın (0,63 Å-0,64 Å)] difüzyon katsayıları da 800°C'de birbirine çok yakındır (demir için  $D_2=2\times10^{-9}$  cm<sup>2</sup>/s, kobalt için  $D_2=3\times10^{-9}$  cm<sup>2</sup>/s).

Her iki katkıının YBaCuO süperiletken numunelere difüzyon yöntemiyle yerleşmesinde ortorombik yapı değişmemektedir. Demirin ve kobaltin difüzyonuyla numunenin gözeneklerinde yeni fazlar oluşmaktadır. Demir difüzyonunda,  $\gamma\text{-Fe}_2\text{O}_3$ ,  $\alpha\text{-Fe}_2\text{O}_3$  ve FeO fazları; kobalt difüzyonunda ise kobaltlı ve bakırlı fazlar görülmektedir. Gözeneklerde görülen bu fazlar çökelme olayının sonucunda meydana gelebilir. Aynı zamanda bu fazların tane aralarında olması YBaCuO numunelerinde her iki katkı için de kritik akım yoğunluğunu düşürmektedir (demir için 51 A/cm<sup>2</sup>den 14 A/cm<sup>2</sup>ye kadar; kobalt için 40 A/cm<sup>2</sup>den 16 A/cm<sup>2</sup>ye kadar). Demir ve kobaltla katkılanmış numunelerde kritik sıcaklık temiz numuneye göre küçülmektedir (demir için yavaş soğutmadada 92 K'den 81 K'e kadar, kobalt için 92 K'den 88 K'e kadar). Gözeneklerde yeni fazların yerleşmesinden başka, demir ve kobalt magnetik katkılarının YBaCuO

süperiletkeninde Cooper çiftleri arasındaki bağları koparması kritik sıcaklığın ( $T_c$ ) ve kritik akım yoğunluğunun ( $J_c$ ) düşmesinin sebebi olabilir.

Kobaltin, seramik YBaCuO süperiletkeninde dış elektrik alan etkisiyle oda sıcaklığında pozitif yüklü iyon gibi hareket ettiği anlaşıldı.

## **5. ÖNERİLER**

Bu çalışmada, YBaCuO bulk süperiletken numuneleri üretildi ve bunlara demir ve kobalt difüzyonu yapıldı. Difüzyon mekanizmasının anlaşılması açısından yararlı sonuçlar gösteren bu katkı malzemeleri, ilerdeki çalışmalarda, yaygın olarak kullanılan BSCCO bulk ve ince film süperiletkenlerinde de kullanılabilir.

Katkı malzemesi olarak, demir ve kobaltın yanı sıra, periyodik sıfırda aynı grupta yer alan nikel ve bu elementlerle benzer özellikler gösteren çinko da kullanılabilir.

Katkılama yoluyla hazırlanacak bu tür süperiletken numunelerin, magnitik alanlarındaki özdirençleri, ısıl genleşme katsayıları, magnetik alinganlıkları gibi yapısal ve elektriksel özellikler ölçülebilir. Böylece, yapılan katının, süperiletkende meydana getirdiği değişikler daha ayrıntılı olarak belirlenebilir.

YBaCuO süperiletken numunesine dış elektrik alan etkisiyle yapılan kobalt difüzyonu, diğer süperiletken malzemeler için, değişik elementler, elektrik alanları ve difüzyon sürelerinde yapılabilir.

## **6. KAYNAKLAR**

- Abdullaev, G. B. ve Dzhafarov, T. D., 1987, Atomic Diffusion in Semiconductor Structures, Harwood Academic Publishers, New York.
- Alfeev, V. N., Gorbik, P. P., Dyakin, V. V., Zaitov, F. A., Openko, V. M. ve Shalyapina, G. M., 1991, Diffusion of Nickel, Indium and Tin in the Y-Ba-Cu-O Ceramics, Solid State Communication, 77, 49-51.
- Bardeen, J., Cooper, L. N. ve Schrieffer, J. R., 1957, Theory of Superconductivity, Physical Review, 108, 1175-1203.
- Bednorz, J. G. ve Müller, K. A., 1986, Possible High-T<sub>c</sub> Superconductivity in the Ba-La-Cu-O System, Z. Physics B - Condensed Matter, 64, 189-193.
- Cevik, U., 1994, Doğu Karadeniz Dip Tortularının X-Işınları Floresans Yöntemiyle İncelenmesi, Yüksek Lisans Tezi, K.T.Ü. Fen-Bilimleri Enstitüsü, Trabzon.
- Cheng, C. W., Rose-Innes, A. G., Alford, N. Mc N., Harmer, M. A. ve Birchall, I. P. 1988, The Effect of Porosity on the Superconducting Properties of YBa<sub>2</sub>Cu<sub>3</sub>O<sub>x</sub> Ceramic, Superconductor Science and Technology, 1, 113-117.
- Choi, J. S., Sarikaya, M., Aksay, I. A. ve Kikuchi, R., 1990, Theory of Oxygen Diffusion in YBa<sub>2</sub>Cu<sub>3</sub>O<sub>7-x</sub> Superconducting Compound, Physical Review B, 42, 4244-4254.
- Cyrot, M. ve Pauna D., 1992, Introduction to Superconductivity and High-T<sub>c</sub> Materials, World Scientific, New Jersey.
- Dew-Hughes, D., 1988, Ceramic Superconductors-Developments and Prospects, Ceramics, 741-745.
- Dzhafarov, T. D., Altunbaş, M., Varilci, A. ve Küçükömeroğlu, T., 1995, The Effect of Au Diffusion on Structural and Superconducting Properties of YBaCuO, Materials Letters, 25, 81-86.

- Dzhafarov, T. D., Altunbaş, M., Varilci, A., Çevik, U. ve Kopya, A. I., 1996, The Effect of Fe Diffusion on Structural and Superconducting Properties of YBaCuO, Materials Letters, 6, 305-311.
- Dzhafarov, T. D., 1996, Diffusion in High-Temperature Superconductors, Physics Status Solidi A, 158, 335-357.
- Dzhafarov, T. D., 1989, Radiation Stimulated Diffusion in Semiconductors, Physics Status Solidi B, 155, 11-51.
- Dzhafarov, T. D., 1991, Radiation-Stimulated Diffusion in Semiconductors, Energoatomizdat, Moscow,
- Dzhafarov, T.D., Asadov, Yu. G., Bayramov, A. I. ve Gafarov, S. F., 1992, Effect of Ag Diffusion on Crystal Structure and Properties of YBaCuO Superconductor, Preprint of Institute of Physics, Baku, 446.
- Eab, C. H. ve Tang, I. M., 1989, Phenomenological Theory for Copper Oxide High- $T_c$  Superconductors, Physical Review B, 40, 4427-4430.
- Felner, I. ve Brush, B., 1991, Effects of Fe and Zn Substitution upon Superconductivity in  $\text{YBa}_2\text{Cu}_4\text{O}_8$ , Physical Review B, 43, 10364-10367.
- Flukieger, R., Müller, T., Goldacker, W., wolf, T., Seibt, E., Apfelstedt, J., Kupfer, H. ve Schauer, W., 1988, Metallurgy and Critical Current in  $\text{YBa}_2\text{Cu}_3\text{O}_7$  Wires, Physica C, 153-155, 1574-1579.
- Gafarov, S. F., Dzhafarov, T. D., Kulikov, G. S., Malkovich, R. Sh., Skoryatina, E. A. ve Usackeva, V. P., 1990, Diffusion of Silver at Room Temperature in the Superconducting Ceramic System Y-Ba-Cu-O, Soviet Technical Physics Letters, 16, 347-348.
- Huang, Z. J., Meng, R. L., Qiu, X. D., Sun, Y. Y., Kulik, J., Xue, Y. Y. ve Chu C. W., 1993, Superconductivity, Structure and Resistivity in  $\text{HgBa}_2\text{Ca}_2\text{Cu}_3\text{O}_{8+\delta}$ , Physica C, 217, 1-5.
- Islam, M. S. ve Baetzold, R. C., 1989, Atomistic Simulation of Dopant Substitution  $\text{YBa}_2\text{Cu}_3\text{O}_7$ , Physical Review B, 40, 10926-10935.
- Jenkins, R., 1988, X-Ray Fluorescence Spectrometry, John-Wiley&Sons Inc., New York.

- Jin, S., Tiefel, T. H., Sherwood, R. C., Davis, M. E., Van Dover, R. B., Kammlott, G. W., Fastnavht, R. A. ve Keith, H. D., 1988, High Critical Currents in Y-Ba-Cu-O Superconductors, *Applied Physics Letters*, 52, 2074-2076.
- Kikuchi, M., Syono, Y., Tokiwa, A., Oh-Ishi, K., Arai, H., Hiraga, K., Kobayashi, N., Sasoka, T. ve Muto Y., 1987, Thermal and X-Ray Analyses of High Temperature Superconductor  $\text{YBa}_2\text{Cu}_3\text{O}_{6.74}$ , *Japanese Journal of Applied Physics*, 26, 1066-1069.
- Kim, C. J., Lee, H. G., Kuk, I. H., Chang, I. S., Rim, C. S. ve Han, P. S., 1990, The Orthorhombic-to-Tetragonal Transition in  $\text{YBa}_2(\text{Cu}_{1-x}\text{Fe}_x)_3\text{O}_{7-y}$ , *Journal of Materials Science*, 25, 2165-2169.
- Kishio, K., Shimoyama, J., Hasegawa, T., Kitazawa, K. ve Feuki, K., 1987, Determination of Oxygen Nonstoichiometry in a High- $T_c$  Superconductor  $\text{Ba}_2\text{YCu}_3\text{O}_{7-\delta}$ , *Japanese Journal of Applied Physics*, 26, 1228- 1230.
- Kodama, Y., Tanemura, S., Yamada, Y. ve Matsumoto, T., 1992, Substitution Effects of Fe and Co for Cu in  $\text{YBa}_2(\text{Cu}_{1-x}\text{M}_x)_4\text{O}_8$  Superconductors, *Physica C*, 199, 1-6.
- LaGraff, J. R., Han, P. D. ve Payne D. A., 1991, Resistance Measurements and Oxygen Out-Diffusion Near the Orthorhombic-Tetragonal Phase Transformation in Single-Crystal  $\text{YBa}_2\text{Cu}_3\text{O}_{7-\delta}$ , *Physical Review B*, 43, 441-447.
- Lal, R., Pandey, P. ve Narlikar, A. V., 1994,  $T_c$  Depression in the  $\text{YBa}_2\text{Cu}_{4-x}\text{M}_x\text{O}_8$  System for M=Fe, Ni, Zn and Ga, *Physical Review B*, 49, 6382-6384.
- Larbalestier, D. C., Babcock, S.E., Cai, X., Daeumling, M., Hampshire, D.P., Kelly, T. F., Lavanier, L. A., Lee, P. J. ve Seuntjens, J., 1988, Weak Links and the Poor Transport Critical Currents of the 123 Compounds, *Physica C*, 153-155, 1580-1585.
- Maeda, H., Tanaka, Y., Fukutomi, M. ve Asano, T., 1988, A new High- $T_c$  Oxide Superconductor without a Rare Element, *Japanese Journal of Applied Physics*, 27, 209-210.
- Maeno, Y., Kato, M. ve Fujita, T., 1987, Preparation of Y-Ba-Cu Oxides with Superconducting Transition above Liquid-Nitrogen Temperature, *Japanese Journal of Applied Physics*, 26, 329-331.

- Murakami, M., Morita, M., Doi, K. ve Miyamoto, M., 1989, A New Process with the Promise of High  $J_c$  in Oxide Superconductors, Japanese Journal of Applied Physics, 28, 1189-1194.
- Murakami, M., 1992, Processing of Bulk  $\text{YBa}_2\text{Cu}_3\text{O}_7$ , Superconductor Science and Technology, 5, 185-203.
- Nobumasa, H., Shimizu, K. ve Kawai, T., 1991, Possible Copper Based Superconductors by the Combination of Blocking and Mediating Layers, Z. Physics B - Condensed Matter, 83, 7-17.
- Putilin, S. N., Antipov, E. V., Chmaissen, O. ve Mazeiro, M., 1993, Superconductivity at 94 K in  $\text{HgBa}_2\text{Cu}_4\text{O}_{4+\delta}$ , Nature, 362, 226-228.
- Rothman, S. J., Routbort, J. L., Liu, J. Z., Downey, J. W., Thompson, L. J., Fang, Y., Shi, D., Baker, J. E., Rice, J. P., Ginsberg, D. M., Han, P. D. ve Payne, D. A., 1991, Anisotropy of Oxygen Tracer Diffusion in  $\text{YBa}_2\text{Cu}_3\text{O}_{7-\delta}$ , Diffusion Defect Data, Solid State Data A, Defect Diffusion Forum, 75, 57-68.
- Rothman, S. J. ve Routbort, J. L., 1989, Tracer Diffusion of Oxygen in  $\text{YBa}_2\text{Cu}_3\text{O}_{7-\delta}$ , Physical Review B, 40, 8852-8860.
- Routbort, J. L., Rothman, S. J., Chen, N. ve Mundy, J. N., 1991, Site Selectivity and Cation Diffusion in  $\text{YBa}_2\text{Cu}_3\text{O}_{7-\delta}$ , Physical Review B, 43, 5489-5497.
- Sarikaya, M., Kikuchi, R. ve Aksay, I. A., 1988, Structure and Formation of Twins in the Orthorhombic  $\text{YBa}_2\text{Cu}_3\text{O}_{7-x}$ , Physica C, 152, 161-170.
- Schilling, A., Cantoni, M., Guo, J. D. ve Ott, H. R., 1993, Superconductivity above 130 K in the Hg-Ba-Ca-Cu-O System, Nature, 363, 56-58.
- Sheng, Z. Z. ve Hermann, A. M., 1988, Bulk Superconductivity at 120 K in the Tl-Ca/Ba-Cu-O System, Nature, 332, 138-139.
- Shewmon, P. G., 1963, Diffusion in Solids, McGraw-Hill Publishers Co., New York.
- Specht, E. D., Sparks, C. J., Dhere, A. G., Brynestad, J., Cavin O. B., Kroeger, D. M. ve Oye, H. A., 1988, Effect of Oxygen Pressure on the Orthorhombic-Tetragonal Transition in the High Temperature Superconductor  $\text{YBa}_2\text{Cu}_3\text{O}_x$ , Physical Review B, 37, 7426-7434.

- Tallon, J. L., Pooke, D. M., Buckley, R. G., Presland, M. R. ve Blunt F. J., 1990,  $R_2Ba_4Cu_7O_{15-\delta}$ : A 92-K Bulk Superconductor, Physical Review B, 41, 7220-7223.
- Tarascon, J. M., Barbeux, P., Miceli, P. F., Greene, L. H. ve Hull, G. W., 1988, Structural and Physical Properties of the Metal (M) Substituted  $YBa_2Cu_{3-x}M_xO_{7-y}$  Perovskite, Physical Review B, 37, 7458-7469.
- Tu, K.N., Yeh, N. C., Park, S. I. ve Tsuei, C. C., 1989, Diffusion of Oxygen in Superconductivity  $YBa_2Cu_3O_{7-\delta}$  Ceramic Oxides, Physical Review B, 39, 304-314.
- Wu, M. K., Ashburn, J. R., Torng, C. J., Hor, P. H., Meng, R. L., Gao, L., Huang, Z. J., Wang, Y. Q. ve Chu, C. W., 1987, Superconductivity at 93 K in a new Mixed Phase Y-Ba-Cu-O Compound System at Ambient Pressure, Physics Review Letters, 58, 908-910.
- Yvon, K. ve François, M., 1989, Crystal Structures of High-T<sub>c</sub> Oxides, Z. Physics B - Condensed Matter, 76, 413-444.
- Zhang, H., Zhang, Q. R., Su, Z. P. ve Ji, M. R., 1990, X-Ray Photoelectron Spectroscopy Study of  $YBa_2Cu_{3-x}Fe_xO_{7-y}$ , Physical Review B, 42, 2248-2252.

## **ÖZGEÇMİŞ**

02. 02. 1971 yılında Trabzon'un Akçaabat ilçesine bağlı Benlitaş köyünde doğdu. İlkokulu Ankara Balgat İlkokulu'nda, ortaokulu ve liseyi Ankara Kocatepe Mimar Kemal Lisesi'nde tamamladı. 1987 yılında Karadeniz Teknik Üniversitesi Fen-Edebiyat Fakültesi Fizik Bölümü'nde başladığı lisans eğitiminden 1991 yılında üçüncülükle mezun oldu. Aynı bölümde, 1991 yılında yüksek lisans eğitimi'ne başladı ve 1993 yılında Araştırma görevlisi oldu. 1994 yılında "Doğu Karadeniz Dip Tortularının X-Işınları Floresans Yöntemiyle İncelenmesi" adlı yüksek lisans tezini tamamladı. Yurt dışı bilimsel dergilerde yayınlanmış dört makalesi ve yurt içinde yayınlanmış birçok bildirisi vardır.

Evli olan Uğur Çevik İngilizce bilmektedir.